

1 ÚVOD

1.1. Předmět, úkoly a disciplíny astronomie

Astronomie - přírodní věda
v současnosti aplikovaná fyzika
- věda o vesmíru a jeho součástech

Etymologie: astron - hvězda } říčky
nomos - zákon }

→ hledání zákonitosti

Předmět: vesmír, jeho součásti - kosmické
objekty, jejich vzájemné
interakce

Úkoly astronomie:

- 1) Určit a předpovědět polohu a pohyb kosmických těles a) na obloze (starověk, středověk) b) v prostoru (novověk)
nejstarší odvětví - významná praktickým
úkoly - určování ^{zeměpisných} časů, náboženské a
astrologické úkoly
- 2) Určení fyzikální povahy dějů určujících vlastnosti a stavbu těles a jejich soustav
- řešení aplikací fyz. zákonů na vesmír
~ astrofyzika
- 3) Vznik, vývoj a budoucnost vesmíru a jeho součástí - vyhledání a pochopení současně

Slavby - pokračovala součást astrofyziky
- záležitost posledních desetiletí

Hlavní zdroj informací o vesmíru -
pozorování
+ teoretický základ poskytovaný fyzikou

Disciplíny (obory) astronomie (dosti se překrývají)

1. Astronomie - zabývá se určováním
přesných poloh a pohybů neb. těles na
základě měření jejich poloh na obloze

- sférická astronomie

určování poloh na obloze + redukce těchto
poloh o nejnižší vlivy (refrakce, aberrační,
precese, paralaxa), určování času

- fundamentální astronomie

- určování přesných poloh hvězd, tvorba
katalogů poloh a pohybů hvězd -
společné soustavy na hv. obloze

- praktická astronomie

- teorie astronomických
pozorování a měření + praktické využití
astronomie např. určování polohy na Zemi
(astronavigace), příp. čas, kalendář

2. Teoretická astronomie a) metoda určování
trajektorií těles z pozorovaných dat. Výpočet
efemerid podle známých elementů

- kosmická dynamika = nebeská mechanika

aplikace zák. pohyb. zákonů na pohyb
kosmických těles v prostoru (planety, družice,
komety, dvojhvězdy ...)

Tě se vztahuje k řešení 1. úlohy astronomie
teoretická astronomie - b) teorie stavby planet,
hvězd a jejich atmosféry

~ odvození astrofyziky - aplikace fyzikálních
zákonů na astrofyz. objekty - úkolem
zjistit stavbu, fyz. vlastnosti, chem. složení

- praktická astrofyzika - praktické metody
astrofyz. pozorování, teorie konstrukce,
funkce astrofyz. přístrojů (spektrografy, fotometry)
- teoretická astrofyzika - jak a pozorování
odvodit informace o stavbě a vlastnostech
kosm. objektů

Dělení podle předmětu studia, například:

- a) planetologie - fyzika planet (druhá)
- b) fyzika a dynamika meriplanetární kupy
- c) hvězdná astronomie
- d) hvězdná statistika
- e) fyzika merihvězdné (merigalakt.) kupy
- f) dynamika Galaxie
- g) Stavba a vývoj - hvězd, hvězdných
soustav, vesmíru
- h) ~ kosmogonie
- i) kosmologie - stavba a vývoj vesmíru

Dělení na obory není striktní, má
jen pomocný význam. V současnosti mimo-
řádný význam zejména výzkum v
oblasti hranicích.

1.2 Vznik a hlavní etapy rozvoje astronomie

Astronomie - jedna z nejstarších věd
První zápis astr. pozorování, o kterých se nepochybuje ~ 8. stol. před n. l.

x astr. poznatky už ve starém Egyptě
H. knižička - předpověď milských kapav
při heliakickém východu Sirius →
ten určoval počátek roku - jeho
délka stanovena na 365 dní

2000 př. n. l. Stonehenge - hlavní důležitá
příznaky - kulturní místo + observatoř

na vzd. východě rozvířena astronomie
jádro dráhy - významy (?) o slunečních
zatměních - datování až k roku 4000
př. n. l.

je známo, že císař Hoang-Ti postavil
observatoř 206 př. n. l., ale sebral data
ke zpřesnění čínského kalendáře
- objev 19 letého cyklu (saros) opakování
podobných slunečních zatmění

čínské astronomové měli za povinnost
předvídat astr. jevy x jiná paprava
Ho a Hi za císaře Tchoung-kang (nepředpo-
víděl zatm. ☉)

Čínané - zvěřovali s 28 souhvězdími
(x Babylóňané, Řekové 12)
délka roku $365\frac{1}{4}$

1100 př. n. l. - slouží ekliptiky & rovníku

Y když na nás neměla činnost astronomie
přímý vliv - dnes důležité dějství
kvalitativní na obloze (supernova z r. 1054)
(první návraty Halleyovy ☾)

Starí Mayové - na území dnešní
Guatemala + poloostrov Yucatan - vyčíslený
kalendář - hieroglyfy v kamenné
+ tabulky předpovědi slunečnické a měsíční
kalamit
~ dlouhodobá pozorování ~ začátek snad
400 - 500 př. n. l.

Indiáni sev. Amerika

- i zde kámené směry (medicine wheel)
~ Stonehenge

Arizona ~ kresby sup. z roku 1054
☾ - zpočívání - Měsíc + Venuše

někdy dýchá písemné zápisy, ale praktické
kvalitativní museli mít např. Polynésané
- navigace při cestování od ostrova k
ostrovu

V zásadě vždy, když stupeň kultury
dosáhne jisté úrovně, rozvinula se i
astronomie, astronomická pozorování
~ projev kulturnosti

Na nás kulturní (a ast. vývoj) bezprost. vliv

Babylonská astronomie

(Mesopotámie - dnešní Irák) - systém. astronomická pozorování

⇒ vývoj až k moderní astronomii
už před 3000 př. n. l. - zavedení slunečního kalendáře

- důležitě pro vyvinutí zemědělské planety, ☉, ☽ - zbožství

→ základ astrologie → nutnost sledovat tato tělesa nepřetržitě - předpovídání vrájmé polohy (dávající polohy - přímé)

⇒ dráha ☉ mezi hvězdami - ekliptika

maleri souvislost mezi a) ročními dolety
b) místy výst. a záp.
c) polohou ☉ na ekl.

→ důležitý: jární bod

Babyloniánek - též vlastnosti ☽ - fáze
- lunární kalendář - Mesopotámie

Planety - pohyb podél ekliptiky, odhalení retrogradního pohybu

Pojmenovali souhvězdí

Hlavně 12 zvěřuhavců - by jíme přepati (600 let př. n. l. - Chaldejci)

dokázali předp. polohy dalších kosm. - planet

- ovlivnění lidských osudů → astrologie

- součást babyl. náboženství

Řecká astronomie

- společnost majitelů území & vědění a poznávání
keřtily přetvářaly znalosti jiných národů -
užívali je

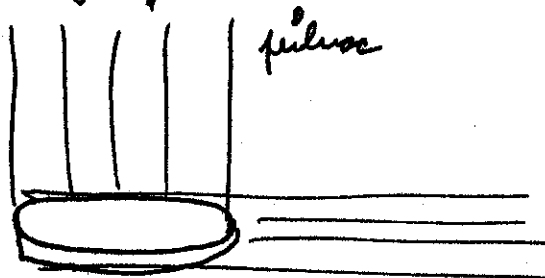
Pakros ~ jina filosofie
pro Egypťany a Babylony nebosta tělesa
= bohové, kteří se ližovali dle vlastní
vůle - pochybny ~~žá~~ starobavací bod
x nepidny v probl. astr.

x Řekové: myšlenka - lze odhalit povahu
věci jejich pozorováním a analýzou
Odmítli dogmatismus, že vše už bylo poznáno
a že není třeba poznávat nové věci
Řekové zahájili "věk rozumu"

Řekové mnohé přijali od Chaldejců (většinou astro-
logie), začali analyzovat i staré báseňy
(7. stol. př. n. l.) Anaxagoras → správné
vysvětlení střídání měs. fází
přechod dráha ☾ → přirozené vysvětlení
kmenů a měs. kalnání
- do té doby problematické - překrytím
těles na jediné sféře

⇒ kalnání měsíce → tvar Země - koule

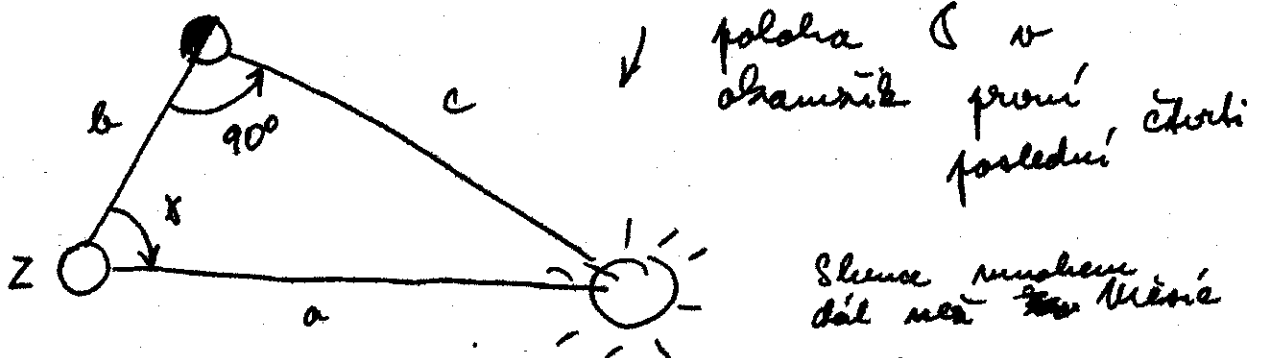
x původní představa zeměkoule jako
plochy



Aristotelis důkaz
kulatosti



Aristarchova metoda určení vzdálenosti (1)

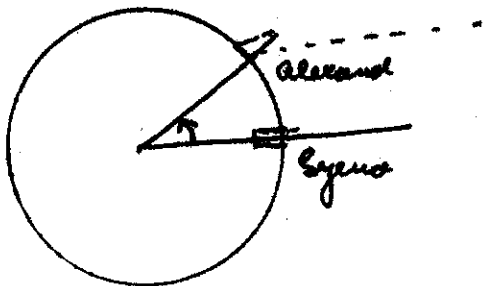


úhel stanovil $87^\circ = x$, moderní měření $89^\circ 50'$, Měsíc je tak relativně ještě blíže

Stejně úhlové velikosti \rightarrow poměr velikosti Měsíce / Slunce

že známí Měsíce \rightarrow poloměr Země \Rightarrow Slunce \gg Země! důležitý poznatek

Lineární rozměry Zeměkoule



Eratosthenes \rightarrow poloměr Země, velmi blízký skutečnosti

Hipparchos (epicykly)
 nový koncept světa - Ptolemaiova soustava
 - výhledová \rightarrow předpovědi poloh

- v souladu s aristotelovou fyzikou
 - dokonale - zastavil se tím rozvoj astronomie na řadu století

Arabská astronomie

x v Evropě ipadek věd a racionálnosti

středověk ~ sledování luna

x arabský svět přejal a přepsal
díla řeckých učenců, vynález astronomie

Al Batani (850 - 929)

Biruni (973 - 1048)

Ulughbek (1394 - 1449)

Požadavky astronavigace, určování času,
kalmorické objemy → oživení evropské astr.
překlady z arabštiny - navázání kontinuity

Evropský novověk

M. Kopernik (1473 - 1543)

J. Kepler (16)

G. Galileo

I. Newton

klasičtí úlohy
astronomie

19. století - astrofyzika - fyz. povaha,
stavba +
vývoj teles

1.3 Vznik a vývoj astronomických pozorování
a astronomických přístrojů

Člověk - tvor vybaavený zrakově -
musí spousta astr. jevů pozorovat
přímou, bez pomůcek

x brzy zhlédáno, že bylo soudy subjektivní
=> dějiny astronomie -
minimalizace subjektivního faktoru

porrovaní s poměry - astronomickými
průskaji - zde měly přelomových
dal ~ 1609 používání dalekohledu
spektroskopie
radioastronomie
1957 družice a sondy

Porrovaní - hlavní zdroj vědomostí
kardá nová por. metoda →
spousta nečekaných objevů
(nová porrovaní skua ald.)

2. SOUŘADNICOVÉ SOUSTAVY. TRANSFORMACE SOUŘADNIC. APLIKACE

- základní úloha astronomie - určit
okružné polohy tělesa na základě pozorování
problematika z řady důvodů
 - a) pozorování ze Země - vyžaduje její ω směr
- vzdálenost nerovnáme
 - b) pozorování se děje na pohyblivé se Zemí,
obvykle při pohledu \rightarrow zkreslení
nejmenšího draku
 - c) rychlost světla je konečná \rightarrow informace
o směru je zpovědná

Třechy efekty je třeba dobře pochopit, popsat
a provádět redukci

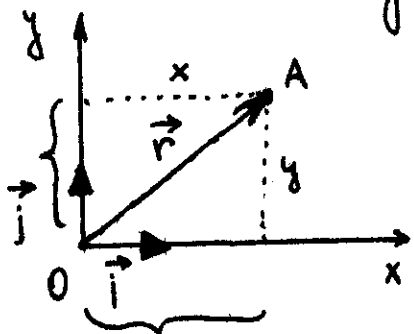
Poloha bodu - vztahuje se k určité zvolené
souvřadnicové (vlastně) soustavě

- předpoklad: plochý, euklidovský prostor
nejobvyklejší souřadnicovou soustavou
kartézská soustava

určena: počátkem a polohou tří os
navzájem kolmých, existují i jiné soustavy (sf., val.)

2.1. Souřadnice bodu v rovině

- dvourozměrný svět - poloha určena uspořá-
danou dvojicí čísel - vektorem



poloha bodu A vzhledem
k počátku 0 dána
polohovým vektorem \vec{r}

Směr os x a y . Kartézské soustavy určen dvojicí
navzájem kolmých jednotkových vektor \vec{i} a \vec{j}

$$\vec{i} \cdot \vec{i} = 1 \quad \vec{j} \cdot \vec{j} = 1 \quad \vec{i} \cdot \vec{j} = 0 \quad \text{skalární součin} = 0$$

(x, y) - průměty vektoru \vec{r} do osy x, y

$$x = \vec{r} \cdot \vec{i} \quad , \quad y = \vec{r} \cdot \vec{j}$$

$$\vec{r} = x \vec{i} + y \vec{j}$$

Výhodné je užívat maticový (vektorový) forma-
lisumus

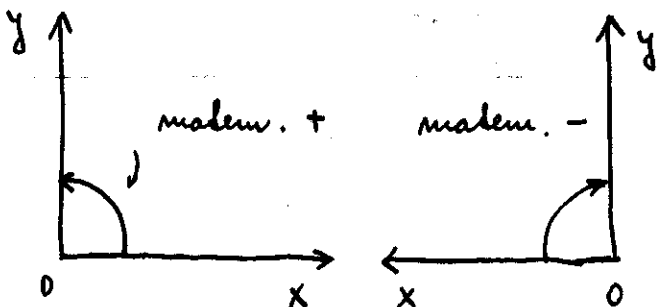
$$\vec{r} = \begin{pmatrix} \vec{i} & \vec{j} \end{pmatrix} \begin{pmatrix} x \\ y \end{pmatrix}$$

$$\begin{pmatrix} x \\ y \end{pmatrix} = \begin{pmatrix} \vec{i} \\ \vec{j} \end{pmatrix} \vec{r} = \begin{pmatrix} \vec{i} \\ \vec{j} \end{pmatrix} (x \vec{i} + y \vec{j})$$

Běžné operace s vektory - součet \rightarrow
součet složek v matici dpl.

28.9.

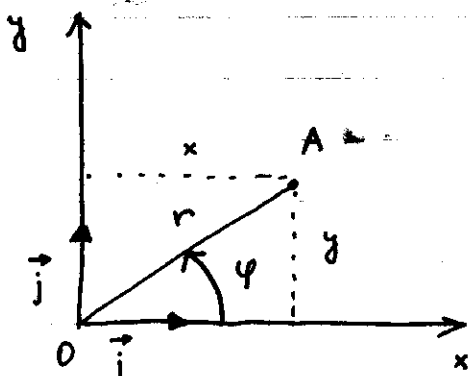
Kartézská soustava určena počátkem
základním směrem
+ orientací soustavy
(smysl osy y)



pravolocivá levolocivá
soustava

Polární souřadnice

- vyjádření



$$x = r \cos \varphi$$

$$y = r \sin \varphi$$

r - radius - v délce

φ - argument - v úhl.
měře

a) ve $^\circ$ ($0 \div 360^\circ$; $-180^\circ \div 180^\circ$)

b) v radiánech

c) v časových jednotkách

$$2\pi \text{ radiánů} = 360^\circ = 24^h$$

$$15^\circ = 1^h$$

$$1^\circ = 4^m$$

$$\begin{pmatrix} x \\ y \end{pmatrix} = \begin{pmatrix} r \cos \varphi \\ r \sin \varphi \end{pmatrix}$$

$$r = \text{abs}(\vec{r}) = \text{abs}(x, y) \\ = \sqrt{x^2 + y^2}$$

$$\varphi = \text{arg}(x, y)$$

funkce argument):

$$\varphi = \arctg\left(\frac{y}{x}\right) \quad x > 0$$

$$\varphi = \pi + \arctg\left(\frac{y}{x}\right) \quad x < 0$$

$$\varphi = \frac{\pi}{2} \quad x = 0; y > 0$$

$$\varphi = \frac{3\pi}{2} \quad x = 0; y < 0$$

Příklad převodu :

$$x = -5$$

$$r = 13$$

$$y = -12 \Leftrightarrow$$

$$\varphi = -112,62^\circ$$

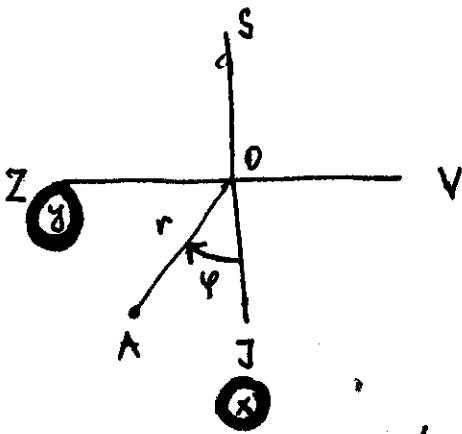
Použití v astronomii a jiné

a) horizontální rovina

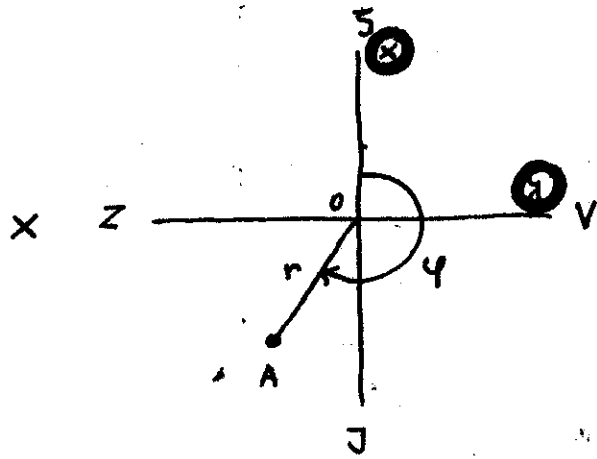
- větrná růžice

astron.

geometrická, navigační



astronomická



zeměpis., navig.

φ - azimut

osa x - na jih

y - na západ

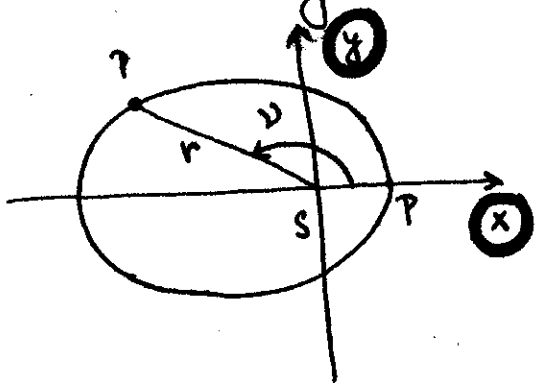
první revoluce

x na sever

y na východ

levoluce

b) Rovina dráhy tělesa ve sluneční soustavě



r - vzdálenost od
Slunce

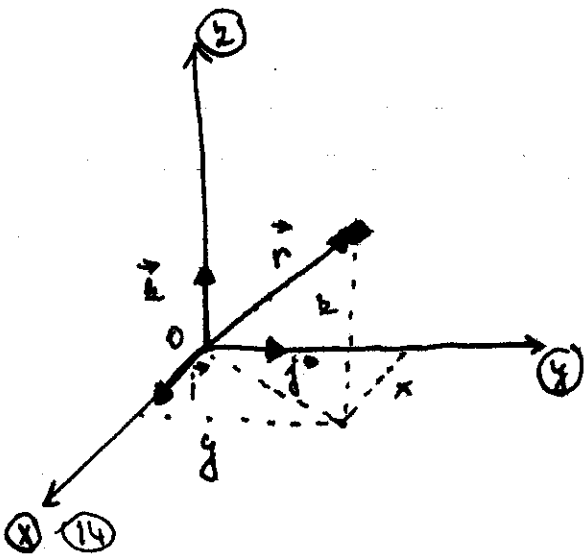
ν - pravá anomálie

x - přívodič -
Slunce, perihélium

orientace pravotočivá

2.2 Souřadnice bodu v prostoru

Kartéská soustava určena



a) počátkem O

b) kábl. rovinou

x, y osy

c) kábl. směrem

x osa

d) orientací

z y x P - L

ortogonálních

Trojice ~~vektorů~~
vektorů $\vec{i}, \vec{j}, \vec{k}$

$$\vec{r} = x\vec{i} + y\vec{j} + z\vec{k}$$

$$\vec{r} = (\vec{i} \ \vec{j} \ \vec{k}) \begin{pmatrix} x \\ y \\ z \end{pmatrix}$$

$$\begin{pmatrix} x \\ y \\ z \end{pmatrix} = \begin{pmatrix} \vec{i} \\ \vec{j} \\ \vec{k} \end{pmatrix} \vec{r} = \begin{pmatrix} \vec{i} & \vec{j} & \vec{k} \\ \vec{j} & \vec{i} & \vec{k} \\ \vec{k} & \vec{j} & \vec{i} \end{pmatrix} = \begin{pmatrix} \vec{i} \\ \vec{j} \\ \vec{k} \end{pmatrix} (\vec{i} \ \vec{j} \ \vec{k}) \begin{pmatrix} x \\ y \\ z \end{pmatrix}$$

$$\begin{pmatrix} \vec{i} \\ \vec{j} \\ \vec{k} \end{pmatrix} (\vec{i} \ \vec{j} \ \vec{k}) = \begin{pmatrix} 1 & 0 & 0 \\ 0 & 1 & 0 \\ 0 & 0 & 1 \end{pmatrix} \quad \begin{array}{l} \text{jednotková matice} \\ 3 \times 3 \end{array}$$

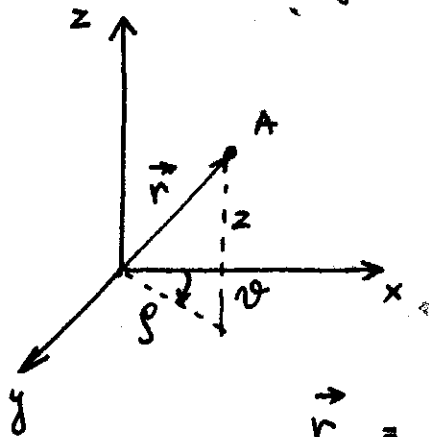
Válcová soustava

- užívá se v případě, je-li válcová symetrie

- kombinace polární soustavy v x, y a kartézské

$$(\rho, \vartheta, z)$$

určena opět stejně jako kart. a.



$$\vec{r} = x\vec{i} + y\vec{j} + z\vec{k}$$

$$\begin{array}{l} x = \rho \cdot \cos \vartheta \\ y = \rho \cdot \sin \vartheta \end{array} \quad \begin{pmatrix} \rho \cos \vartheta \\ \rho \sin \vartheta \\ z \end{pmatrix} = \begin{pmatrix} x \\ y \\ z \end{pmatrix}$$

$$|\vec{r}| = \sqrt{\vec{r} \cdot \vec{r}} = \sqrt{x^2 + y^2 + z^2} = \sqrt{\rho^2 + z^2}$$

$$\rho = \text{abs}(x, y) = \sqrt{x^2 + y^2}$$

$$\vartheta = \text{arg}(x, y)$$

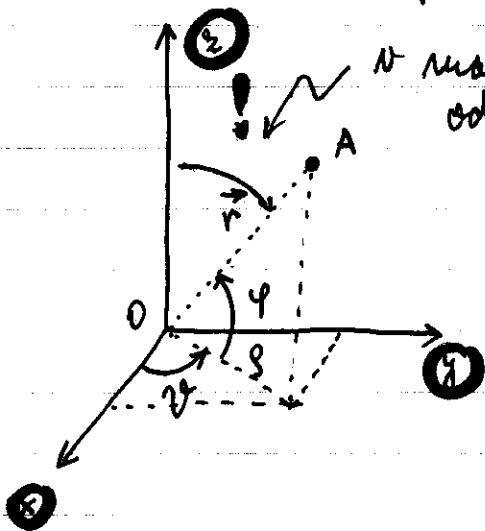
Použití v astronomii

- v galaxii
* počátek ve 0, osa x na galakt. střed

y - v rovině Galaxie ve směru směru, k.
 z - kolmo na rovinu - (10 kpc)
 resp. možná střed přemístít do středu Galaxie
 souřadnice : (ρ, ℓ, z)

Sférická souřadnicová soustava

- typická pro astronomii
 směr k objektu známe z přímého pozorování, a vzdálenosti se odhadujeme nepřímou



ψ - úhlová poloha
 od osy z

úhlová poloha počátku 0
 kábel. rovinou x, y -
 vektor \vec{r} k pólu
 soustavy
 kábel. směr - osa x

dvě úhlové souřadnice udávají
 směr (ψ, φ) (délka, šířka)
 r - vzdálenost

$$\rho = r \cos \varphi$$

$$x = r \cos \varphi \cos \psi$$

$$\varphi = \arcsin \frac{z}{r}$$

$$y = r \cos \varphi \sin \psi$$

$$\psi = \arg(x, y)$$

$$z = r \sin \varphi$$

$$r = \sqrt{x^2 + y^2 + z^2}$$

$$\vec{r} = r (\vec{i} \cos \varphi \cos \psi + \vec{j} \cos \varphi \sin \psi + \vec{k} \sin \varphi)$$

$$\begin{pmatrix} r \cos \varphi \cos \psi \\ r \cos \varphi \sin \psi \\ r \sin \varphi \end{pmatrix}$$

důležité vědět,
 jak je soustava
 orientována

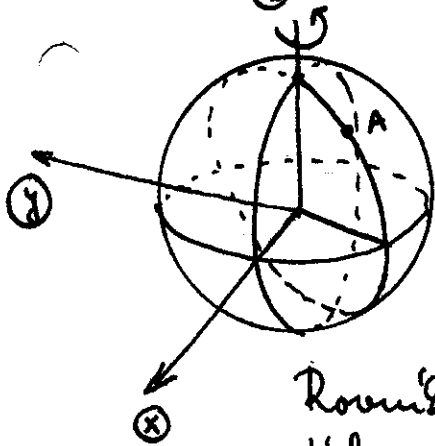
2.3: Zeměpisné souřadnice a geometrie na kouli

na tělesech kulového tvaru, pokud se pohybujeme po povrchu - výhodné rovněž zavést sf. soustavu s počátkem uprostřed, kábel. rovina \equiv rovina rovníku (\perp k rot. ose) proch. počátkem

nejzákladnější souřadnice na zeměkouli

- ta je důležitá i z hlediska astronom.

③ většina pozorování z povrchu země



rotací osa protíná ideální zem. kouli ve dvou pólech
Zemský rovník dělí zeměkouli na dvě polokoule < severní / jižní

Rovník - jedna z hlavních kružnic

Hlavní kružnice - přesečné koule s rovinou jdoucí středem (počátkem)

Vedlejší kružnice - přesečné koule s rovinou rovnoběžnou počátkem

rovnoběžky - roviny \parallel s rovníkem
délka rovnob. < délka rovníku

vlastní vedlejší kružnice

a) polární kruhy $\varphi = \pm 66^\circ 33'$

b) obrábků $\varphi = \pm 23^\circ 27'$

- na Zemi tři klimatické oblasti
polární - mírné - tropické

Hlavní kružnice (překružnice) procházející

póly - pólníky
- významný hlavní, nulový, základní greenwickský pól

hlavní směr - přesečné roviny rovníku
 poldníku a rovinou rovníku

Zeměpisné souřadnice - sférická soustava
 - počítá se směrem na západ od Gr.
 ⇒ osa y v mat. záp. směru!
 levotočivá soustava

Místní zeměp. poldník, zeměp. délka, šířka,
 vzdálenost od středu koule (nadm. výška)

φ	$\langle -90^\circ; 90^\circ \rangle$	$\lambda < 0$	západní délka
λ	$\langle -180^\circ; 180^\circ \rangle$	$\lambda > 0$	východní délka

Délka ve $^\circ ' ''$, h m s

význam časových souřadnic
 o kolik času vstoupí
 o dříve než na 0. pol.

Praha	$14^\circ 23' 57,0''$ $0^h 54^m 34,9^s$	$50^\circ 04' 56''$	327 m.n.
-------	--	---------------------	----------

Brno	$16^\circ 35' 18,0''$ $1^h 06^m 21,2^s$	$49^\circ 12' 15''$	310 m.n.
------	--	---------------------	----------

Úpice	$16^\circ 00' 43,5''$ $1^h 04^m 02,9^s$	$50^\circ 30' 27''$	416 m.n.
-------	--	---------------------	----------

Zeměkoule - idealizovaná koule o daném objemu
 $R = 6371 \text{ km}$

1° na hlavní kružnici $1^\circ \sim \frac{6371 \cdot 2\pi}{360^\circ} = 111 \text{ km}$

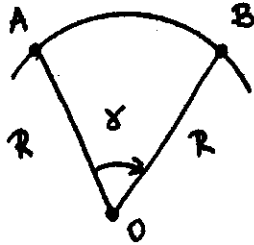
$1' \sim 1,85 \text{ km}$

$1'' \sim 30,9 \text{ m}$

délka rovnoběžky $2\pi R \cdot \cos \varphi$

kružnica' $1^{\circ} \approx 73 \text{ km}$
 $1' \approx 1,2 \text{ km}$
 $1'' \approx 20,2 \text{ m}$

Údalenie dvoch bodov na zemekouli



- dvoma body priložime
 rovnakú kružnicu
 - uhol γ udáva dĺžku

$R \cdot \gamma$ resp. $R \frac{2\pi\gamma}{360^{\circ}}$

= tzv. dĺžka ortodromy

Uhol γ lze vypočítať jako uhol
 medzi vektormi \vec{a} a \vec{b} AO; BO

$$\vec{a} \cdot \vec{b} = R^2 \cdot \cos \gamma$$

$$\vec{a} = R (\vec{i} \cos \varphi_A \cos \lambda_A + \vec{j} \cos \varphi_A \sin \lambda_A + \vec{k} \sin \varphi_A)$$

$$\vec{b} = R (\vec{i} \cos \varphi_B \cos \lambda_B + \vec{j} \cos \varphi_B \sin \lambda_B + \vec{k} \sin \varphi_B)$$

$$\Rightarrow \cos \gamma = \cos \varphi_A \cos \varphi_B \cos (\lambda_A - \lambda_B) + \sin \varphi_A \sin \varphi_B$$

gde -li o relatívne blízké body $\vec{a} \approx \vec{b}$

$$\left. \begin{aligned} \varphi_A &= \varphi + \frac{\Delta\varphi}{2} & \varphi_B &= \varphi - \frac{\Delta\varphi}{2} \\ \lambda_A &= \lambda + \frac{\Delta\lambda}{2} & \lambda_B &= \lambda - \frac{\Delta\lambda}{2} \end{aligned} \right\} \begin{array}{l} \text{po číslu} \\ \text{2. riádu} \end{array}$$

$$1 - \frac{\gamma^2}{2} = \cos(\varphi + \frac{\Delta\varphi}{2}) \cos(\varphi - \frac{\Delta\varphi}{2}) \cos \Delta\lambda + \sin(\varphi + \frac{\Delta\varphi}{2}) \sin(\varphi - \frac{\Delta\varphi}{2})$$

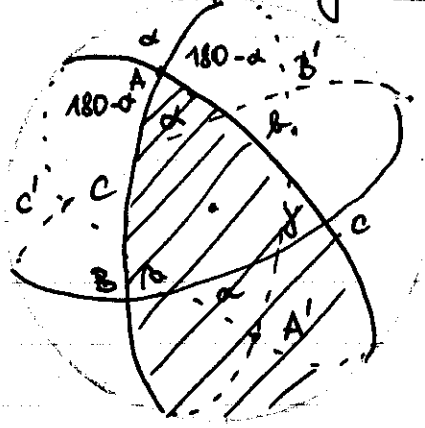
$$= 1 - 2(\frac{\Delta\varphi}{2})^2 - \cos^2 \varphi (\frac{\Delta\lambda}{2})^2$$

$$\Rightarrow \gamma = \sqrt{(\Delta\varphi)^2 + \cos^2 \varphi (\Delta\lambda)^2}$$

rozvoj plati' dobre, pokud jsou vzdálenosti male

Geometrie na kouli
 Pojmy ze sférické trigonometrie

a) Sférický dvojuhelník



- omezen dvěma hlavními kružnicemi
 dělí sféru na 4 díly
 o ploše celkové 4π steradiánů
 - plocha dvojuhelníka

$$P = 2R^2\alpha \quad (\alpha - \text{v radiánech})$$

$$P = 2R^2\alpha \quad \text{v m}^2$$

b) Sférický trojuhelník

$$\alpha + \beta + \gamma > \pi$$

- omezen třemi hlavními kružnicemi
 tři roviny vytvářejí
 $2^3 = 8$ trojuhelníků

$$P_{ABC} + P_{A'BC} = 2\alpha R^2$$

$$P_{ABC} + P_{ABC'} = 2\beta R^2$$

$$P_{ABC} + P_{ABC'} = 2\gamma R^2$$

$$2P_{ABC} + P_{ABC} + P_{A'BC} + P_{ABC'} + P_{ABC'} = R^2 2(\alpha + \beta + \gamma)$$

$$P_{ABC} = P_{A'BC'} \quad P_{A'BC} = P_{ABC'}$$

$$2P_{ABC} + 2\pi R^2 = 2R^2(\alpha + \beta + \gamma)$$

$$E = \alpha + \beta + \gamma - \pi$$

Sférický exces \Rightarrow

$$P_{ABC} = R^2 \varepsilon$$

→ plocha trojúhelníku souvisí s excesem sf.

Velikost excesu trojúhelníku rovnosti o ~~plati~~ hraně 300 km 10^{-3} rad asi 3' odchylky v případě běžné trigonometrie jsou zanedbatelné

$$P \rightarrow 0,5 \pi R^2 \text{ (osminka koule)} \quad \varepsilon = \frac{\pi}{2} = 90^\circ$$

$$\alpha + \beta + \gamma = 180^\circ + 90^\circ = 270^\circ$$

2.4 Astronomické souřadnicové soustavy

- pravidla sférické nebo kartézské
dělit je lze podle dvou hledisek

a) Podle počátku soustavy

1. Topocentrické s. - v místě pozorování
2. Geocentrické s. - v těžišti \oplus
3. Heliocentrické s. - v těžišti \odot
4. Barycentrické s. - v těžišti sl. s.
5. Planetocentrické s. - v těžišti planety

b) Podle základní roviny a kážd. směru

1. Horizont + místní poldruží - horizontální s. obzorníková, levotočivá
2. 1. rovníková s. - rovník + místní poldruží levotočivá
3. 2. rovníková s. - rovník + jární bod - pravot.
4. Ekliptikální s. - ekliptika + jární bod - pravot.
5. Galaktická s. - rovina G + centrum G - pravot.
6. Dřívíková s. - rovina dráhy + výst. úhel - prav.

Podrobněji

A) Obrázková (horizontální) soustava

$$\vec{r} \sim \begin{pmatrix} r \cos h \cos A \\ r \cos h \sin A \\ r \sin h \end{pmatrix}$$

káždá rovina - místní horizont,
 každá směr (směr osy x) - průsečnice
 horizontu a místního poledníku.
 Osa y směřuje k západnímu bodu
 obzoru - soustava je tudíž levotočivá.
 Souřadnice délková - azimut (A), šířková -
 výška nad obzorem (h), resp. zenitová
 vzdálenost z, $z = 90^\circ - h$. Azimut i
 výšku počítáme ve $^\circ$, zenit. vzdálenost
 od 0° do 180° . Osa z ~~je~~ smíří k zenitu

B) Rovníková (ekvatoriální) soustava 1. druhu

$$\vec{r} \sim \begin{pmatrix} r \cos \delta \cos t \\ r \cos \delta \sin t \\ r \sin \delta \end{pmatrix}$$

kážd. rovina - rovina světového rovníku,
 každ. směr - průsečnice rovníku s
 místním poledníkem (osa x), osa y
 průsečnice roviny rovníku a místního hori-
 zontu - smíří na kážd. Souřadnice
 délková - hodinový úhel t, souřadnice šíř-
 ková δ - deklinace. $t \in \langle 0^h \div 24^h \rangle$, $\delta \in \langle -90^\circ \div 90^\circ \rangle$
 obdoba zenitové vzdálenosti - polová distance
 $90^\circ - \delta$. Osa z ke sv. pólu

C) Rovníková (ekvatoriální) soustava 2. druhu

$$\vec{r} \sim \begin{pmatrix} r \cos \delta \cos \alpha \\ r \cos \delta \sin \alpha \\ r \sin \delta \end{pmatrix}$$

kážd. rovina - rovina svět. rovníku, každ.
 směr - průsečnice rovníku s ekliptikou
 - směr osy x k jarnímu bodu. Osa
 y a každ. roviny 90° proti oběma oblakům
 (na výhled) pravosl. systém.
 Souřadnice délková - rektascenze α ($0^h - 24^h$)
 souřadnice šířková - deklinace δ ($-90^\circ \div 90^\circ$)
 Rozdíl oproti soustavě 1. druhu - opačně
 orientovaná, rohuje s hvězdami. Osa z ke sv. pólu

D) Ekliptická soustava

$$\begin{pmatrix} r \cos \beta \cos \lambda \\ r \cos \beta \sin \lambda \\ r \sin \beta \end{pmatrix}$$

kážd. rovina - ekliptika (dráha Země),
 kážd. směr - směr k jádru hvězdy,
 osa y ve směru proti otáčení hvězdné
 oblohy. Pravotočivá soustava. Souřadné
 délka - ekliptická, astronomická délka
 λ , astronomická, ekliptická šířka β
 $(0^\circ \div 360^\circ)$, $(-90^\circ \text{ až } 90^\circ)$. Osa z směruje z
 $i = 23^\circ 27'$ pólu eklipt. v Draku

E) Galaktická soustava

$$\begin{pmatrix} r \cos b \cos l \\ r \cos b \sin l \\ r \sin b \end{pmatrix}$$

rovina Galaxie - svírá s rovinou
 sv. roviny úhel $i = 62,6^\circ$, kážd. směr
 ke galaktickému centru - definitoricky
 $\alpha = 17^h 42,4^m$; $\delta = -28^\circ 55'$ (1950). Pravoto
 čivá soustava. Souřadnice: galaktická
 délka l a galaktická šířka b . Vyja-
 drují se ve $^\circ$. Osa z míří ke galakt.
 pólu - ve Vlasech Bereniky

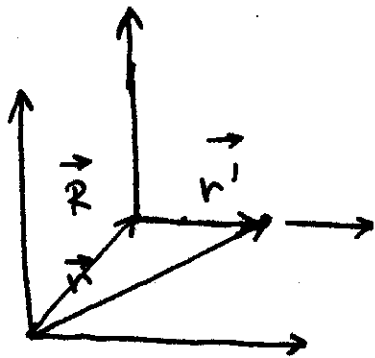
Důležité: rozlišovat $\begin{cases} \text{hvězdná obloha} \\ \text{obloha} \end{cases}$!

pro polohu na obloze - horizont. nebo
 rovněžovan 1. druhu, pro polohu na
 hvězdné obloze - astabní
 obloha (hvězdná obloha) - musíme směru
 vázaná na horizont místní (k poli *)

2.5 Transformace souřadnic

~~ROVNOSTANNÉ~~ SOUŘADNICE V ROVINĚ

- nezbytná podmínka pro jejich užívání
- a) transformace kartézských souřadnic v rovině
- 1) posun počátku

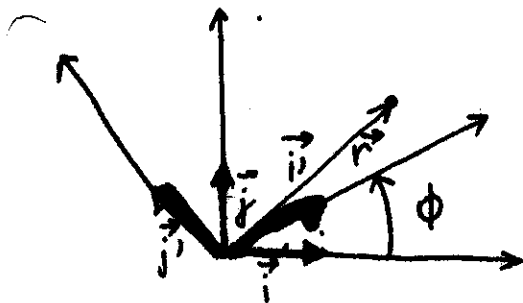


$$\vec{r}' = \vec{r} - \vec{R}$$

$$\vec{R} = \begin{pmatrix} X \\ Y \end{pmatrix}$$

$$\begin{pmatrix} x' \\ y' \end{pmatrix} = \begin{pmatrix} x \\ y \end{pmatrix} - \begin{pmatrix} X \\ Y \end{pmatrix}$$

2) Otočení



$$\begin{pmatrix} x' \\ y' \end{pmatrix} = \begin{pmatrix} \vec{i}' \\ \vec{j}' \end{pmatrix} \cdot \vec{r} = \begin{pmatrix} \vec{i}' \\ \vec{j}' \end{pmatrix} \cdot (\vec{i} \vec{j}) \begin{pmatrix} x \\ y \end{pmatrix}$$

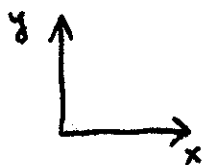
$$= \begin{pmatrix} \vec{i}' \cdot \vec{i} & \vec{i}' \cdot \vec{j} \\ \vec{j}' \cdot \vec{i} & \vec{j}' \cdot \vec{j} \end{pmatrix} \begin{pmatrix} x \\ y \end{pmatrix}$$

matice otočení - prvky
směrové báze

$$\begin{aligned} \vec{i}' \cdot \vec{i} &= \cos \phi \\ \vec{i}' \cdot \vec{j} &= \cos(90 - \phi) = \sin \phi \\ \vec{j}' \cdot \vec{i} &= \cos(90 + \phi) = -\sin \phi \\ \vec{j}' \cdot \vec{j} &= \cos \phi \end{aligned}$$

$$\begin{pmatrix} x' \\ y' \end{pmatrix} = \begin{pmatrix} \cos \phi & \sin \phi \\ -\sin \phi & \cos \phi \end{pmatrix} \begin{pmatrix} x \\ y \end{pmatrix} = \begin{pmatrix} x \cos \phi + y \sin \phi \\ -x \sin \phi + y \cos \phi \end{pmatrix}$$

3) Zrcadlení - změna pravotoc. ↔ levotoc.



$$\begin{aligned} y' &= -y \\ x' &= x \end{aligned}$$

→ matice zrcadlení

$$\begin{pmatrix} 1 & 0 \\ 0 & -1 \end{pmatrix}$$

přechod od jedné soust. ke druhé
- posun, otočení, příp. zrcadlení

b) polární souřadnice v rovině

$$\begin{pmatrix} x \\ y \end{pmatrix} = \begin{pmatrix} r \cos \varphi \\ r \sin \varphi \end{pmatrix}$$

otočení o $\phi \rightarrow \begin{pmatrix} x' \\ y' \end{pmatrix} = \begin{pmatrix} r' \cos \varphi' \\ r' \sin \varphi' \end{pmatrix}$

$$\begin{cases} \varphi' = \varphi - \phi \\ r' = r \end{cases}$$

zrcadlení

$$\begin{cases} \varphi' = -\varphi \\ r' = r \end{cases}$$

Prům.: matice otočení $O(\phi) = \begin{pmatrix} \cos \phi & \sin \phi \\ -\sin \phi & \cos \phi \end{pmatrix}$

$$\begin{pmatrix} x' \\ y' \end{pmatrix} = O(\phi) \begin{pmatrix} x \\ y \end{pmatrix}; \quad \begin{pmatrix} x \\ y \end{pmatrix} = O(-\phi) \begin{pmatrix} x' \\ y' \end{pmatrix}$$

$$O(\phi) \cdot O(-\phi) = I \text{ - jednotková}$$

$$\begin{pmatrix} \cos \phi & \sin \phi \\ -\sin \phi & \cos \phi \end{pmatrix} \begin{pmatrix} \cos \phi & -\sin \phi \\ \sin \phi & \cos \phi \end{pmatrix} = \begin{pmatrix} 1 & 0 \\ 0 & 1 \end{pmatrix}$$

c) kartézské souřadnice v prostoru

1) prům o vektor $\vec{R} (X, Y, Z)$

$$\begin{pmatrix} x' \\ y' \\ z' \end{pmatrix} = \begin{pmatrix} x \\ y \\ z \end{pmatrix} - \begin{pmatrix} X \\ Y \\ Z \end{pmatrix}$$

$$\vec{r}' = \vec{r} - \vec{R}$$

2) otočení obecně:

$$\begin{pmatrix} x' \\ y' \\ z' \end{pmatrix} = \begin{pmatrix} \vec{i}' \\ \vec{j}' \\ \vec{k}' \end{pmatrix} \vec{r} = \begin{pmatrix} \vec{i}' \\ \vec{j}' \\ \vec{k}' \end{pmatrix} (\vec{i} \ \vec{j} \ \vec{k}) \begin{pmatrix} x \\ y \\ z \end{pmatrix}$$

$$O = \begin{pmatrix} \vec{i}' \vec{i} & \vec{i}' \vec{j} & \vec{i}' \vec{k} \\ \vec{j}' \vec{i} & \vec{j}' \vec{j} & \vec{j}' \vec{k} \\ \vec{k}' \vec{i} & \vec{k}' \vec{j} & \vec{k}' \vec{k} \end{pmatrix}$$

(25)

nejsou nezávislé
- dají se vyjádřit 3
směrové kosiny parametry!

odpovídá to otáčení kolem tří os

Matice otáčení kolem osy \underline{x} o úhel Φ

$$O(\Phi) = \begin{pmatrix} \cos \Phi & \sin \Phi & 0 \\ -\sin \Phi & \cos \Phi & 0 \\ 0 & 0 & 1 \end{pmatrix} \quad \begin{matrix} \vec{k} = \vec{k}' \\ \vec{h} = \vec{h}' \end{matrix}$$

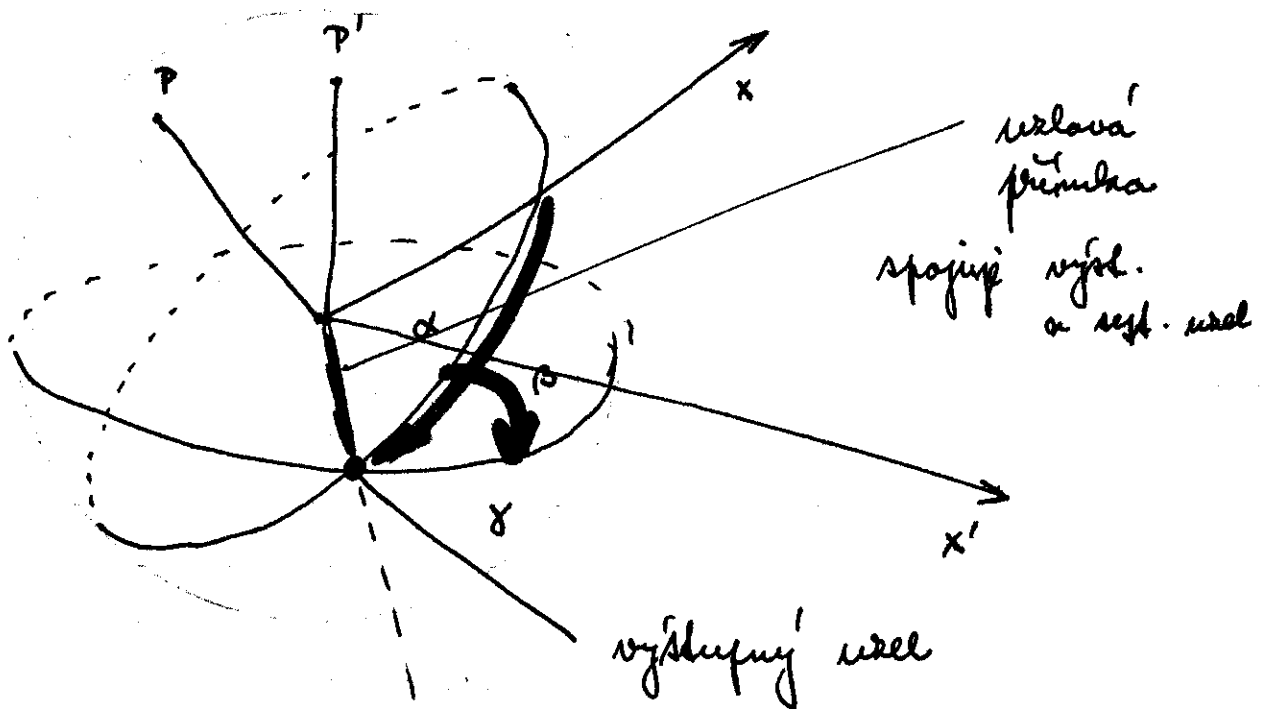
otáčení kolem osy \underline{y} o úhel Θ

$$O(\Theta) = \begin{pmatrix} \cos \Theta & 0 & -\sin \Theta \\ 0 & 1 & 0 \\ +\sin \Theta & 0 & \cos \Theta \end{pmatrix}$$

otáčení kolem osy \underline{z} o úhel Ψ

$$O(\Psi) = \begin{pmatrix} 1 & 0 & 0 \\ 0 & \cos \Psi & \sin \Psi \\ 0 & -\sin \Psi & \cos \Psi \end{pmatrix}$$

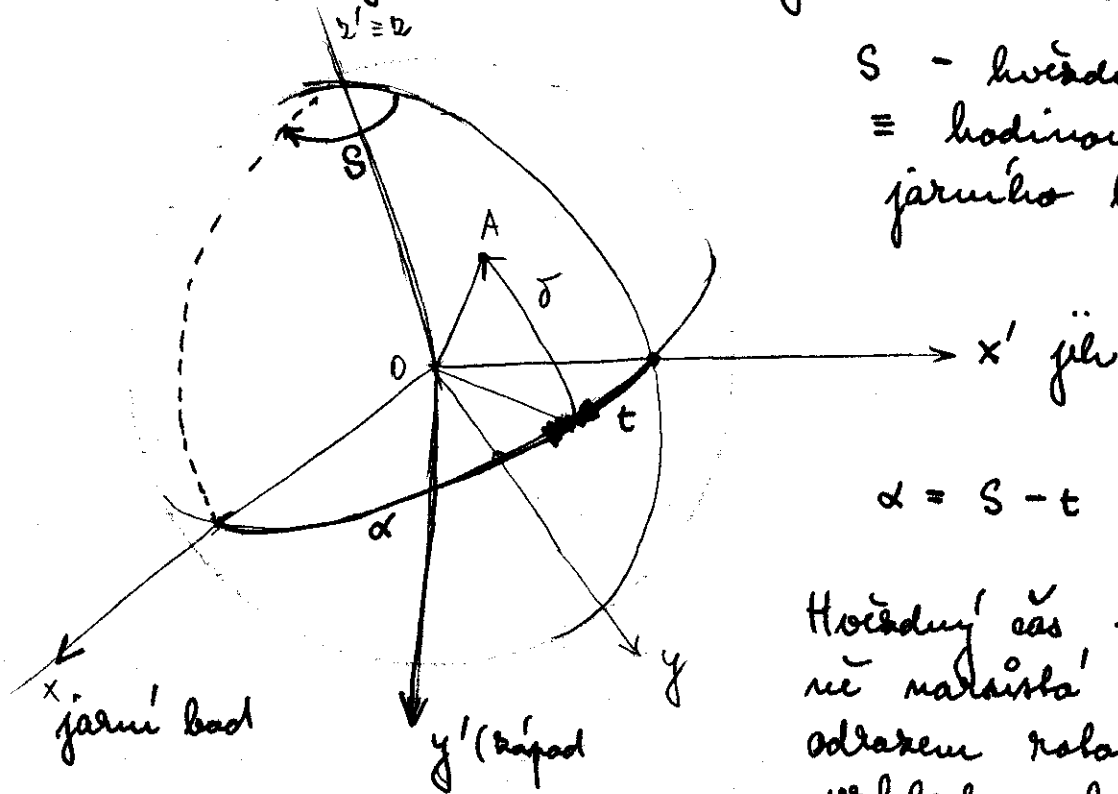
Postupným užitím lze každou soustavu otáčet



tři úhly otáčení - Eulerovy úhly

převod sférických souřadnic :
 dosazení za složky sférických souřadnic →
 tři rovnice o 2 neznámých

2.6 Krátký převod rovníkových souřadnic 1. a 2. druhu



S - hvězdný čas
 ≡ hodinový úhel
 járního bodu

$$\alpha = S - t$$

Hvězdný čas - rovnoměrně
 se měří - je odrazem rotace Země
 vzhledem ke hvězdám

~ perioda - siderická doba oběhu
 1 hvězdný den ~ $\frac{365,244}{366,244} = 0,99727$ str. se. dne

23^h 56 min 04 s

Výpočet hvězdného času pro daný okamžik
 - hvězdný čas pro pólus ~~pro~~ předcházející
 - úměrně v rovine Oⁿ SC
 a další pólus - lineární interpolací

$$\begin{array}{ccc}
 \downarrow & T & | & \downarrow \\
 S1 & & & S2 \\
 & \uparrow & & \downarrow \\
 & T & \cdot & 1,002438 + S1 \\
 & & & \uparrow \\
 & & & \text{středním slunečním časem}
 \end{array}$$

Trždy o 3 min 56 s více každý den -
 do roka 1 den navíc ~ na rok učiní
 země více hodínám o 1 obáčku více

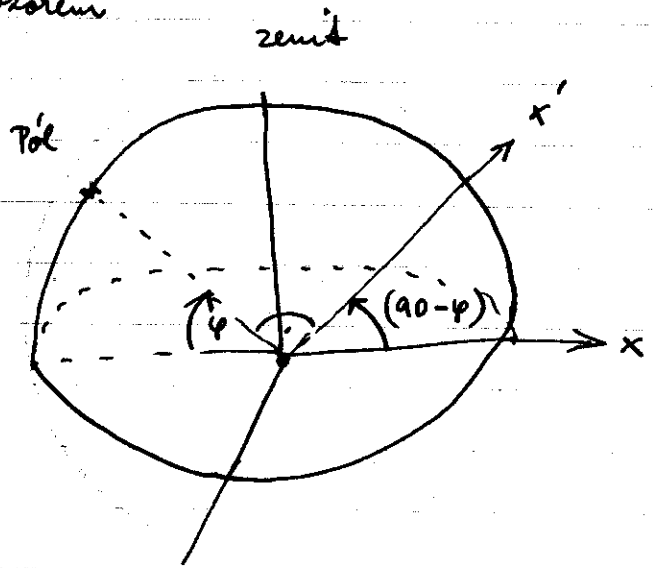
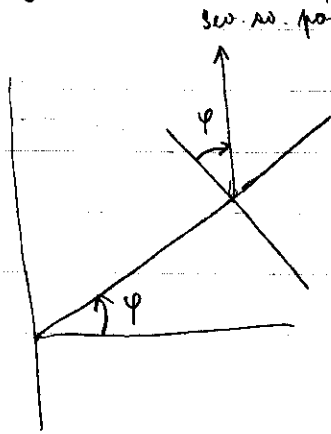
Kdy se letní a letní hodiny rovnají
 - v den letní podmínky rovnosti

o má $\alpha = 12$ h

v dolní kulminaci o půlnoci, letní kulminace
 jarní bod $\Rightarrow S = 0$ h

2.4. Právní převod rovinných souřadnic 1. druhu
 a obloukových souřadnic Poloha hvězd po obzoru

- Vytáka pólu nad obzorem



přechod obloukové \rightarrow rovinné
 \sim otáčení kolem y o úhel
 $\Theta = 90^\circ - \varphi$

$$\begin{pmatrix} \sin \varphi & 0 & \cos \varphi \\ 0 & 1 & 0 \\ -\cos \varphi & 0 & \sin \varphi \end{pmatrix} \begin{pmatrix} \cos h \cos A \\ \cos h \sin A \\ \sin h \end{pmatrix} = \begin{pmatrix} \cos \delta \cos t \\ \cos \delta \sin t \\ \sin \delta \end{pmatrix}$$

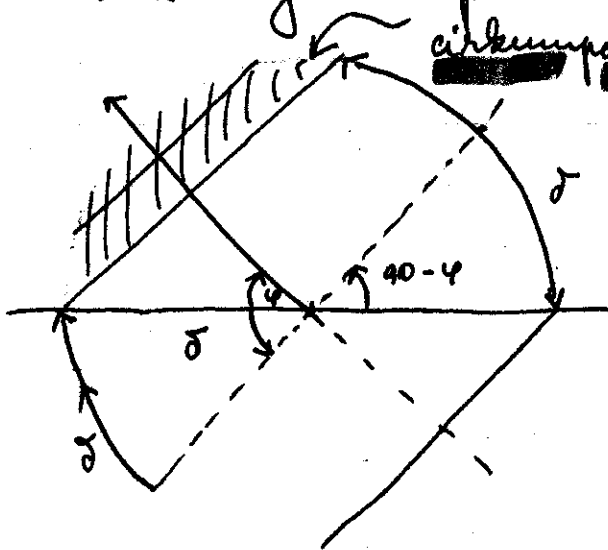
$$\begin{aligned} \sin \varphi \cos h \cos A + \cos \varphi \sin h &= \cos \delta \cos t \\ \cos h \sin A &= \cos \delta \sin t \\ -\cos \varphi \cos h \cos A + \sin \varphi \sin h &= \sin \delta \end{aligned}$$

obrácení & rozměrových na obráceně
- občasí σ - ϕ

$$\begin{pmatrix} -\sin \varphi & 0 & -\cos \varphi \\ 0 & 1 & 0 \\ \cos \varphi & 0 & +\sin \varphi \end{pmatrix} \begin{pmatrix} \cos \delta \cos t \\ \cos \delta \sin t \\ \sin \delta \end{pmatrix} = \begin{pmatrix} \cos h \cos A \\ \cos h \sin A \\ \sin h \end{pmatrix}$$

$$\begin{aligned} \sin \varphi \cos \delta \cos t - \cos \varphi \sin \delta &= \cos h \cos A \\ \cos \delta \sin t &= \cos h \sin A \\ \cos \varphi \cos \delta \cos t + \sin \varphi \sin \delta &= \sin h \end{aligned}$$

Disledky - aplikace



cirkumpolární, občasné hvězdy

$$\delta_{\text{cirk}} + \varphi = 90^\circ$$

$\delta > 90^\circ - \varphi$ - hvězdy
cirkumpolární

$\delta < \varphi - 90^\circ$ - hvězdy
neviditelné

délka dvanácti oblouku + $2t_{\text{max}} \sim h = 0$

$$\cos \varphi \cos \delta \cos t_{\text{max}} + \sin \varphi \sin \delta = 0$$

$$\cos t_{\text{max}} = -\lg \varphi \lg \delta$$

$\delta = 0$ $t_{\text{max}} = 90^\circ$ - oblouk 180°

pro $\delta > 90^\circ - \varphi$ není \cos definován -
 hvězdy obločnou $\varphi = 0$ všechny oblohy 12h

- Na jakém azimutu zapadá těleso o deklinaci δ ?

$$h = 0$$

$$\sin \delta = -\cos \varphi \cos A \Rightarrow$$

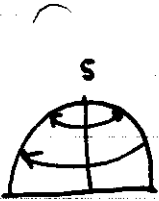
$$\cos A = -\frac{\sin \delta}{\cos \varphi} \quad \delta = 0 \quad A = 90^\circ$$

- Výška hvězdy v horní a dolní kulminaci?

$$h_{\text{MAX}} = 90^\circ - \varphi + \delta$$

$$h_{\text{MIN}} = \delta + \varphi - 90^\circ$$

hvězdy jdoucí zenithem $\delta = \varphi$



Závistost

$$\varphi = 90^\circ$$

polární hvězd po obloze na zem. pólu
 - rovnoběžná soustava - hvězdy v mal. řáf.
 jen so. zenit = pól smyslu

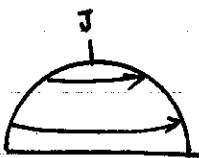


$$\varphi = 0^\circ$$

- přímá soustava - všechny denní oblohy
 obě polokoule kalme k obzoru
 oba póly na obzoru
 vlevo doprava

$$\varphi = -90^\circ$$

- rovnoběžná soustava - hvězdy obíhají v
 jen jižní pol. mal. kladné smyslu
 zenit = jižní so. pól



extremní případy

2.8. Vzájemný převod ekliptikálních a rovnoběžných souřadnic. Pohyby Slunce, Měsíce a planet po ho ob.

Pozorováním bylo zjištěno, že deklinace Slunce během roku osciluje $-23^\circ 27'$ do $23^\circ 27'$, změny vzhledu nasvědčují, že v průběhu roku rektaascen-

ke monotonně narůstá 0^h do 24^h

↑ pravou místní přílohu kulminují hvězdy,
jýchž $\alpha = \alpha_0 \pm 12^h$

- postupně tak kulminují hvězdy se stále větší
rektascenzí

- důsledek ročního pohybu \odot mezi hvězdami
dráha \odot - hlavní kružnice skloněná ke světové-
mu rovníku o úhel $23^\circ 24'$. Nazývá se ekliptika
- souvisí ten název "eclipse" - zářít, zatmění
- dráhu \odot mezi hvězdami bylo možné dobře
vysledovat během úplného zatmění \odot , nebo
při úplném zatmění Měsíce - přesně na opačné
straně ekliptiky než \odot - geocentrický pohled

Heliocentrický - rovina dráhy Země - přímice
s nebeskou sférou - hlavní kružnice, rovina
dráhy $\oplus \equiv$ rovinou ekliptiky. Osa \oplus svírá
s rovinou dráhy úhel $23^\circ 24'$ (úhel osa \vee norm.)

Pól ekliptiky - Drak

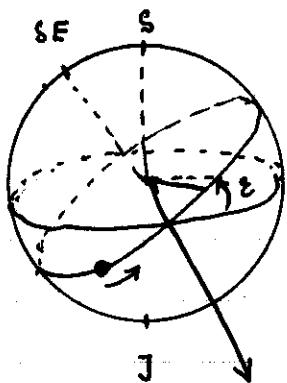
Slunce postupují po ekliptice proti otáčení
oblahy země křeha $\alpha = \frac{360^\circ}{365,24} = 0,986^\circ \sim 1^\circ$

→ sluneční den je o 3 min 56 s delší než
hvězdný

Slunce ve výstupném uzlu - jarní bod
o den jarní rovnodennosti, sestupný uzel
podzimní rovnodennost. Maximální deklinace
lehčí slunovrat, minimální zimní slunovrat

Souřadnice : astronomická (ekliptická) délka λ
šířka β

transformace rovinčové II. druhu
→ eliptická



ale pravotočivě, shodný základní směr ≡ průsečnice roviny a eliptiky

jámi bod $\gamma \equiv \alpha \quad x = x'$ transformace - pouze otočení kolem osy $x = x'$ o úhel $\epsilon = 23^\circ 24'$ $\psi = \epsilon$

$$\begin{pmatrix} 1 & 0 & 0 \\ 0 & \cos \epsilon & \sin \epsilon \\ 0 & -\sin \epsilon & \cos \epsilon \end{pmatrix} \begin{pmatrix} \cos \delta \cos \alpha \\ \cos \delta \sin \alpha \\ \sin \delta \end{pmatrix} = \begin{pmatrix} \cos \lambda \cos \beta \\ \cos \beta \sin \lambda \\ \sin \beta \end{pmatrix}$$

$$\cos \lambda \cos \beta = \cos \delta \cos \alpha$$

$$\sin \lambda \cos \beta = \cos \epsilon \cos \delta \sin \alpha + \sin \epsilon \sin \delta$$

$$\sin \beta = -\sin \epsilon \cos \delta \sin \alpha + \cos \epsilon \sin \delta$$

pro $\odot \quad \beta = 0$ lze psát zjednodušené vztahy, ale lépe vycházel z opačné transformace

trafo: eliptická → rovinčové II. druhu

otočení o $-\epsilon \quad \psi = -\epsilon$

$$\begin{pmatrix} 1 & 0 & 0 \\ 0 & \cos \epsilon & -\sin \epsilon \\ 0 & \sin \epsilon & \cos \epsilon \end{pmatrix} \begin{pmatrix} \cos \lambda \cos \beta \\ \sin \lambda \cos \beta \\ \sin \beta \end{pmatrix} = \begin{pmatrix} \cos \delta \cos \alpha \\ \cos \delta \sin \alpha \\ \sin \delta \end{pmatrix}$$

$$\cos \delta \cos \alpha = \cos \beta \cos \lambda$$

$$\cos \delta \sin \alpha = \cos \epsilon \cos \beta \sin \lambda - \sin \epsilon \sin \beta$$

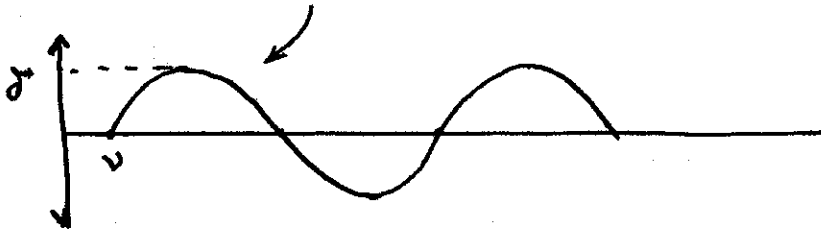
$$\sin \delta = \sin \epsilon \cos \beta \sin \lambda + \cos \epsilon \sin \beta$$

$\beta = 0$ - pro Slunce tak platí

$$\cos \delta \cos \alpha = \cos \lambda_{\odot}$$

$$\cos \delta \sin \alpha = \sin \lambda_{\odot} \cos \varepsilon$$

$$\sin \delta = \sin \lambda_{\odot} \sin \varepsilon$$



$$\lg \alpha = \lg \lambda_{\odot} \cdot \cos \varepsilon$$

$$\dot{\alpha} = \frac{d\alpha}{dt}$$

$$\dot{\lambda}_{\odot} = \frac{d\lambda_{\odot}}{dt}$$

polyb v α nerovnoměrný
i v případě, že λ_{\odot} = konst
~ kruhový polyb kolem \odot

$$\dot{\alpha} \frac{1}{\cos^2 \alpha} = \dot{\lambda}_{\odot} \frac{\cos \varepsilon}{\cos^2 \lambda_{\odot}}$$

$$\dot{\alpha} = \frac{\cos \varepsilon}{\cos^2 \lambda + \sin^2 \lambda \cos^2 \varepsilon} \dot{\lambda}$$

$$\lambda = 0$$

$$\dot{\alpha} = 0,917 \dot{\lambda}$$

$$\lambda = 45^{\circ}$$

$$\dot{\alpha} = 0,996 \dot{\lambda}$$

$$\lambda = 90^{\circ}$$

$$\dot{\alpha} = 1,090 \dot{\lambda}$$

$$\lambda = 135^{\circ}$$

$$\dot{\alpha} = 0,996 \dot{\lambda}$$

$$\lambda = 180^{\circ}$$

$$\dot{\alpha} = 0,917 \dot{\lambda}$$

v reál. polyb
nerovnoměrný

Denní polyb \odot v různých šířkách

a) $\varphi = 90^{\circ}$ $\delta > 0$ nad obzorem, $\delta < 0$ pod obz.

max. h $23^{\circ}24'$ půl roku den, půl roku noc

b) $\varphi = 66^{\circ}33'$ - se. polární kruh -

Slunce kopadá a vychází po celý rok

s výjimkou zimního slunovratu

$$h_{\text{MAX}} \quad 90^\circ - \varphi + \delta = 90^\circ - 66^\circ 33' - 23^\circ 27' = 0$$

nevyjde a v době letního slunovratu: $\delta = +23^\circ 27'$

$$h_{\text{MAX}} \quad 90^\circ - \varphi + \delta = 46^\circ 54'$$

$$h_{\text{MIN}} \quad \delta + \varphi - 90^\circ = 23^\circ 27' + 66^\circ 33' - 90^\circ = 0$$

nezapadne

- c) pozorovatel na obráběku Raba $\varphi = 23^\circ 27'$
 - v den letního slunovratu $h_{\text{MAX}} = 90^\circ -$
 ☉ stojí v zenitu, v době zimního slunovratu
 $h_{\text{MAX}} = 90^\circ - 23^\circ 27' - 23^\circ 27' = 43^\circ 06'$

- d) na rovniku - den i noc vždy právě 12 hodin. V zenitu ☉ v době rovnodennosti
 zimní slunovrat $66^\circ 33'$ nad jihem, letní
 slunovrat $66^\circ 33'$ nad severem

e) ↑ Brně $\varphi = 49^\circ 12'$ rovník $50^\circ 48'$
 maximální výška nad obzorem

$$h_{\text{MAX}} = 40^\circ 48' + 23^\circ 27' = 64^\circ 15' \quad \text{let. sl.}$$

$$h_{\text{MAX}} = 40^\circ 48' - 23^\circ 27' = 17^\circ 21' \quad \text{zim. sl.}$$

Berán	0°	21.3	19.4.	
Byl	30°	21.4	14.5.	zvěřuhava -
Blíženci	60°	22.5.	21.6.	rodiahalni souhvězdí
Rak	90°	23.6.	20.7.	x znamení
Lev	120°	24.7.	20.8.	- roditel
Panna	150°	24.8	16.9	
Váhy	180°	24.9	31.10.	výsledek posezení
Štír	210°	24.10	23.11.	v důsledku
HADONOS	240°	23.11	30.11.	preese - poloha
Střelce	240°	23.11	18.12.	deliphky zhruba
Kozoroh	270°	22.12	19.1.	kachavada, mimi
Vodnat	300°	21.1.	16.2	se poloha rovniku
Ryby	330°	20.2	12.3	ka 2000 l / 1 znamení
	360°	21.3	19.4	

Poloha planet na zemské hvězdne obloze -
 rovně se nacházejí poblíž ekliptiky
 - sklon dráhy planet ke dráze Země ~ °
 nejvíce Plutó ~ 17° 10', Merkur 7° 0', Venus 3° 23'
 Měsíc ~ 5°

Poloha planet mezi hvězdami - vnější planety
 největší směrem proti směru hvězdne oblohy,
 u vnitřních - důsledná barva na Slunci -
 nemohou se vzdálit ^{už není} o jistou maximální
 elongaci.

Návrat na totéž místo oblohy hvězdne -
 synodický oběh:

Mars	Mars	780 dní
	Venus	583 dní
	Jupiter	399 dní
	Sat	378 dní

2.9. Převod galaktických souřadnic na rovnoběžné a zpět

- Mléčná dráha obepíná celou oblohu
 a hlavní kružnici - průsečnice nebeské
 sféry s rovinou Galaxie

Pol Galaxie $\alpha_p = 12^h 49^m$
 $\delta_p = 24^\circ, 4$ } Vlasy Bereniky

Sklon roviny rovnoběžné k rovině Galaxie
 $90^\circ - 24,4^\circ = 62,6^\circ$ jen pro $24,4^\circ < \varphi < -24,4^\circ$
 lze vidět celý gal. rovník

Poloha udlu $\alpha_0 = 18^h 49^m = 282,25^\circ$
 poloha středu G. odhad $l_0 = 33^\circ$

Posledy: oblobo osy z postacime σ α_0
 kolem osy x postacime σ i
 kolem osy z' postacime σ $-l_0$

$$\begin{pmatrix} x' \\ y' \\ z' \end{pmatrix} = O(\psi=l_0) O(\varphi=i) O(\phi=\alpha_0) \begin{pmatrix} x \\ y \\ z \end{pmatrix}$$

$\phi = -l_0$

$$\begin{pmatrix} x' \\ y' \\ z' \end{pmatrix} = \begin{pmatrix} \cos l_0 & -\sin l_0 & 0 \\ \sin l_0 & \cos l_0 & 0 \\ 0 & 0 & 1 \end{pmatrix} \begin{pmatrix} 1 & 0 & 0 \\ 0 & \cos i & \sin i \\ 0 & -\sin i & \cos i \end{pmatrix} \begin{pmatrix} \cos \alpha_0 & \sin \alpha_0 & 0 \\ -\sin \alpha_0 & \cos \alpha_0 & 0 \\ 0 & 0 & 1 \end{pmatrix} \begin{pmatrix} x \\ y \\ z \end{pmatrix}$$

nebo

$$O(l_0) \begin{pmatrix} x' \\ y' \\ z' \end{pmatrix} = O(\varphi=i) \left[O(\phi=\alpha_0) \begin{pmatrix} x \\ y \\ z \end{pmatrix} \right]$$

$$\begin{pmatrix} \cos b & \cos(l-l_0) \\ \cos b & \sin(l-l_0) \\ \sin b \end{pmatrix} = \begin{pmatrix} 1 & 0 & 0 \\ 0 & \cos i & \sin i \\ 0 & -\sin i & \cos i \end{pmatrix} \begin{pmatrix} \cos \delta & \cos(\alpha-\alpha_0) \\ \cos \delta & \sin(\alpha-\alpha_0) \\ \sin \delta \end{pmatrix}$$

$$\cos b \cos(l-l_0) = \cos \delta \cos(\alpha-\alpha_0)$$

$$\cos b \sin(l-l_0) = \cos i \cos \delta \sin(\alpha-\alpha_0) + \sin i \sin \delta$$

$$\sin b = -\sin i \cos \delta \sin(\alpha-\alpha_0) + \cos i \sin \delta$$

opacny' prevod

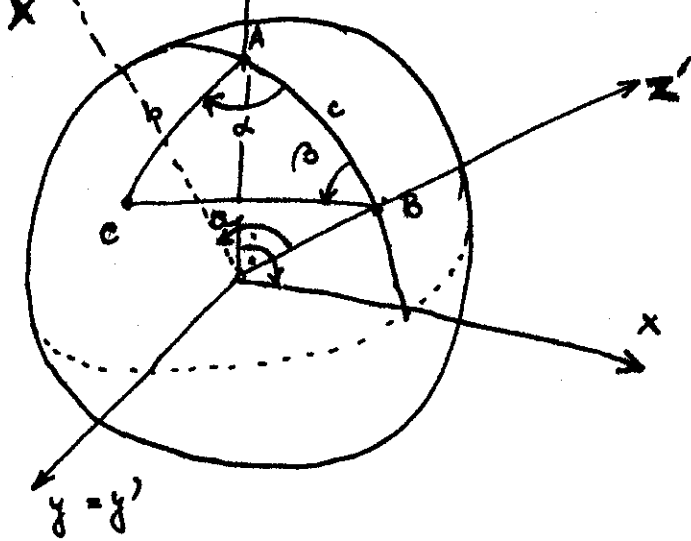
$$\begin{pmatrix} \cos \delta \cos(\alpha-\alpha_0) \\ \cos \delta \sin(\alpha-\alpha_0) \\ \sin \delta \end{pmatrix} = \begin{pmatrix} 1 & 0 & 0 \\ 0 & \cos i & -\sin i \\ 0 & \sin i & \cos i \end{pmatrix} \begin{pmatrix} \cos b \cos(l-l_0) \\ \cos b \sin(l-l_0) \\ \sin b \end{pmatrix}$$

$$\cos \delta \cos(\alpha-\alpha_0) = \cos b \cos(l-l_0)$$

$$\cos \delta \sin(\alpha-\alpha_0) = \cos i \cos b \sin(l-l_0) - \sin i \sin b$$

$$\sin \delta = \sin i \cos b \sin(l-l_0) + \cos i \sin b$$

2.10 Sférický trojúhelník a jeho řešení



hlavní rovina
procházející AB
 $\Rightarrow y$ a y' spol.

- odvození vět
o sf. trojúhelníku

Dvě soustavy souřadnic

$$\begin{pmatrix} x' \\ y' \\ z' \end{pmatrix} = \begin{pmatrix} r \sin a \cos \beta \\ r \sin a \sin \beta \\ r \cos a \end{pmatrix} \quad \begin{pmatrix} x \\ y \\ z \end{pmatrix} = \begin{pmatrix} r \sin b \cos \alpha \\ r \sin b \sin \alpha \\ r \cos b \end{pmatrix}$$

soustavy jsou opacně orientovány - přechod
od jedné ke druhé musí obsahovat zrcadlení
 $y' = y$ - otočení o úhel c

$$\begin{pmatrix} x' \\ y' \\ z' \end{pmatrix} = \begin{pmatrix} -1 & 0 & 0 \\ 0 & 1 & 0 \\ 0 & 0 & 1 \end{pmatrix} \begin{pmatrix} \cos c & 0 & \sin c \\ 0 & 1 & 0 \\ +\sin c & 0 & \cos c \end{pmatrix} \begin{pmatrix} x \\ y \\ z \end{pmatrix}$$

$$\begin{pmatrix} \sin a \cos \beta \\ \sin a \sin \beta \\ \cos a \end{pmatrix} = \begin{pmatrix} -\cos c & 0 & \sin c \\ 0 & 1 & 0 \\ \sin c & 0 & \cos c \end{pmatrix} \begin{pmatrix} \sin b \cos \alpha \\ \sin b \sin \alpha \\ \cos b \end{pmatrix} \quad r=1$$

SIN - COS V.
SINOVA' V.
KOSINOVA' V.

$$\begin{aligned} \sin a \cos \beta &= -\cos c \sin b \cos \alpha + \sin c \sin b \sin \alpha \\ \sin a \sin \beta &= \sin b \sin \alpha \\ \cos a &= \sin c \sin b \cos \alpha + \cos c \cos b \end{aligned}$$

Taoto trojici vět o trojúhelníku lze řešit

libovolně zadaný sférický trojúhelník

- např. i ten, co je zadan úhly α, β, γ
- v rovině neurčitý problém

A - sev. světový pól

B - zenit

C - hvězda

} nautický trojúhelník

Strany lze cyklicky zaměňovat

Přechod sférický $\Delta \rightarrow$ rovinný $a, b, c \rightarrow 0$

kosinová věta: $\cos a = \cos b \cos c + \sin b \sin c \cos \alpha$

9950,-

$$\sin a \rightarrow a \quad 1 - \frac{a^2}{2} = \left(1 - \frac{b^2}{2}\right)\left(1 - \frac{c^2}{2}\right) + bc \cos \alpha \Rightarrow$$

$$\cos a \rightarrow 1 - \frac{a^2}{2}$$

$$a^2 = b^2 + c^2 - 2bc \cos \alpha$$

větna' kosinová' věta

sinová věta:

$$\frac{\sin a}{\sin \alpha} = \frac{\sin b}{\sin \beta}$$

$$\rightarrow \frac{a}{\sin \alpha} = \frac{b}{\sin \beta}$$

větna' sinová' věta

sinová - kosinová věta:

$$\sin a \cos \beta = \sin b \sin c - \sin b \cos c \cos \alpha$$

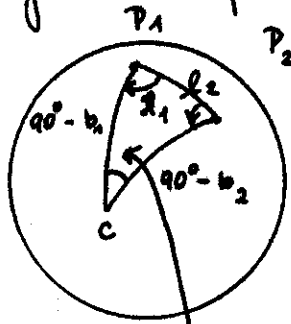
$$a \cdot \cos \beta = \left(1 - \frac{b^2}{2}\right)c - b \cos \alpha \left(1 - \frac{c^2}{2}\right)$$

zanedbáme všechny členy od druhého řádu výše

$$a \cos \beta + b \cos \alpha = c$$

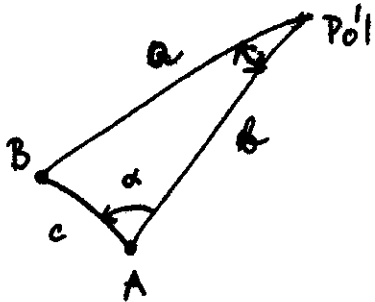
platí rovněž

Výpočet sférického trojúhelníku - transformace souřadnic
 v libovolných dvou systémech souřadnic



paralaktický úhel

Vzdálenost 2 hvězd na obloze, poziční úhel

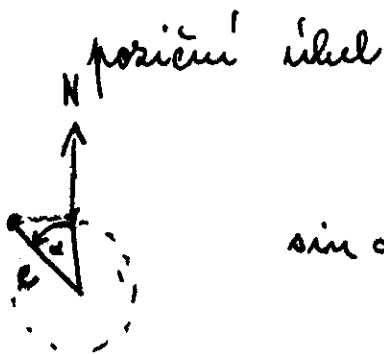


$a = 90^\circ - \delta_A$ c - vzdálenost
 $b = 90^\circ - \delta_B$ α - poziční úhel
 $\gamma = \alpha_B - \alpha_A$

$$\cos c = \cos b \cos a + \sin b \sin a \cos \gamma = \sin \delta_B \sin \delta_A + \cos \delta_B \cos \delta_A \cos (\alpha_B - \alpha_A)$$

~~WIKI~~

$$c^2 = (\Delta \delta)^2 + \cos^2 \left(\frac{\delta_A + \delta_B}{2} \right) (\Delta \alpha)^2$$



$$\frac{\sin c}{\sin (\alpha_B - \alpha_A)} = \frac{\sin \delta_A}{\sin \alpha}$$

$$\sin \alpha = \frac{\cos \delta_A}{\sin c} \cdot \sin (\alpha_B - \alpha_A)$$

$$\alpha = \arctan \left(\Delta \delta, \cos \left(\frac{\delta_A + \delta_B}{2} \right) \Delta \alpha \right)$$

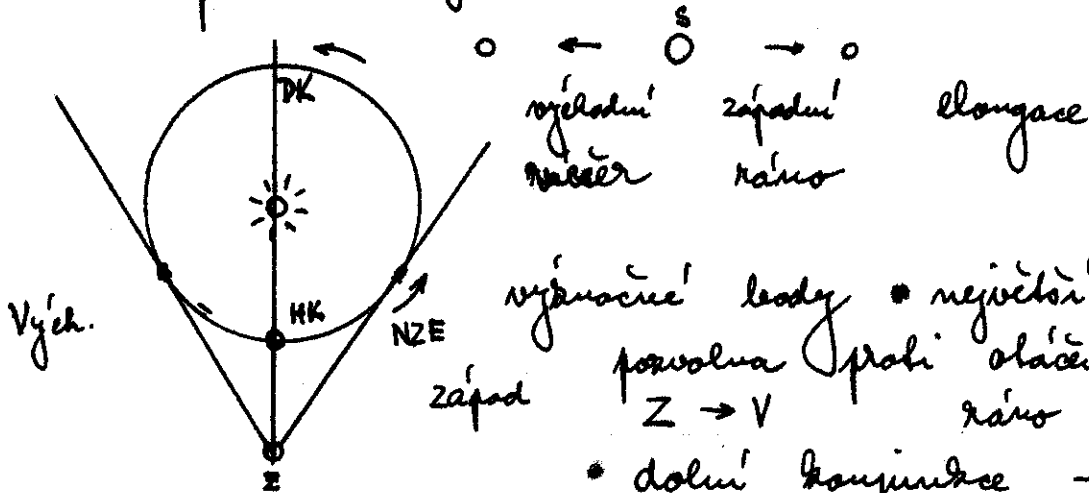
3. DYNAMIKA SLUNEČNÍ SOUSTAVY

3.1 Pohyby planet po hvězdné obloze

planetarium

- historický dělení
 - dolní - vnitřní (Venuše, Merkúr)
 - horní - vnější (orb. mimo δ)
- pohyby vzhledem ke \odot rozdílů

Vnitřní pl. - v líně nebo v sousedním rohu.
 nad \odot - maximální elongace Merk. $18^\circ \div 28^\circ$
 výhledů
 západní elongace Venuše $45^\circ \div 48^\circ$



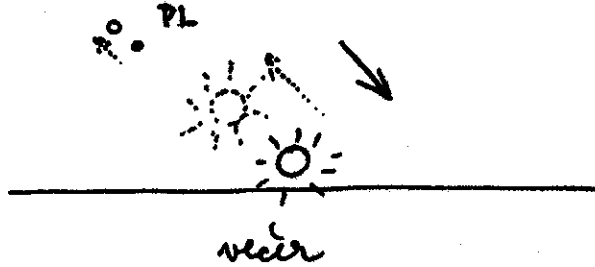
výhledů západní elongace
 výhledů západní elongace
 povolna proti směru oblohy
 $Z \rightarrow V$ západ

- dolní konjunktce - planeta neviditelná
- na opačnou stranu $\odot \rightarrow$ večer pomalu se mění vzdálenost $Z \rightarrow V$
- největší vých. elongace rost. poh. rychlý návrat $\sim V \rightarrow Z$
- horní konjunktce poh. rychlý pohyb až do největší záp. elongace

- konjunktce - eliptická délky =
- opozice $R_1 - R_2 = 180^\circ$
- kvadratura $l_1 - l_2 = \pm 90^\circ (Z, V)$
- trigon $l_1 - l_2 = \pm 120^\circ (Z, V)$
- sextil $l_1 - l_2 = \pm 60^\circ (Z, V)$

Kruhy kolem středů
 polohy reprezent. \odot
 ovšem ne rovnoměrné -
 různá rychlost $Z \rightarrow V$
 $V \rightarrow Z$

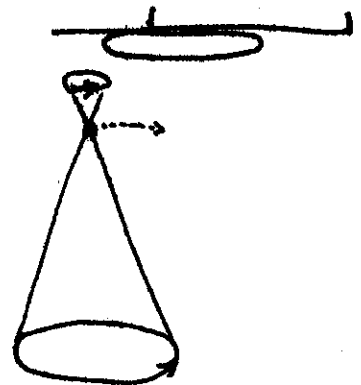
Druhá planety - jiné chování
 je-li planeta na večerní obloze -
 na hvězdné obloze postupně v křivce
 smyčku jako \odot - pak směrem od slunce
 ještě pokračují \rightarrow vzdálenost od slunce klesá,
 planeta vidí v
 paprscích západajícího
 slunce



Slunce planetu dohoní - to je pak na vý-
 chodě a z vidění ji ráno
 planeta pak na hvězdné obloze zpomaluje,
 až se zastaví, pak putuje na opačnou
 stranu - retrográdní pohyb - po směru
 oběhu oblohy další zastávka a pohyb
 v běžném směru proti
 pak ji opět se západem dožene \odot

Střední roční pohyby různých planet rozdílne
 M

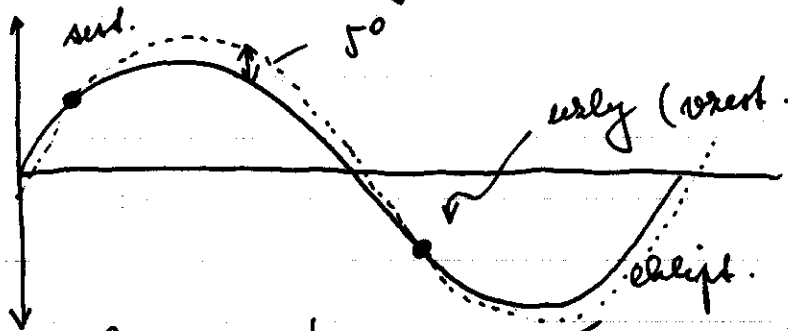
Příklad	Saturn	96
konzunkce se \odot		17.3.
zastávka		20.4.
opozice se \odot		26.9.
zastávka		4.12.



~~.....~~

Nezávislé chování - pohyb Měsíce
 x od planet se měří ** pohybují jen v

přímém směru proti oběhu oblohy
poblíž ekliptiky



příchod křivě uslem - drakoničky měsíce 27,21 dne
stejnou ekliptikální délkou - siderický 27,32 dne
usly se posunují proti oběhu
(shluk a stáčení draky) - jeden oběh navíc
18,6 roků

Kdy dochází k zatměním - Slunce a Měsíc
poblíž uslu (Měsíc v uslu) - zatmění ☉
- Slunce naproti Měsíci
(u druhého uslu)
- zatmění ☾

3.2 Ptolemaiova soustava

- při pozorování se Země nemí jasně, zda se těleso a s ním i pozorovatel hýbe
to si uvědomovali i naši předkové, říční učenci
a přípuštěli obě možnosti
geocentrická domněnka měla mnohem více zastánců,
kteří se oháněli dobrými argumenty

 - a) Země se nijak neohýbá, neotáčí, neháčí sebou
→ nehybná
 - b) Fyzikální důvody - vše padá do středu
i současně těžší Země - Aristotelova fyzika
 - c) hvězdy nevíjí paralaxu (až 200 let po
rovnalém pohledu)

d) čisté pragmatičtější hledisko - zajímá nás poloha planet, ☉, ☾ na naší geocentrické obloze. Proč si komplikovat život a hledat jiný střed pohledu. Transformace mimo hledětí malou měřítkem.

⇒ Dobře matematicky popřesávaný je geocentr. model

První dokonalý systém navrhl 2. st. BC

Hipparchos - vynikající pozorovatel, jeho měření byla základem i pro jeho následovníky

- v centru sféry ** střed Země, planety se pohybují po kompl. systémů kružnic

Ptolemaios 1. st. AC - shrnul vše v pojednání

Megalé syntaxis → Almagest (arab. vědra)

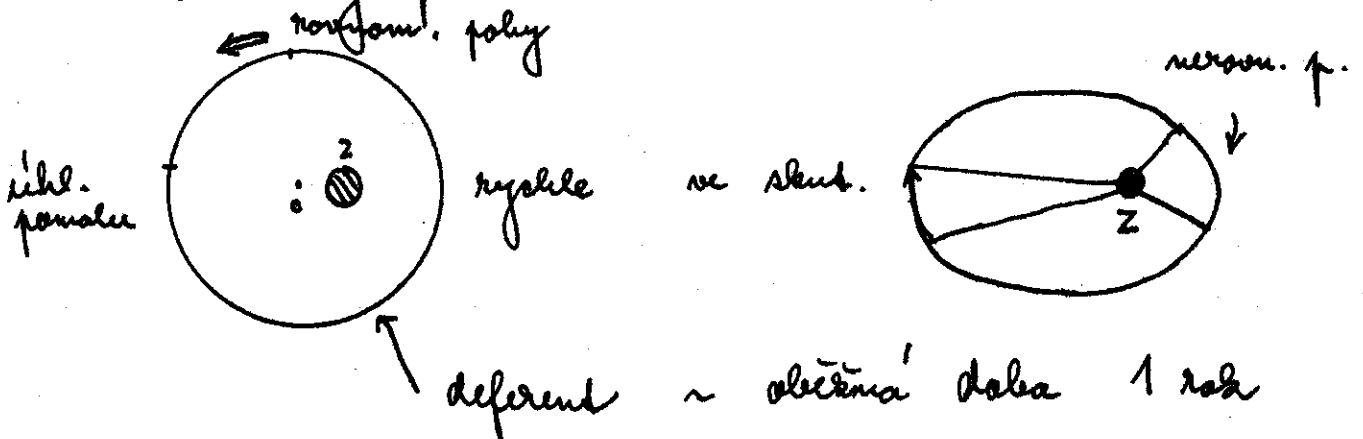
→ středověcí učenci

2 předp: Povolný pohyb je pohyb po kružnicích, pohyb s konstantní úhlovou rychlostí
Země je uprostřed

Slunce

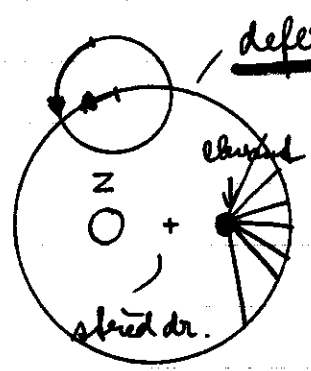
- měří ** přesně po ekliptice, ale nikoli rovnoměrně. Dříve rychleji než v létě

→ není rektográdní pohyb
Řešení (H & P) - střed dráhy Slunce
excentricky položené vůči Zemi



Planety - vnější / pohyb v přímém směru
 - obruka ~ siderická doba
 - přes něj se přeládá pohyb se synodickými periodami s retrográdním pohybem

Komplikované schéma (potřeba u planet s velkou výstředností)

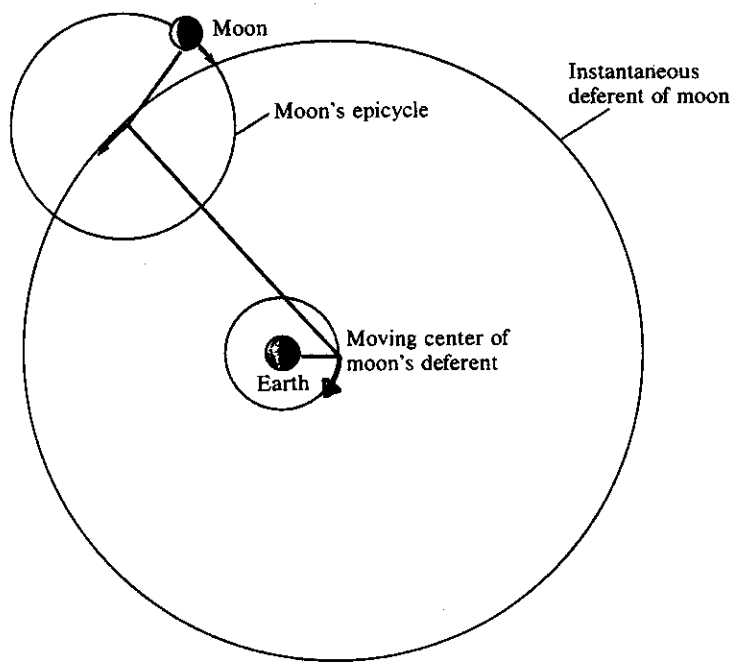


pohyb po deferentu úhlově rovnoměrný z pohledu obruky

Po deferentu střed epicyklu i když rotace je souhlasná, je možný retrográdní pohyb

Měsíc

FIGURE 2-21 Schematic diagram of Ptolemy's model of the moon's motion. Not only is an epicycle used to generate the variations in the moon's apparent motion but the center of the moon's deferent itself is assumed to move on a circle about the Earth in order to better approximate the observed variations in its apparent motion.



Hipp. - Q po deferentu s centrem v \odot . Po epicyklu se křivce v op. směrem rychl. jen o malou mění ($\approx 3^\circ$ obř.)

\Rightarrow místo kde se Měsíc přibližuje nejvíce Zemi

se s periodou 9 let posouvá - tržba z výpočtu bahmání

Ptolemaios - skomplikoval model tím, že střed deferentu se obíhá rovnom. po kruž-

nicí za 1 synod. měsíc v opačném směru

Už Hipparchos obložil rovinu dráhy \odot o 5° k deferentní \odot a uvažoval její oběh $18\frac{1}{2}$ roků směrem na západ (pohyb úzlu) - odpovídá regresi úzlu - nezbytné k předpovědi zatmění

Ptolemaiovo systém se světu osvědčil - bylo možné podle něj dělat předpovědi na desítky let dopředu
x neodpovídal na otázku jak je to vše v prostoru - pouze šly k centru lineární rozměry dráhy - nebylo to podstatné
Model selhal při přesnějších měřeních - další korekční členy - stále složitější
→ revise a oprávnění heliocentrické domněnky

3.3 Kopernikův systém

Koperník - jednodušší pohled - Země jednou k planet, v centru Slunce
- počátek revoluce v pohledu na uspořádání světa

"De Revolutionibus Orbium Caelestium" - 1543
- heliocentrická soustava - přímější
 \odot poněkud mimo centrum - tam je střed zemské dráhy

Uspořádání planet ~ dvojnásobek, i proporce dráhy

rychlost tím větší, čím je planeta blíže
 středu sl. soustavy
 Merkur + Venus - vnitřní planety
 ostatní planety - vnější planety

Prájemé konfigurace: výeh., zap. nejv. el., souj. ^{hor} _{dol}
 Vnější planety: opozice, konjunkce, kvadratura

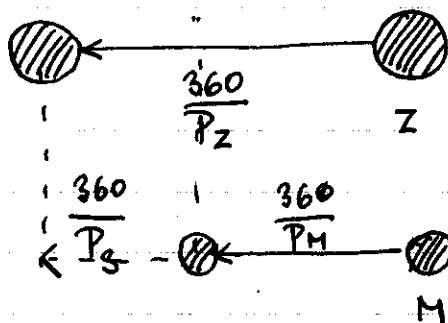
Doba, kdy se kompletně vystrídají všechny
 aspekty planety - synodická perioda
 vůči Zemi a Slunci

x siderická doba vzhledem ke **
 - pouze pohyb samotné planety

v heliocentr. modelu - siderická oběžná
 doba tím větší, čím větší poloměr

Vztažka - vztah mezi periodami $\left\{ \begin{array}{l} \text{sider. } P_p \\ \text{synod. } S \end{array} \right.$

odvození: pozorováno ze \odot

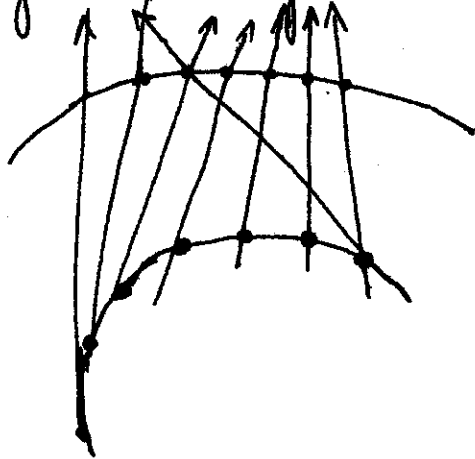


$$\frac{360}{S} = \frac{360}{P_Z} - \frac{360}{P_M} \Rightarrow \frac{1}{S} = \frac{1}{P_Z} - \frac{1}{P_M}$$

Merkur	116	88 d
Venus	584	225 d
Mars	780	1,88 r
Jupiter	399	11,86 r
Saturn	378	29,46 r

přirozený výnam
 obou period -
 by se vyshly
 i v geoc. modelu

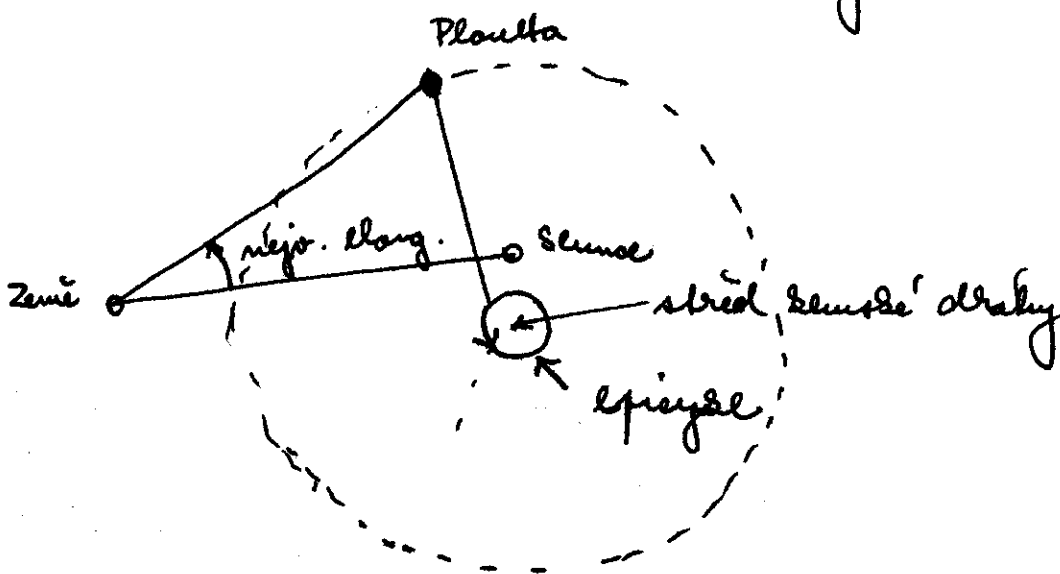
Zahínco Ptolemaios nedokázal v rámci svého modelu odvodit rozích a rychlost retrogradního pohybu - Koperník to vysvětlil jako logický důsledek toho, že se Země přibližila k planetě, přičemž její úhel rychlost je větší!



→ přímý důsledek →
 Mars větší klička než Saturn
 Koperník odem
 rústal u bruhových
 pohybů → musel pro
 vysvětlení navrhnout opět
 epicykly

Převrátit roli deferentu a epicyklu

- Hlavním triumpfem kop. systému - schopnost vysvětlit relativní rozměry dráhy vzhledem k rozměru Země dráhy (v astr. jednotkách)



→ vysvětlení proč se čas od času vyskytují různé maximální elongace uvnitř planet

v relativních velikost dráh planet - slada
 maximálně 4% (Saturn)

	Kopernik	moderní
Merkur	0,38	0,387
Venuše	0,72	0,723
Země	1,00	1,000
Mars	1,52	1,52
Jupiter	5,22	5,20
Saturn	9,17	9,54

3.4 Keplerovy zákony

- od objevení uplynulo 60 let

(1546 - 1601)

Tycho Brahe - rozsáhlá měření vyžadující
 přesnost ~ 1' - největší pozorovatel
 všech dob

- Brahe heliocentrismus nepřijal kvůli
 neměřitelné paralaxe x kop. systému byl postýlán
 změnil paralaxu dvanácti ☾ - posun mezi
 * při východu a západu

→ navrhl jiný systém - kompromisní
 Země - střed, kolem něj obíhá ☉, je
 je středem sluneční soustavy

- z pověření systému (na základě
 vlastních pozorování - schopného teoretika
 Johannes Kepler (1600 ho Brahe najal)

Brahe ale mezitím zemřel

(1571 - 1630)

Johannes Kepler

- přesvědčený Koperníkovec

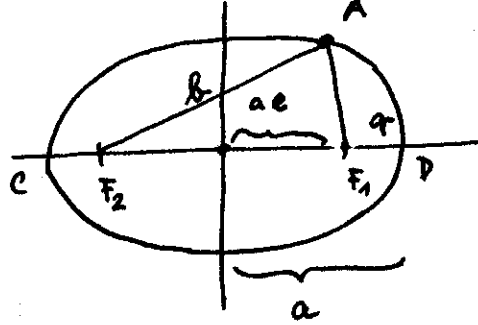
po mnohaletém přiblížení - prostorová
 dráha Marsu není kružnice, ale elipsa!

1. kázan

krivnice →
elipsa

$e = \frac{r}{F} =$

- revolucní hrad



$$F_2 A + A F_1 = \text{const}$$

CD - 2x velká poloosa
mala' poloosa

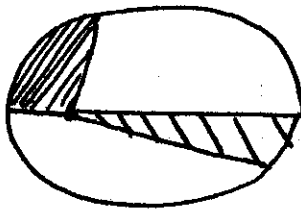
výstřednost e - charakterizuje zploštění elipsy

$$q = a(1-e)$$

afélium
perihélium

nerovnom.
pohyb

Pohyb
nerovnoměr-
ný



→ kázan ploché

2. kázan

$$\frac{v_P}{v_a} = \frac{2a - q}{q} = \frac{2a - a + ae}{a - ae} = \frac{1+e}{1-e}$$

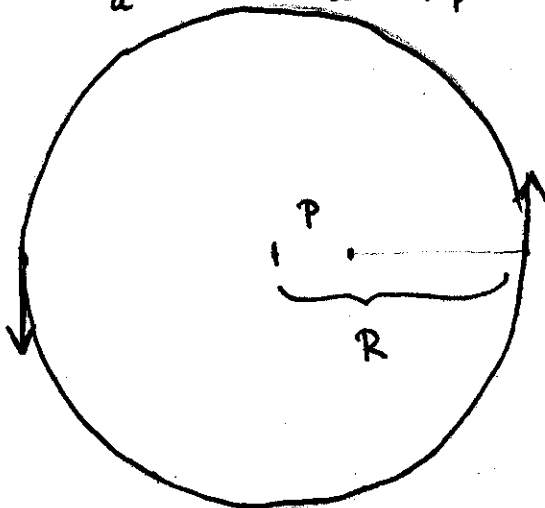
$$\omega = \frac{v}{r} \Rightarrow$$

$$\frac{\omega_P}{\omega_a} = \frac{v_P}{v_a} \cdot \frac{r_a}{r_P} = \left(\frac{1+e}{1-e}\right)^2$$

krivnicový
přístup
mimosředový

$$R \varepsilon = \mu$$

$$\frac{\Omega_P}{\Omega_A} = \frac{R + \mu}{R - \mu} = \frac{1 + \varepsilon}{1 - \varepsilon}$$



$$\frac{\Omega_P}{\Omega_A} = \frac{\omega_P}{\omega_a} \Rightarrow \left(\frac{1+e}{1-e}\right)^2 = \left(\frac{1+\varepsilon}{1-\varepsilon}\right)^2$$

e male'

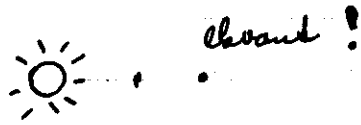
$$\left(\frac{1+e}{1-e}\right)^2 = \left(\left(\frac{1+\varepsilon}{1-\varepsilon}\right)^2\right)^2 = 1 + 4\varepsilon$$

$$\left(\frac{1+e}{1-e}\right) = 1 + 2\varepsilon \Rightarrow \varepsilon = 2e$$

(49)

2x dál střed od středu 0

dobře to odpovídá Ptolemaiovskému



3. zákon Kepler 10 let po objevení 1. a 2. zákona
- harmonický zákon: The Harmonies of the World
 - pohyb z hlediska zákoni hudelní harmonie

$$P^2 = a^3$$

roky a.j.

Keplerova fyzika - věřil, že síla pohánějící planety pramení ve Slunci - špatně ale byl to první model astronomický na fyzikálním základu - ostatní na filoz. nebo teolog. principech

Přeslává mít za cíl jenom popisovat, ale i pochopit, vysvětlit, najít právní

Kepler paradoxu nezměřil x elegance a přesnost zvěděla i když tu pozici dává chybě

3.5 Galileův přínos

1620

- teleskopická pozorování - podpora heliocentr. teorii i když to byl přístroj horší než kuleťáko - obraz rozšířen neuvěřitelně
- * Jupiter se 4 družicemi
→ dává že může být více než jeden střed obíhání
(heliocentrismus = země si neodráží ☾)

- odstranění hlavního protiařumentu
- Kepler spraven Galileim prokázal platnost harmonického zákona i zde → objev
- * nepravidelnosti Měsíce, jeho povrchu
 - x pro víře, že nebeská tělesa jsou perfektní koule
- * sluneční skvrny - další náma
 - tato tělesa rotují! stejně jako ☉
 - usoudilo to přijetí rotace ☉
- * fáze Venuše - musí obíhat kolem ☉
- Galileio spor s církví - geocentr. dogma
- 1632 - musel odvolat odsouzen k domácímu vězení až do konce života
- Galileo - přínos pro fyziku - mechaniku
- shledoval pohyb těles, našel a formuloval princip setrvačnosti: "těleso setrvaává v rovnoměrném přímocáreém pohybu, pokud není vnější síla přinuceno k tomu stav změnit" - klavne - tření - síla, která uvádí klouzající tělesa do klidu
- vše bylo základem pro dynamiku
- tu rozvinul Isaac Newton
- pohyb - výsledek setrvačnosti a působících sil

3.6 Newtonovy pohybové zákony. ~~Galileio~~

Newton zavedl pojmy: síla hmotnost
 První - princip setrvačnosti
 maximální odklon od řeckého (aristotelého) chápání
 těleso v klidu není normální stav

musí být současně splněno $\vec{v} = \vec{0}$,
 $\Sigma \vec{F} = \vec{0}$

U pozemských podmínek nenastává (gravit. rychl.)
ani jiné, vždy jsou tření a vzduch
nějaké síly přítomny

2. Newtonův zákon: $\Sigma \vec{F} = m \vec{a}$

$$\vec{a} = \ddot{\vec{r}}$$

↑ vektorový součet všech
síly působících na těleso
o hmotnosti m

m - míra "odporu" tělesa změnit svůj stav

aplikace - v případě $\vec{v} \perp \vec{F}$, pak se
absolutní hodnota \vec{v} nemění, pouze směr
→ vysvětlení kruhového oběžného kruhu.
pohybu

mechanika, dynamika - princip skládání
a rozkladu pohybu i síly

3. Newtonův zákon - působí-li jedno těleso
na druhé silou \vec{F} , pak to druhé na první
působí silou $-\vec{F}$ princip akce a reakce
odp. zrychlení - to 2. pohyb. zákona
časlo je možné jedno z nich zaniknout,
jsou-li hmotnosti těles neporovnatelné

Newtonovy zákony umožňují vysvětlit např.
2. Keplerův zákon, za předpokladu, že
dostředivá gravitační síla směřuje ke Slunci

Definice dostředivé síly: $\vec{F} = \frac{F}{r} \cdot \frac{\vec{r}}{r}$
 $r = |\vec{r}|$ skalar jednot. vektor



centr. síla

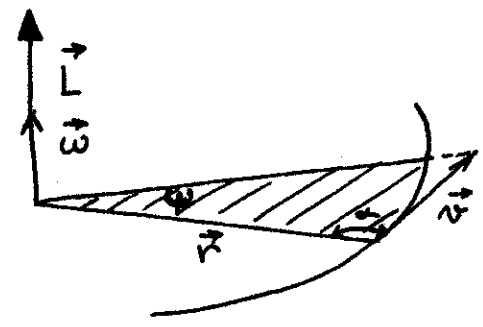
moment síly $\vec{M} = \vec{r} \times \vec{F} = \vec{r} \times f \cdot \frac{\vec{r}}{r} = 0$

moment hybnosti $\vec{L} = \vec{r} \times \vec{p} = \vec{r} \times (m\vec{v})$

$$\dot{\vec{L}} = \frac{d}{dt}(\vec{r} \times \vec{p}) = \underbrace{(\dot{\vec{r}} \times m\dot{\vec{r}})}_0 + \underbrace{\vec{r} \times \frac{d\vec{p}}{dt}}_{\vec{r} \times \vec{F} = 0} = 0$$

$$\frac{d\vec{p}}{dt} = \vec{F} \quad \text{2. Newtonův zákon}$$

Časová derivace momentu hybnosti je 0
 při centrální síle nulová \rightarrow moment
 hybnosti je konstantní vektor kolný k
 rovině pohybu



plocha trojúhelníka
 je dvojnásobek
 $|\vec{r}| \cdot |\vec{v}| \cdot \sin \alpha = |\vec{r} \times \vec{v}|$

$$\vec{r} \times \dot{\vec{r}} = \text{konst}$$

Pohyb se děje v rovině!
 $\vec{\omega} \parallel \vec{L}$

Obecnější platnost - vždy, je-li síla centrální

tedy $\vec{v} = \vec{r} \times \vec{\omega}$

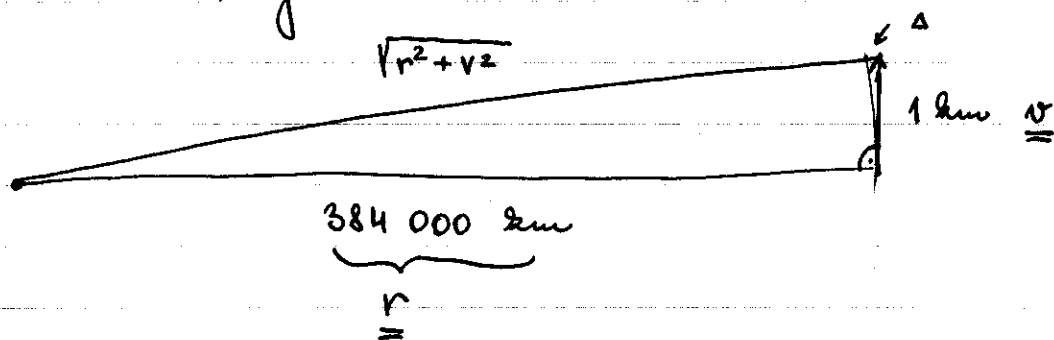
Precese - $\frac{d\vec{L}}{dt} \neq 0$ - působí rušivé
 gravitační síly Měsíce a Slunce - vytvářejí moment
 $\vec{M} \rightarrow$ musí osu Země vybočovat přesem
 pohyb
 analogické pro nutaci
 slácní roviny dráhy Měsíce a planet (usloví
 přírody) - podmínka $\frac{d\vec{L}}{dt} = 0$ není přesně splněna

rešivá síly nejsou centrálními

3.4 Newtonův gravitační zákon

- koncept gravitace = tahat síla, která nutí
na Zemi tělesa k pádu je přibližně polohou
těles ve vesmíru (slun. soustavě)

- i vaku začal se Δ . Kmal vzdálenost a
oběšenou dobu \Rightarrow 1 km/s aby nedlehl
musí být za 1 s urychlen tak, aby
spadl na Zemi o 1,3 mm - pak kistané
ve stejné vzdálenosti



$$\Delta = \sqrt{r^2 + v^2} - r = r \left(\sqrt{1 + \frac{v^2}{r^2}} - 1 \right) =$$

$$r \cdot \left(\frac{1}{2} \frac{v^2}{r^2} \right) = \frac{v^2}{2r} = 1,3 \cdot 10^{-6} \text{ km} = \underline{\underline{1,3 \text{ mm/s}^2}}$$

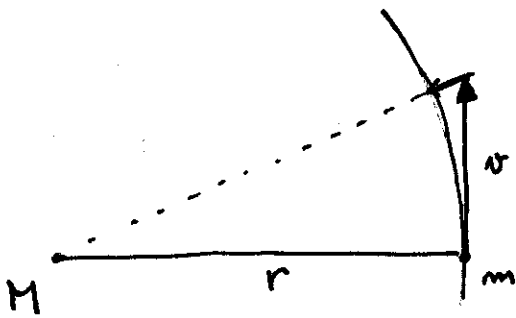
Urychlení Merice znal - mohl vypočítat dráhu
přípis síly - zákon univerzální gravitace

$$\vec{F} = -\alpha \frac{m_1 m_2}{r^2} \cdot \frac{\vec{r}}{r}$$

m_1, m_2 - skalár
- redukční \equiv sílové konstanty

$$\alpha = 6,642 \cdot 10^{-11} \text{ N m}^2 \text{ kg}^{-2}$$

Tvar gravitačního zákona mohl odvodit ze znalosti 3. Keplerova zákona aplikovaného na pohyb po kružnici.



K udržení na kružové dráze je zapotřebí dostředivé síly $F = ma$

$$\frac{1}{2} a \cdot T^2 = \frac{1}{2} \frac{v^2}{r}$$

$$F_c = m \cdot a = m \cdot \frac{v^2}{r}$$

$$v = \frac{2\pi r}{P}$$

(síla odstředivá)

r - poloměr dráhy

$$ma = \frac{4\pi^2 r}{P^2} m$$

$$\frac{P_1^2}{P_2^2} = \frac{r_1^3}{r_2^3} \Rightarrow \frac{a_1}{a_2} = \frac{r_2^2}{r_1^2}$$

rychlení nepřímo úměrné kvadrátu vzdálenosti

nebo 3. Kepl. zákon: $P^2 = k r^3$

$$F = \frac{4\pi^2}{k} \cdot \frac{m}{r^2}$$

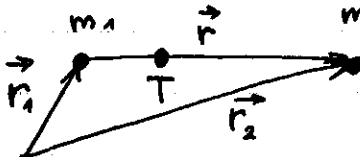
rychlení asi konstantní bude úměrné ~~střední~~ tělesa a došlo.

$$\Rightarrow \vec{F} = - \gamma \frac{Mm}{r^3} \vec{r}$$

1. z planosti
2. Kepl. 2. \rightarrow do cent.

3.4 Problém dvou těles. Uprávená podoba Keplerových zákonů

- ke gravitační interakci zapotřebí alespoň 2

tělesa o hmotnostech m_1 a m_2 , polohových vektorech \vec{r}_1, \vec{r}_2

 problém dvou těles řešitelný

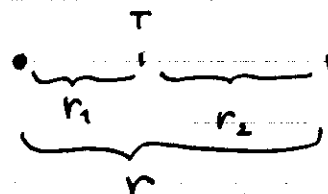
a) těžiště soustavy - hmotný střed

$\vec{R} = \sum m_i \vec{r}_i / \sum m_i$ - platí, že
 hmotný střed se nepohybuje se zrychlením
 - vhodné do něj převést vzájemnou soustavu

u 2 těles
$$\vec{R} = \frac{m_1 \vec{r}_1 + m_2 \vec{r}_2}{m_1 + m_2}$$

$\Rightarrow \vec{R} = \vec{0} \quad \vec{r}_1 = - \frac{m_2}{m_1} \vec{r}_2$

těžiště na spojnici, blíže k těžšímu



$m_1 \vec{r}_1 = - \alpha \frac{m_1 m_2}{(r_1 + r_2)^2} \cdot \frac{\vec{r}}{r}$

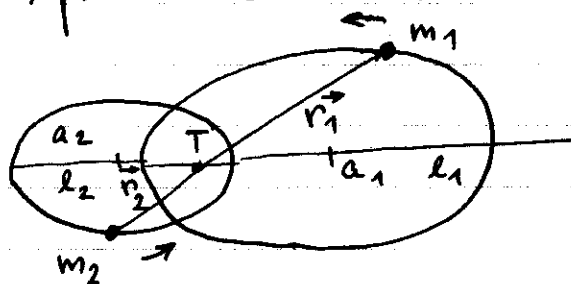
$m_1 \vec{r}_1 = -m_2 \vec{r}_2$

$\Rightarrow m_1 \vec{r}_1 = -m_2 \vec{r}_2$

$m_2 \vec{r}_2 = - \alpha \frac{m_1 m_2}{r^3} \vec{r}$

Keplerova třetího zákona

1. Keplerova třetího zákona: Tělesa se pohybují v rovině po kružnicích, v jejich společném ohnisku je těžiště soustavy



$\frac{a_1}{a_2} = \frac{m_2}{m_1}$

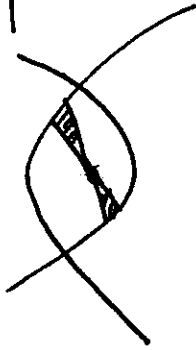
$l_1 = l_2 = l$!

společně procházejí periheliem, aféliem

krivka nemusí být jen elipsa, ale -i parabola, hyperbola

2. Keplerův zákon, zákon ploch

$$v_1 \cdot m_1 = v_2 \cdot m_2$$



3. Keplerův zákon - pouze pro elipsy

$$a^3 \approx T^2 (M_1 + M_2)$$

odvození - redukce - vztahem k jedné těleso - průměru

$$\vec{r} = \vec{r}_2 - \vec{r}_1 \Rightarrow \vec{r}_2 = \frac{m_1}{m_1 + m_2} \vec{r}$$

polohová rovnice $m_2 \ddot{\vec{r}}_2 = \frac{m_1 m_2}{r^2} \frac{\vec{r}}{r}$

$$\Rightarrow \frac{m_1 + m_2}{m_1 + m_2} \ddot{\vec{r}} = \frac{m_1 + m_2}{r^2} \cdot \frac{\vec{r}}{r}$$

$$\ddot{\vec{r}} = \frac{(m_1 + m_2)}{r^2} \cdot \frac{\vec{r}}{r}$$

jestliže $m_1 \gg m_2 \Rightarrow \ddot{\vec{r}} \approx \gamma \frac{m_1 m_2}{r^2} \frac{\vec{r}}{r}$

• Aplikace zákona zachování energie

pro soustavu dvou těles platí, že celková energie systému se nemění

$$E = \frac{1}{2} m_1 v_1^2 + \frac{1}{2} m_2 v_2^2 - \gamma \frac{m_1 m_2}{r}$$

potenciální energie - pokud ji třeba
dodat energii, aby se systém rozpadl

Převod na vzájemné souřadnice

$$m_1 \vec{v}_1 = -m_2 \vec{v}_2$$

$$\vec{v}_1 = \frac{m_2 \vec{v}}{m_1 + m_2}$$

$$\vec{v}_2 = -\frac{m_1 \vec{v}}{m_1 + m_2}$$

$$E = \frac{m_1 m_2}{2(m_1 + m_2)} v^2 - \alpha \frac{m_1 m_2}{r}$$

$\mu = \frac{m_1 m_2}{m_1 + m_2}$ - redukovaná hmotnost

$$E = \frac{\mu v^2}{2} - \alpha \frac{m_1 m_2}{r}$$

je-li $m_2 \ll m_1$ $\mu = m_2$

pro planetu m , M

$$E = \frac{1}{2} m v^2 - \alpha \frac{mM}{r}$$

gravitační
potenciál

$$\phi = -\alpha \frac{M}{r}$$

→ závěry když klesá r - roste rychlost
a napětí

Klasifikace soustav podle celkové energie elipsa

$E < 0$ soustava vázaná - exist. max r

$E = 0$ parabola - stabilita malá $\frac{v \rightarrow 0}{r \rightarrow \infty}$

$E > 0$ hyperbola - $r \rightarrow \infty$ $v \neq 0$

Pro gravitační interakci dále platí (i obecně
pro libovolný počet bodů) virial a virialu

$$2 \langle E_k \rangle + \langle E_p \rangle = 0$$

↑ střední hodnoty

Porovnání kruhová, parabolická dráha
parabola $E = 0$ \Rightarrow

$$E_K = -E_P$$

$$v_p = \left(2 \frac{\alpha M}{r}\right)^{1/2}$$

kruhová dráha

E_K - konst., E_P rovnež

$$\langle E_K \rangle = E_K \quad \langle E_P \rangle = E_P$$

bradění dráhy.

- aplisosa

$$v_k = \left(\frac{\alpha M}{r}\right)^{1/2}$$

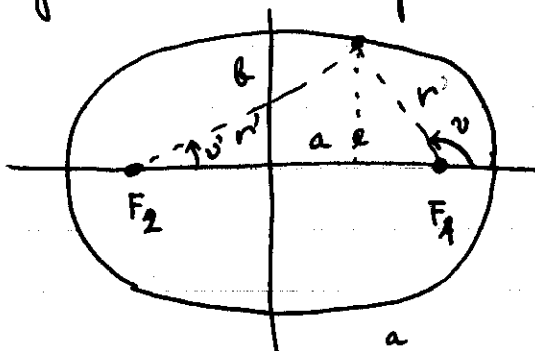
$$\langle E_P \rangle = 2 \langle E \rangle$$

$$\langle E_K \rangle = - \langle E \rangle$$

$$v_p = \sqrt{2} v_k$$

3.8 Geometrie trajektorie. Rychllost a poloha na trajektorii

Gravit. působení - centrální síla \rightarrow pohyb
2 těles působících na sebe jen gravitačně se
děje v rovině procházející těžištěm $m \ll M$



1. Kepl. zákon - dráhy jsou elipsy

$$a = \frac{1}{2}(r+r')$$

$$b = \sqrt{a^2 - (ae)^2} = a \sqrt{1-e^2}$$

$q = a(1-e)$ vzdálenost pericentra

$Q = a(1+e)$ vzdálenost apocentra

ν - pravá anomálie

u elipse platí:

$$r' \sin \nu' = r \sin \nu$$

$$r' \cos \nu' - r \cos \nu = 2ae$$

po úprave : $r' = \sqrt{(r^2 + 4aer \cos v + 4a^2 e^2)}$

$r' + r = 2a \Rightarrow$

Rovnice elipsy * polárního souřadnicích v - pravá anomálie

$$r = \frac{a(1-e^2)}{1+e \cos v}$$

Pro $0 < e < 1$ - křivka má tvar elipsy
 $e = 1$ - křivka je jedna ohnisko v nek.

$$r = \frac{2a}{1+\cos v} = \frac{a}{\cos^2 \frac{v}{2}}$$

Pro elipsu platí rovnice elipsy:

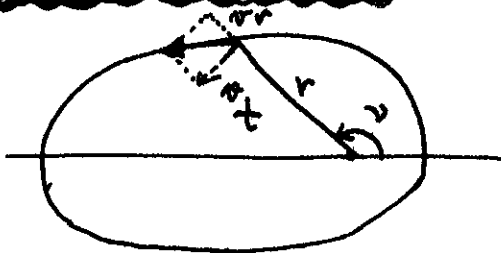
$$\left(\frac{x}{a}\right)^2 + \left(\frac{y}{b}\right)^2 = 1 \quad x, y - \text{bod na elipse}$$

$$r'^2 = (x+ae)^2 + y^2$$

$$r^2 = (x-ae)^2 + y^2$$

plocha elipsy
 $A = \pi ab$

Rychlost v dráze



rozložíme si vektor \vec{v} na složku radiální v_r a tečnou v_t

rázou ploch

$$\frac{v \cdot v_t}{2} = \frac{dA}{dt} = \frac{1}{2} L = \text{konst}$$

dA - část plochy elipsy opsaná na jednotku času

$$v_t = r \cdot \frac{dv}{dt} \Rightarrow \frac{2A}{P} = \frac{2\pi ab}{P} = r^2 \frac{dv}{dt}$$

$$\frac{dv}{dt} = \frac{2\pi a^2}{p r^2} (1-e^2)^{1/2}$$

$$r = \frac{a(1-e^2)}{1+e \cos \nu}$$

$$v_t = r \frac{dv}{dt} \quad v_R = \frac{dr}{dt}$$

$$v_R = \frac{2\pi a}{p} \frac{e}{\sqrt{1-e^2}} \cdot \sin \nu$$

$$v_t = \frac{2\pi a}{p} \frac{(1+e \cos \nu)}{\sqrt{1-e^2}}$$

$$v_{per} = v_t = \frac{2\pi a}{p} \left(\frac{1+e}{1-e} \right)^{1/2} \quad v_{ap} = \frac{2\pi a}{p} \left(\frac{1-e}{1+e} \right)^{1/2}$$

$$v^2 = v_R^2 + v_t^2 = \frac{4\pi^2 a^2}{p^2} \frac{1+2e \cos \nu + e^2}{1-e^2}$$

ale platore pro elipsu plati' $e \cos \nu = \frac{a(1-e^2) - r}{r}$

a pro $p^2 = \frac{4\pi^2}{\kappa(M+m)} a^3 \Rightarrow$

$$v^2 = \kappa(M+m) \left(\frac{2}{r} - \frac{1}{a} \right)$$

Rovnice zachování energie

$$\left\{ \begin{aligned} E &= \frac{1}{2} \mu (v_t^2 + v_R^2) - \frac{GMm}{r} \end{aligned} \right.$$

$$\mu = \frac{Mm}{M+m}$$

$$\left. \begin{aligned} v_R &= \dot{r} \\ v_t &= r \frac{d\nu}{dt} \end{aligned} \right\} \Rightarrow E = \frac{1}{2} \mu (\dot{r}^2 + r^2 \dot{\nu}^2) + \phi(r) \bullet$$

Poloha tělesa v dráze

definujeme si místo času rovnoměrně plynoucí veličinu M - střední anomálie

$$M = \frac{2\pi}{P} (t' - T) \quad T - \overset{\text{čas}}{\text{příchodu peribelem}}$$

$$t = t' - T$$

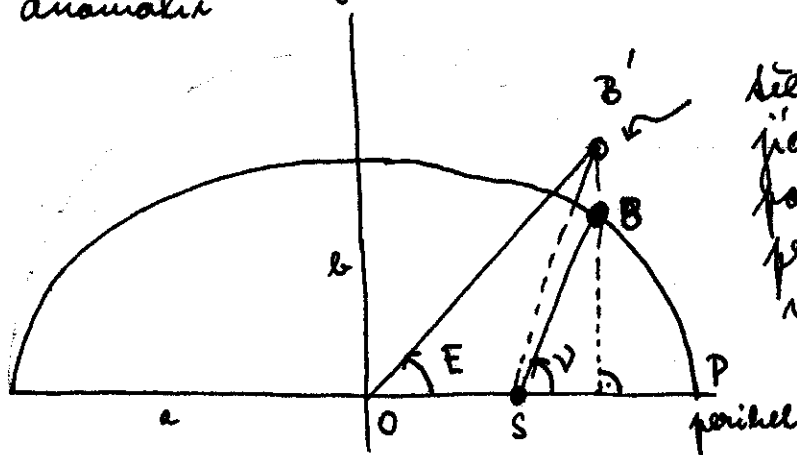
(střední denní úhlový pohyb)

Podle 2. Keplerova zákona platí

$$\frac{\Delta A}{A} = \frac{t}{P} \quad A = \frac{\pi ab}{P} t$$

ΔA - plocha opsaná přívodičem za čas t

je třeba najít vztah mezi ΔA a pravou anomálií



těleso pomocně pohybuje se nerovnoměrně po kružnici - průsečík kružnice vedoucí kolmo k přímce obsahující tělesum

E - excentrická anomálie
platí, že

$$\Delta A = \frac{b}{a} \Delta A_E$$

ΔA_E je kruhová výseč bez trojúhelníku $SB'O$
plocha kruhové výseče $\sim \frac{1}{2} E a^2$, E v radiánech
plocha $SB'O \sim \frac{1}{2} (a \sin E) a e \Rightarrow$

$$\Delta A_E = \frac{1}{2} a^2 (E - e \sin E)$$

$$\Delta A = \frac{1}{2} ab (E - e \sin E) = \frac{\pi ab}{P} t$$

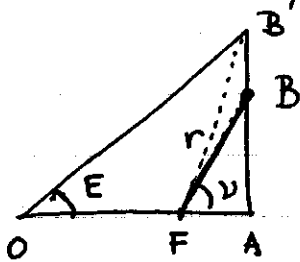
$$E - e \sin E = \frac{2\pi}{P} t = M$$

$$\Rightarrow \boxed{E - e \sin E = M}$$

Keplerova rovnice - nekuvána' - excentricita' anomálie

nejrychlejší řešení - iterace $E_0 = M \rightarrow E_1$
 $E_1 \rightarrow E_2 \dots$

známe-li $E(t)$, lze vypočítat r a v - vzdálenost, pravou anomálii



$$FA = OA - OF = a(\cos E - e)$$

$$AB = \frac{b}{a} AB' = \frac{b}{a} a \sin E = a \sqrt{1-e^2} \sin E$$

$$b = a \sqrt{1-e^2} \quad r = \sqrt{(FA)^2 + (AB)^2} = a \sqrt{(\cos E - e)^2 + (1-e^2) \sin^2 E}$$

$$\Rightarrow \underline{\underline{r = a(1 - e \cos E)}}$$

$$\lg v = \frac{AB}{FA} = \frac{a \sqrt{1-e^2} \sin E}{a(\cos E - e)} \Rightarrow$$

$$\underline{\underline{\lg \frac{v}{2} = \left(\frac{1+e}{1-e}\right)^{1/2} \lg \frac{E}{2}}}$$

Postup při zjišťování polohy v dráze
 - data od průchodu periheliem + perioda $\rightarrow M$
 pomocí M a excentr. \rightarrow excentric. an. E
 z exc. anomálie $E, a \rightarrow r; v \rightarrow$ tím
 je poloha v dráze (v rovině) plus směrem

Příklad : dráha Země

$$a = 1 \text{ a.j.} \quad (1,49598 \cdot 10^{11} \text{ m})$$

$$e = 0,0167$$

Vzdálenosti $\delta - \odot$ v periheliu $r = a(1-e) =$
 $= 0,9833 \text{ a.j.}$
v ^{helu} ~~afeliu~~ $r = a(1+e) =$
 $= 1,0167 \text{ a.j.}$

Poměr osvětlení $\frac{\text{perihelium}}{\text{afelium}} = \left(\frac{1,0167}{0,9833}\right)^2 = \left(\frac{1+e}{1-e}\right)^2 = 1,069$

relativní změna 6,9% , rel. změna úhl.
průměru \odot : $(1+e)/(1-e) = 1,034$ $\approx 3,4\%$

Kolik Země urazí po $\frac{1}{4}$ roce své dráhy
po příchodu periheliu
 $M = \frac{2\pi}{4} = \frac{\pi}{2}$ $E = M$

$$E = M + e \sin E = \frac{\pi}{2} + 0,0167 = 1,5708 + 0,0167 = 1,5875$$

$$r = a(1 - e \cos E) = 1(1 - 0,0167 \cos(1,5875)) = 1,0003 \text{ a.j.}$$

$$\operatorname{tg} \frac{\nu}{2} = \left(\frac{1+e}{1-e}\right)^{1/2} \operatorname{tg} \frac{E}{2} = 1,0168 \cdot \operatorname{tg} \frac{1,5875}{2}$$

$$= 1,604 = 0,5106 \pi = 91,9^\circ$$

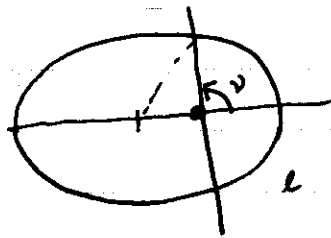
$$\approx 0,021 \text{ více} \quad \sim 2 \text{ dny} \quad \sim 1,9^\circ$$

- Za kolik dní od příchodu periheliu
se změna pravé anomálie $\approx 90^\circ$?

$$\nu = 90^\circ$$
$$\operatorname{tg} \frac{\nu}{2} = 1$$

$$\operatorname{tg} \frac{E}{2} = \left(\frac{1-e}{1+e}\right)^{1/2} \cdot \operatorname{tg} \frac{\nu}{2} \Rightarrow E = 1,5708$$

$M = 1,5282$ rad $t = 0,2432 P = 88,83$ d
 dalsí' čírkina $93,49$ d
 rozdíl 5 dní - o něm viděl už i
 Hipparchos



Obleční: $\tau = P \frac{E - e \sin E}{2\pi}$

$\lg \frac{E}{2} = \left(\frac{1-e}{1+e} \right)^{1/2}$

Mars: $e = 0,0934$ $E = 1,4773$ $M = 1,3843$
 $t = 0,220$

Šlošky v rámci polárních souřadnic

$r = \frac{a(1-e^2)}{1+e \cos v}$ $\dot{r} = \frac{2\pi a}{P} \frac{e}{\sqrt{1-e^2}} \sin v$

$\dot{v} = \frac{v_e}{r} = \frac{2\pi}{P} \frac{(1+e \cos v)^2}{(1-e^2)^{3/2}}$

Extrémy: $\dot{r} = \frac{2\pi a}{P} \frac{e}{\sqrt{1-e^2}}$ $v = \pm 90^\circ$

pro malé e $\dot{r} = \pm \frac{2\pi a}{P} \cdot e$ $\circ - \delta \pm 0,50$ km/s
 $29,7$

$\dot{v}_{\text{MAX}} = \frac{2\pi}{P} \cdot \frac{(1+e)^{1/2}}{(1-e)^{3/2}} = \frac{2\pi}{P} (1+2e)$ $v = 0, 180^\circ$
 $= 1,019^\circ/\text{den}$

$\dot{v}_{\text{MIN}} = \frac{2\pi}{P} \cdot \frac{(1-e)^{1/2}}{(1+e)^{3/2}} = \frac{2\pi}{P} (1-2e)$ $\frac{2\pi}{P} = 0,9856^\circ/\text{den}$
 $= 0,953^\circ/\text{den}$

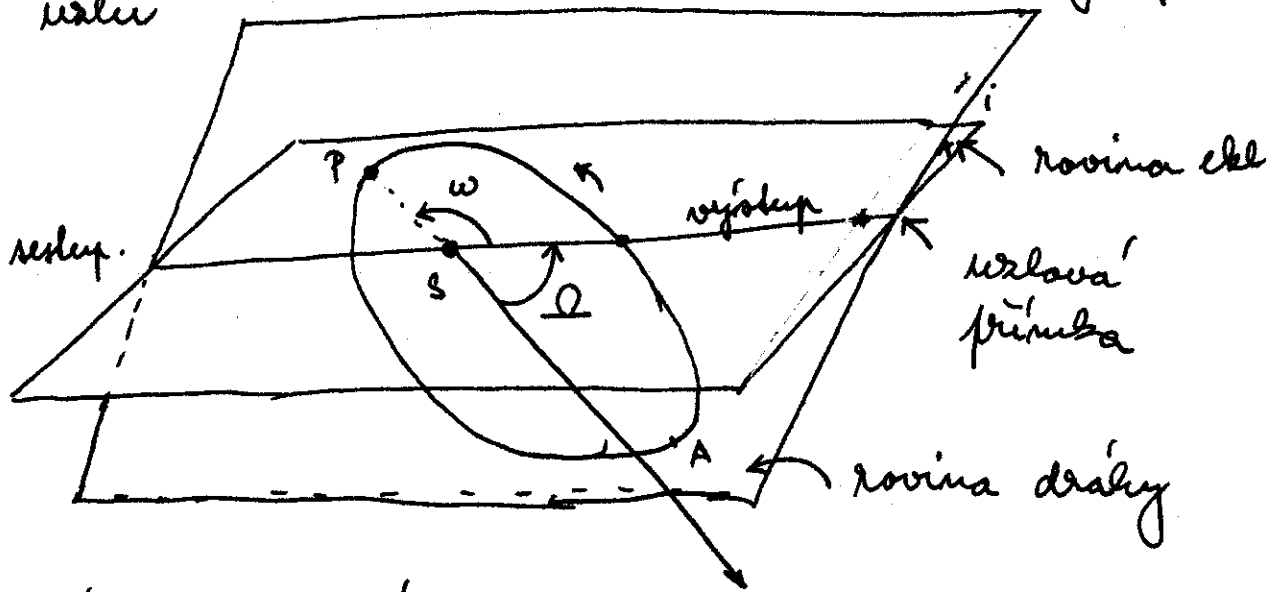
$\frac{\dot{v}_{\text{MAX}}}{\dot{v}_{\text{MIN}}} = \left(\frac{1+e}{1-e} \right)^2 = (1+4e)$ $\circ - \delta$ $1,069$

3.9 Dražové elementy

Poloha tělesa v dráze určena: a - velikost a tvar dráhy + $\frac{e}{1-e}$ - přechod perihelium 3 parametry

+ 2 další údaje o poloze roviny dráhy
 - směrnice normály - \bullet (prochází \odot)
 sklon dráhy i , Ω - délka výstupného uzlu

+ ω - argument perihelium - poloha perihelium v rovině - úhlová vzdálenost od výstupného uzlu



délka sestupného uzlu γ

$$\Omega \pm 180^\circ$$

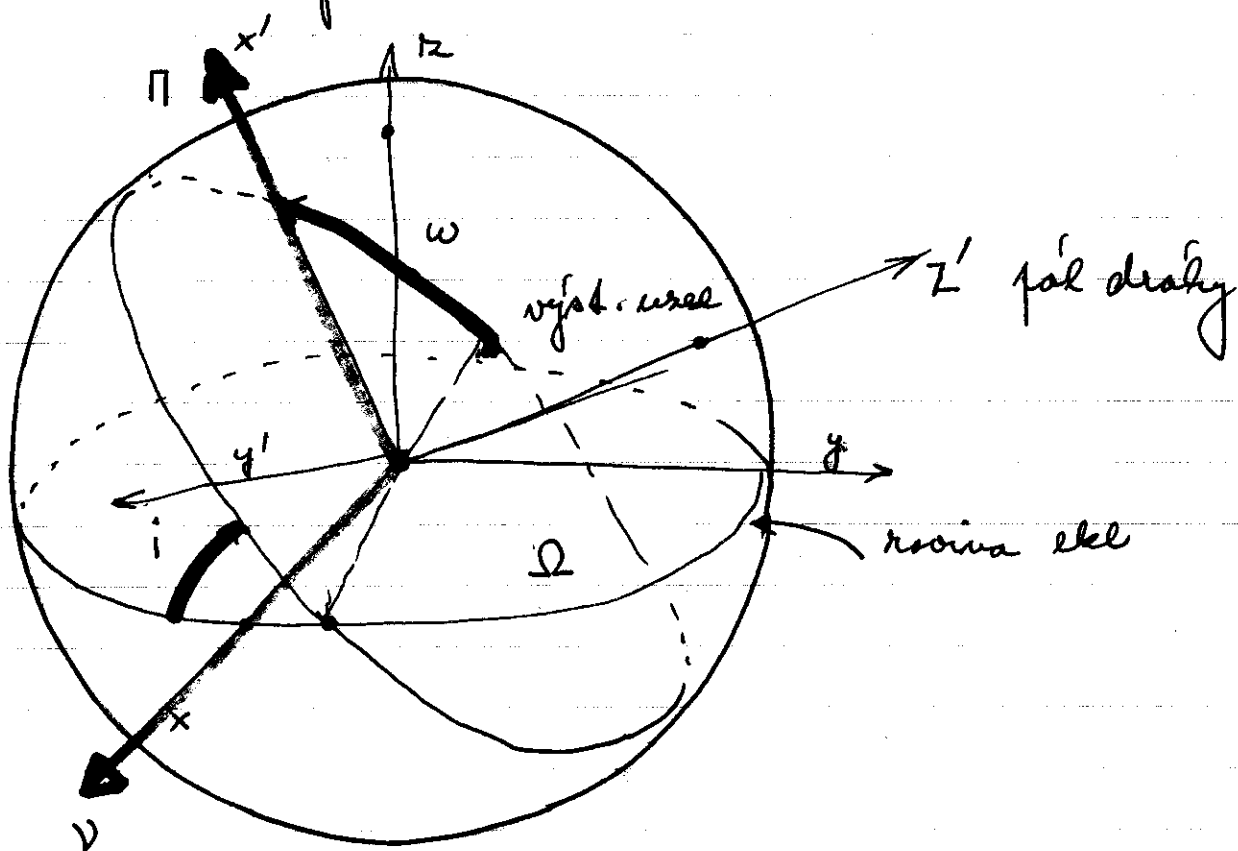
$i < 90^\circ$ poloha souhlasný se \odot

$i > 90^\circ$ poloha opačný (retrográdní)

v hyperbolických a parabolických se místo a uvádí q - vzdálenost perihelium
 je-li $e = 1$, pak stačí k popisu paraboly 5 elementů - vzhledně jako první přiblížení při popisu dráhy normálně koučky

Drahové elementy umělych druzice se vztahují k Zemi

Transformace souřadnic - poloha tělesa v dráze určena $r + \nu$ vzdáleností a prázem anomálií T kobl. rovina - kobl. směr ϑ k periheliu. Úkolem je najít souřadnice tělesa x, y, z počátkem ve slunci se kobl. rovinou a kobl. směrem k jádru bodu

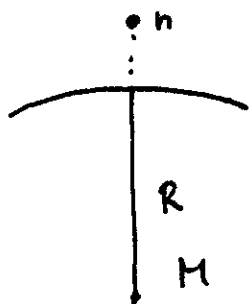


Postup transformace od planetárních k heliografickým ~~z~~ ekliptikálním

- 1) otočení kolem osy z' o úhel $-\omega$
- 2) otočení kolem osy z o úhel $-\Omega$
- 3) otočení kolem osy $x \equiv x''$ o úhel $-i$

3.10 Pohyb ~~malých~~ družic Země planet

4.10.1977 - ověření možnosti existence um. družice - předpokládána už Newtonem na oběžnou dráhu vypraveny raketa, že jim udělí potřebnou rychlost



1. kosmická rychlost

hrubová rychlost - dráha kružnice
 $\vec{v} \perp$ na \vec{g}

$$v_k = \sqrt{\frac{\alpha M}{R+h}} = \sqrt{\frac{g R^2}{R+h}}$$

$$g = \frac{\alpha M}{R^2}$$

$$R = 6,371 \cdot 10^6 \text{ m}$$

$$g = 9,81 \cdot \text{m/s}^2$$

pro $h=0$

$$v_{1k} = 7,912 \text{ km/s}$$

\equiv 1. kosm. r.

hypotetická - atmosféra

$$h \geq 150 \text{ km}$$

rychlost počáteční, v_0 vzdálenost r_0

$$v_0^2 = \alpha M \left(\frac{2}{r_0} - \frac{1}{a} \right)$$

Obležle se vypuštěním děje \perp na přívodě DR- δ
 \Rightarrow výstřednost

$$e = 1 - \frac{qr}{a} \quad \text{vzdálenost perigea}$$

$$Q = a(1+e)$$

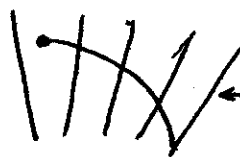
pro $v_0 < v_{kr}$ - elipsa $Q < q$ -
 může kroužit v δ
 $v_0 > v_{kr}$ - elipsa $Q > q$

$$P = 1,659 \cdot 10^{-4} a^{3/2}$$

Jestliže $Q \rightarrow \infty$ - těleso opouští oblast
země - 2. kosmická rychlost - parabola

Slab na druzici - slab bestie -
je to vlastně volný pád v gravitačním
poli

Vázané dráhy - elipsy nebo úseky elipsy
- volný pád, vodorovný vrh rovněž úseky
elipsy, parabola je přiblížením pro homog.
gravit. pole



← směr tělesa

Vlastní je dynamika na oběžné dráze
- změny dráhy jako odsova na měřené dráze

$$v_0^2 = \chi M \left(\frac{2}{r_0} - \frac{1}{a} \right) \Rightarrow \frac{1}{a} = \frac{2}{r_0} - \frac{v_0^2}{\chi M}$$

$$a' = a + \Delta a$$

$$v_0'^2 = v_0^2 + 2 v_0 \Delta v_0$$

$$\frac{1}{a'} (1 - \frac{\Delta a}{a}) = \frac{2}{r_0} - \frac{v_0'^2}{\chi M} \left(1 + \frac{2 \Delta v_0}{v_0} \right)$$

$$\frac{\Delta a}{a} = 2 \frac{v_0^2}{\chi M} \cdot \frac{\Delta v_0}{v_0}$$

Jestliže přidáme rychlost
ve směru pohybu \rightarrow

$\Delta a > 0 \rightarrow \Delta P > 0$ -
těleso začne zaostávat -
dostane se dozadu

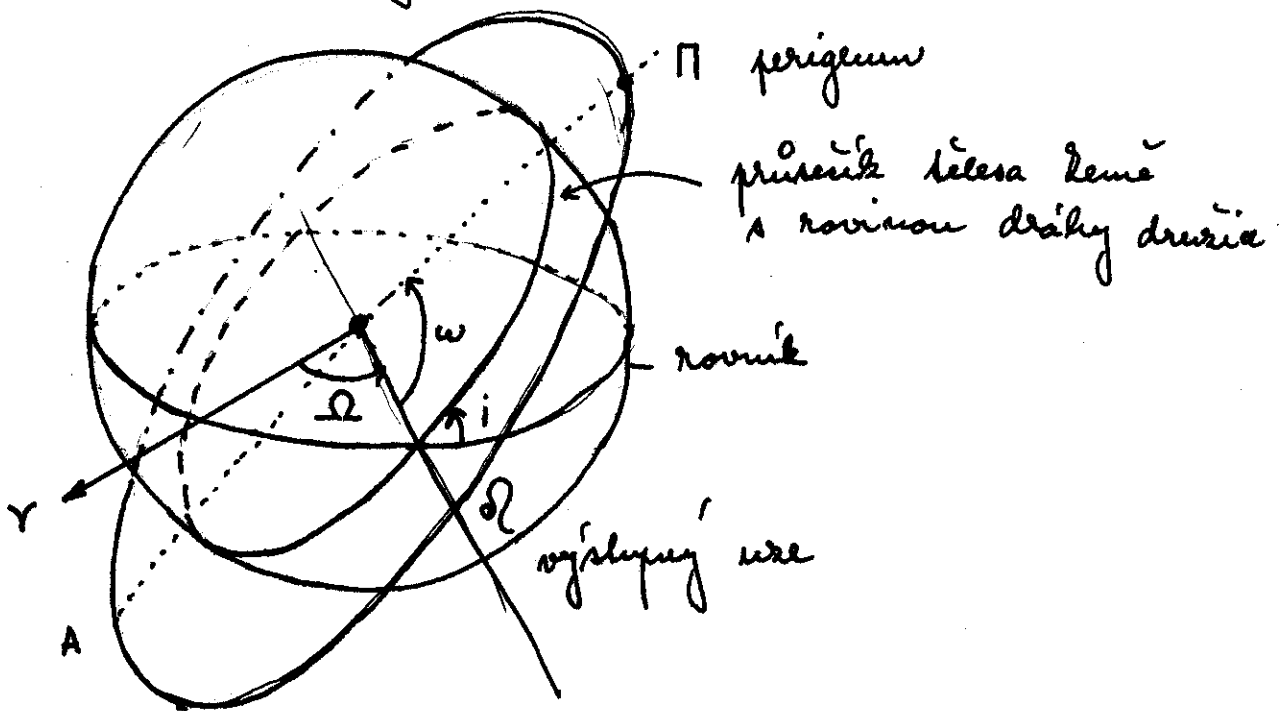
porem
periheliu, $P = \text{const}$

opacně - dopředu. Kolmý pohyb prakticky
nemění kvadrát výslednice $\Rightarrow \Delta P = 0$

relativně oscilace vzhledem k rádiu tělesa

- Důsledky
 \Rightarrow pohyb kosmonautů, rozpad tělesa kamety
- důvod vzniku meteorického vlákna

Dráhové elementy druzice



~ obdobně jako u planet a Slunce
 $a, e, i, \Omega, \omega, T$ ← přechod perigeum

U druzic dochází k sekulárním změnám -
 vyplývají z faktů
 a) Země není kruhový bod nebo ideální koule (zpř. Země) → stačení uzel. p.
 b) Kromě δ je \odot a jádra tělesa - různé sílny
 c) Většina druzic se protírá slyby atmosféry → brzdění → zrychlení polohy
 teorém viriálu $\frac{d}{dt} \langle E_k \rangle + \langle E_p \rangle \geq 0$

$$2 \langle E_k \rangle + \langle E_p \rangle = 0$$

brzdění hlavně u perigeu → zmenšování a postupné zkrakování dráhy → intenzivnější brzdění

Určování frekvence planet

U jiné planety mají druzice

(70)

průsečík
 umělé

někdy i rodiny družic - pozorování
 lze odhalit díky velké poloze družice
 a a její periodu $P \Rightarrow$ umožní pomocí
 zprůměněného 3. Keplerova zákona určit hmot-
 nost centrálního tělesa.

Pro systém Slunce - Země :

$$\frac{a^3}{P^2} = M_{\odot} + M_{\oplus} \approx 1 \quad \text{v jednot. } \odot$$

lze zanedbat

$$a_d \gg P_d \quad m_d \ll m_{pe}$$

$$\frac{a^3_d}{P^2_d} = \frac{m_{pe}}{M_{\odot} + m_d}$$

pro Jupitera
 lze najít
 1:1050

Země - Měsíc

$$\left. \begin{aligned} a &= 384\,400 \text{ km} = 2,57 \cdot 10^{-3} \text{ a.j.} \\ P &= 24,3 \text{ dne} = 0,0744 \text{ roku} \end{aligned} \right\} \begin{aligned} 1 : 329\,000 \quad \delta + \oplus \\ m_{\delta} : m_{\oplus} &= 81 : 1 \\ m_{\delta} &= 1/333\,000 M_{\odot} \end{aligned}$$

Soustava Země - Měsíc poměr hmotnosti

$\sim 1:81$

- pohyb se děje vůči těžišti
 střed Země opisuje kolem barycentra
 soustavy dráhu s poloměrem cca 4650 km
 v principu měřitelné při pozorování planetek
 při jejich přímém přiblížení (Eros 1930-31) \rightarrow
 měření hmotnosti \odot

V principu velmi příhodné - kosmické sondy
 prolétávající v blízkosti planet a družic
 mohou ze svého pohybu gravit. působením
 těchto těles. Mění-li se disip. - měříte působením
 na ostatní tělesa přirozená

3.11 Problém tří a více těles

Situace, kdy jsou v prostoru jen dva hmotné body, je dosti akademická. Ve skutečnosti jsou jiné spousty. Sluneční soustava - Slunce + planety a jejich družice - různé písalumí - vše se dá přesným měřením odhadit
 \Rightarrow řešení problému n ohraničené se ovlivňujícími těles \Rightarrow řešení polybových rovnic $3 \times n$

$$m_i \ddot{\vec{r}}_i = - \sum_{\substack{j=1 \\ j \neq i}}^n \alpha m_i m_j \frac{(\vec{r}_i - \vec{r}_j)}{|\vec{r}_i - \vec{r}_j|^3}$$

3n diferenciálních rovnic a 6n integrálů polybových pro tři tělesa 18 integrálů - známe jich však jen 10 jedním z integrálů polybových - těžiště soustavy se polybovými rovnoměrně přímocně (bez rychlosti) dále (poloha těžiště + rychlost)

$$\sum m_i (\vec{r}_i \times \dot{\vec{r}}_i) = \text{const} \left\{ \begin{array}{l} \sum m_i (x_i \dot{y}_i - y_i \dot{x}_i) \\ \sum m_i (y_i \dot{z}_i - z_i \dot{y}_i) \\ \sum m_i (z_i \dot{x}_i - x_i \dot{z}_i) \end{array} \right. \left. \begin{array}{l} \text{řádová zachování} \\ \text{momentu hybnosti} \end{array} \right.$$

+ řádová zachování energie

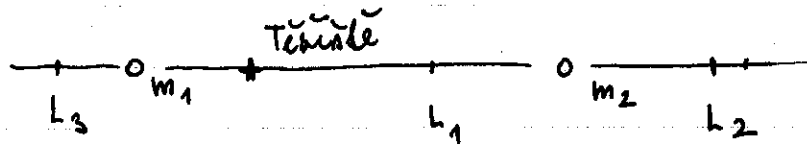
$$\frac{1}{2} \sum m_i (\dot{\vec{r}}_i \cdot \dot{\vec{r}}_i) + \Phi = \text{const}$$

$$\Phi = -\alpha \sum_{i \neq j} \frac{m_i m_j}{r_{ij}}$$

Základní matematické postupy nevedou k nalezení dalších integrálů - analytické řešení neexistuje - lze je najít jen ve speciálních případech restrikovaných problémů tří těles

$$m_3 \ll m_1, m_2$$

Lagrange 1772 - soustava tří těles -
 rovnice ode jisté významné body
 více v rovinné oběhu



5 Lagrangeových
 libračních bodů
 - relativně stabilní
 tělesa - body kde
 mohou vykonávat per. p.

Tělesa zde umístěná zde setrvají neomezeně dlouho
 nejstabilnější L4, L5 - Systém Slunce - Jupiter
 Trojani
 L1, L2, L3 mohou mít méně stabilní

Ekvipotenciální plochy - význam
 - plochy stejného potenciálu -
 při pohybu po nich nebouhne
 práce

$\vec{\nabla} \cdot \vec{F} = 0$ tělesa (plastická) tělesa držená
 vlastní gravitací nalezají jizích
 tvaru v ustáleném stavu

133 dále

Je-li gravit. pole 1 bodu jasně zho.
 soule

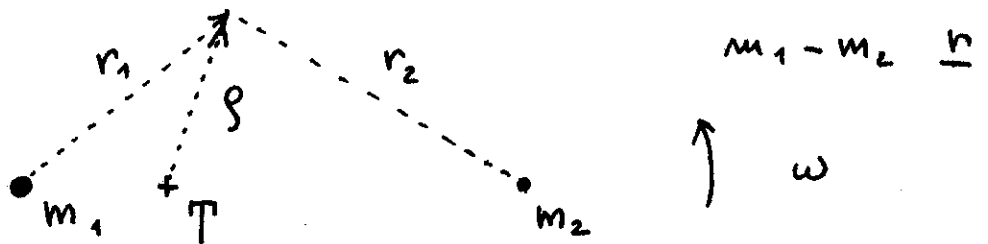
$$\Phi = - \alpha \frac{M}{r}$$

Jestliže soustava rotuje (rotující tělesa)

$$\Phi(\rho, r) = -\frac{\alpha M}{r} - \frac{\rho^2 \omega^2}{2}$$

ρ - vzdálenost od rotační osy } tvar tělesa
 ω - úhlová rychlost } rotační
 elipsoid

Další případ - dvě tělesa s vázanou rotací M_1, M_2 obíhající po kruh. drahách

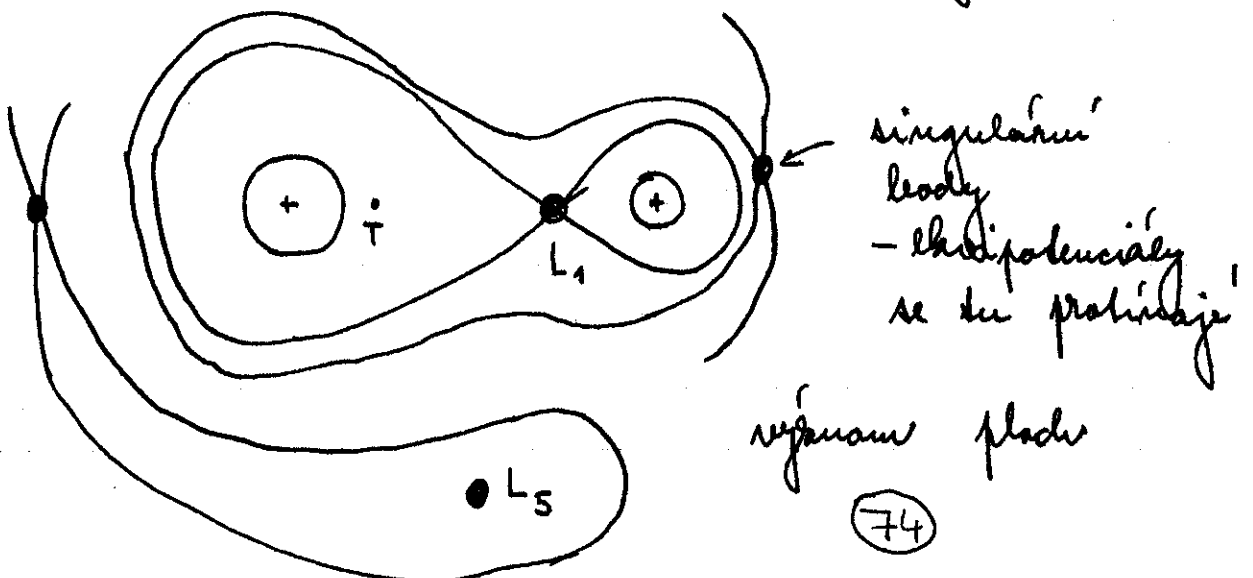


v korolující neinerciální soustavě s počátkem v těžišti. Úhlová rychlost dána 3. Kepler. zákonem

$$\omega = \left(\alpha \frac{m_1 + m_2}{r^3} \right)^{1/2}$$

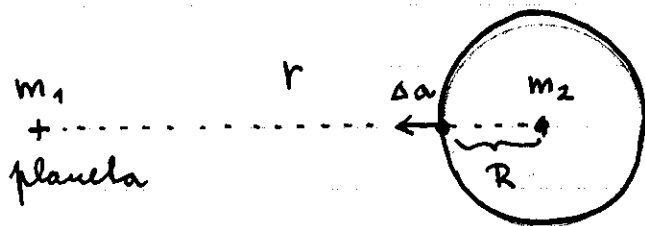
r - vzdálenost m_1, m_2 - neměnná, kruh. dráha

$$\Phi(x, y, z) = \underbrace{-\frac{\alpha m_1}{r_1} - \frac{\alpha m_2}{r_2}}_{\text{gravit. úrychl.}} - \underbrace{\frac{\rho^2 \omega^2}{2}}_{\text{rotace systému}}$$



důležitá zejména u dvojhvězd
 - ekvipotenciála procházející vnitřním Lagr.
 bodem - Rochova plocha - pod ní oblast
 málejšího vnitřního tělesa - přechází-li jí,
 ohroží to stabilitu - patří i druhému tělesu

Soustava: planeta - družice - diferenciální
rychlení působená planetou na "subplanetární
 bodu"



$$\Delta a = \frac{-\kappa M}{(r-R)^2} - \frac{-\kappa M}{r^2}$$

$$\Delta a = \sim 2 \frac{\kappa M}{r^3} R$$

(míří k planetě)

Nebude to tomu přičítat
 ještě rozdíl odstředivého
 urychlení

$$\Delta a = \omega^2 (r-R) - \omega^2 (r) = -\omega^2 R$$

$$\omega^2 = \kappa \frac{m_1 + m_2}{r^3} \Rightarrow \Delta a = -3 \frac{\kappa M}{r^3} R$$

Ruší se působení na těleso je nepřímá úměra
 třetí mocniny vzdálenosti - vzdálenější těleso
 tvoří homogennější gravit. pole - tomu se
 diferenciální urychlení neprojevuje
 Rozdíl musí být vyrovnán současností a
 gravitačním urychlením družice. Zanedbáme-li
 první vliv \Rightarrow

$$g_s = \frac{\kappa m_s}{R^2}$$

$$g_s > \Delta a \Rightarrow \frac{\kappa m_s}{R_s^2} > 3 \frac{\kappa M_{pe}}{r^3} R_s$$

$$r = k \cdot R_p$$

(75)

$$\frac{m_s}{R_s^3} > 3 \frac{M_{pe}}{k^3 R_p^3}$$

$$k > \sqrt[3]{3 \left(\frac{\rho_{PE}}{\rho_{SA}} \right)}$$

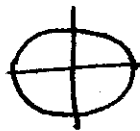
k_r - kritická
vzdálenost

$$k_r = \sqrt[3]{3 \left(\frac{\rho_{PE}}{\rho_{SA}} \right)}$$

$$k_r = 1,44 \sqrt[3]{\frac{\rho_{PE}}{\rho_{SA}}}$$

Rocheova mez

v případě, že je satelit plastický



dáje k jeho roztáčení ve směru k planetě - roztáčení má lepší předpoklady

$$k_r = 2,55 \sqrt[3]{\frac{\rho_{PL}}{\rho_{SA}}}$$

Poruchy - rušivé síly



rozhodující je nikoli zrychlení působící na planetu, ale rozdíl zrychlení vůči centru tělesa

$$a_P - a_S = \propto M \left(\frac{1}{r^2} - \frac{1}{(r+r_0)^2} \right) \quad \text{pro } r \gg r_0$$

$$a_{ruš} = 2 \propto M \frac{r_0}{r^3} \quad \leftarrow \text{tři mocnina sil}$$

Soustava Země - Měsíc - rušivé těleso \odot
tráse \rightarrow zrychlení působené \odot na \oplus

je větší - rovnírným tělesem p. slunce, než země
Sféra aktivity kde

$$\odot \quad \frac{a_{\text{ruš1}}}{a_1} < \frac{a_{\text{ruš2}}}{a_2}$$

$$\odot = r \left(\frac{m_1}{m_2} \right)^{2/5}$$

země větší \odot 930 000 km

\odot větší než 66 000 km

- jistě tam přetáhne randa, dostane se
 do vlivu přísluného tělesa

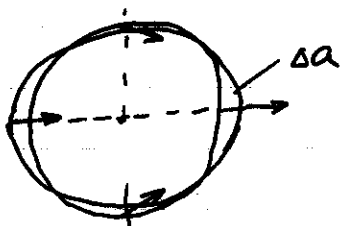
Slapy + příliv a odliv

- důsledek gravitačních a odstředivých sil
 v h. sloupání, pak zase pohled vodní
 hladiny

$\frac{1}{2}$ doby mezi po sobě následujícími
 kulminacemi Měsíce $\frac{1}{2}$ (24h 53 min)

slapy se tyčají i zeměbou křivky

Představa Newtonova - statická



rozdíly v rychlostech

Tvar vodní plochy má tendenci vyplnit
 elipsoidální plochu - protažené bapz.
 těleso, zploštění

Slapové působení i slunce - jeho účinek p.
 však menší $\frac{M_{\odot}}{M_{\oplus}} \left(\frac{r_{\oplus}}{r_{\odot}} \right)^3 \approx \frac{1}{11}$!

(77)

Působení a novu a úplňku - slapy max

součel ~ vysoký průlis

Země - není abs. kulhá - v křivě
průlis a odliš

desledek slapového působení -
zpomalování rotace Země - brzdění
prodloužení ~ 0,002 s / století

energie - disipace v zemském tělese
+ vzdalování Měsíce

moment hybnosti zachován - Měsíc

dal - průměr 3 cm / rok
(v minulosti \gg větší ~ $1/r^3$)

Slapy \propto na \mathbb{C} ~ $R_c \cdot M_0 / M_c$ ~ 20 krát
větší - už dávno vytvořily vázanou
rotaci

Poměry v dráhach těles SS

Tělesa v SS různé hmotnosti - obíhají
 kolem hmotného středu - téměř souměrné
 - Slunce nejvíce, vzdalují se o více
 než 2 své poloměry \rightarrow důležité pro
 efemeridy, výhledy a západ
 nejdůležitější fyzikální planetou
 Jupiter \rightarrow Jupiter na první obloze
 Správné výhledy ...

Jupiter největší poruchy na oběžné dráze
 \rightarrow změny dráhy na dráhačích
 komety, planety

Poměry v dráze Uranu (objeven Herschelem
 78

1781 náhodně - měřil se přesně
rahony mechaniky - zpořádkování, zrychlení
→ 1834 mize to zapsalovat poruchové
působení planety na dráhu Uranu

F. J. Hussey
J. C. Adams 1843 - vypočetl polohu
hypotetické planety - libanový postup jeho
anglických kolegu - Neptun objevil jida
skypina

Francouzský matematik Le Verier 1845 vlastní
metodou předpověděl polohu rudického tělesa
(Capricornus). Spojil se s Gallem a d'Arrestem
z Berlína -

23.9. 1846 nalezena "nadbytková" 8.
velikosti - Neptun

- britanští podporovní Newtonova gravitační
ního zákona

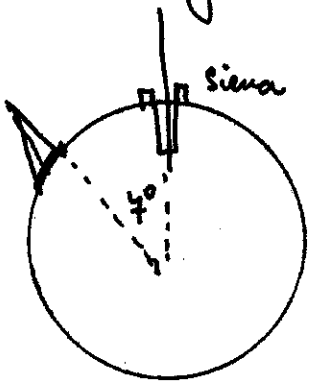
Pluto byl objeven náhodou nikoli
jako správný výsledek grav. křivky Uranu
a Neptunu. Podrobný rozbor - různé
nadbytkové velké planety na Neptunem již
nejde.

Gravitacní poruchy v pohybu umělých
drůbků planet → možnost detailního
prošetření tvaru gravit. potenciálu
hvězdných těles (Země) → (Mand. Země)
Mise masany

4. ZEMĚ A JEJÍ POHYBY. ATMOSFÉRA ZEMĚ

4.1 Tvar a rozměry Země

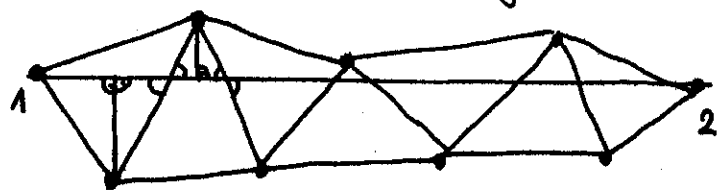
Historická měření ~ vycházela z Eratosthénových metody - úhlové měření + vzdálenost na Zemi



měření délky 1° (Arabové 111,7 - 113,3 km)

První navodové měření - ~~parížský~~ parížský poldník J. Ferrel - obáčky kol vozů 1525

měření vzdálenosti na povrchu - přesnější triangulační metoda - podélná přímce viditelnosti soustavy navazujících bodů



1 → 2

postupně ~ 30-40 km trigonometrická síť

1669 - měření napříč Francií - 1° měří říční → uploštění Země v polárních oblastech

~ 1686 - teoretické objasnění 1. Newton sličením rotace Země

2. třetí měření - další měření v Laplandu a Peru - potvrzení odvozena i délka 1 metru

≡ 1/10 000 000 poldníkového kvadrantu ♂

De Francii 1799 ustan, u nas (Rak.-Uh.) 1876
Průběh měru - ~~...~~ seces u Farise, nyní spojím s e.

Dnešni geodézie se provádí družicemi
měření memorádne přesna - velmi
podrobná informace o tvaru, rozměrech
Země a rozložení hmoty v ní
- přímá pozorování + měření vzdálenosti
(laserové odražeč, radiová měření) +
relat. rychlost - Dopplerův posun +
interferenční měření + altimetrie z družice
→ přímá definice trajektorie a polypku
družice po ní - speciální geodetické
družice - pabbacny negravitacni porusky
→ přímý potenciál Země

Tvar Země - aproximace čtveřitého
povrchu tělesem jednodušší vlastností

Gloid - realizován ekvipotenciální plochou
nejtěsněji přiléhající ke střední
hladině hladině oceánu a moři
- k měření se vztahují tzv. nadmořská výška
komplikovaný tvar pro práci
→ jednodušením, praktická aplikace
v astronomii, kartografii

Polární elipsoid
- ve valcových souřadnicích - plocha
určena rovnicí
$$\left(\frac{z}{a}\right)^2 + \left(\frac{r}{b}\right)^2 = 1$$

$$r = \sqrt{x^2 + y^2}$$

počátek = centru δ
a - rovnoběžný poloměr, b - polární poloměr

zpláštění $i = \frac{a-b}{a}$

referenční elipsoid - náhrada geoidu (co nejlepší)
referenční elipsoid z druhé měřeni
" referenční systém 1980"
 $a = 6\,378\,137\text{ m}$
 $i = 1:298,257$ - datum nepostřehnutelné a velmi blízké dok. koule

brojový elipsoid - přesnější vyhlášení tvaru geoidu

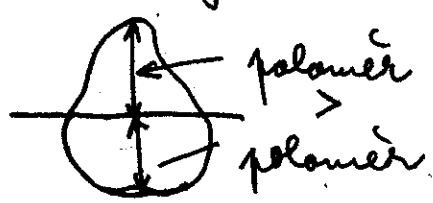
$$\frac{x^2}{a^2} + \frac{y^2}{b^2} + \frac{z^2}{c^2} = 1$$
$$i_R = \frac{a-b}{a}$$
$$i_P = \frac{a-c}{a}$$

Je nutno stanovit lež orientaci ~ λ_a nejdelší osu

Bursa: $a = 6\,378\,173\text{ m}$ $\lambda_a = 14,8^\circ$ z.d.
 $i_R = 1:94\,000$
 $i_P = 1:297,784$

~ odpovídající rotační elipsoid
 $a = 6\,378\,139\text{ m}$
 $i = 1:297,257$

Skutečný tvar - severní polokoule se odlišuje od jižní má tvar křivosti ~ odchylky od ideálního tvaru cca 50m

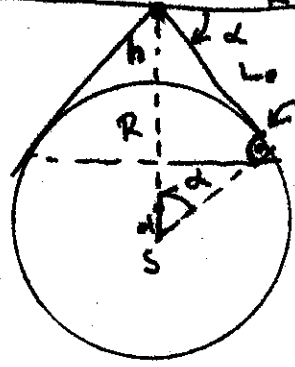


- Důležitý kulatého tvaru země - slun, pólů a družic, změna úhlu pod níže vidíme Polárku -

Dohlednost a deprese obzoru

$$L_0 = [(R+h)^2 - R^2]^{1/2} = [2Rh (1 + \frac{h}{2R})]^{1/2} \approx \sqrt{2Rh}$$

$$\operatorname{tg} \alpha = \frac{[(R+h)^2 - R^2]^{1/2}}{R} \approx (2h/R)^{1/2}$$

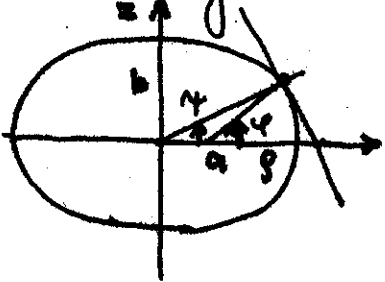


geodetický obzor
geodetická deprese

~ pro případ Země bez atmosféry

pro $h = 10\text{m}$ $\alpha = 6'5''$; $L_0 = 11,29\text{m}$
 vlivem refrakce - vzdálenost větší $L > L_0$
 dohlednost větší o cca 6,5%
 záleží na teplotním rozložení prvků atmosféry

Síťka geodetická a astronomická
 vztahem elipsoid



$$\frac{\rho^2}{a^2} + \frac{z^2}{b^2} = 1$$

γ geocentrická
 φ astronomická
 síťka

$$\operatorname{tg} \varphi = - \frac{d\rho}{dz} \quad \frac{2\rho d\rho}{a^2} + \frac{2z dz}{b^2} = 0$$

$$\Rightarrow \operatorname{tg} \varphi = \frac{a^2}{b^2} \cdot \frac{z}{\rho} = \frac{a^2}{b^2} \operatorname{tg} \gamma$$

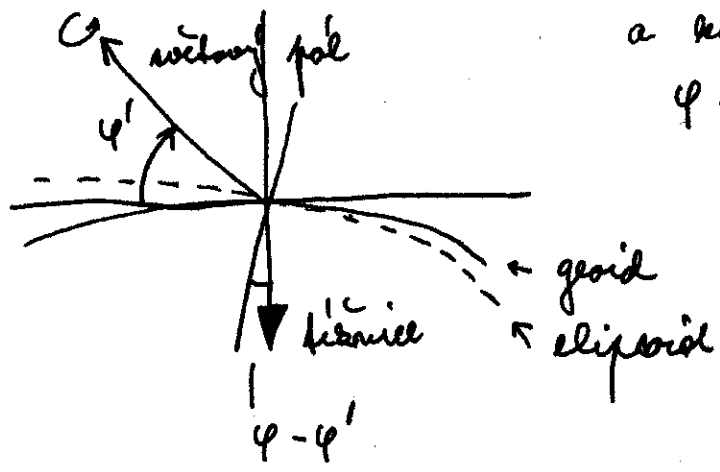
$$\frac{a^2}{b^2} = \frac{1}{1-e^2} \Rightarrow \underline{\underline{\operatorname{tg} \varphi = (1-e^2) \operatorname{tg} \gamma}}$$

max. rozdíl pro $\varphi \sim 45^\circ$ $\Delta = 11'33''$
 $\varphi = 0 = 90^\circ$ $\gamma = \varphi$

Délka 1°

o důsledku pol. zploštění směrem k pólu roste vzdálenost mezi rovnoběžkami rovněž 110,576 km, pól 111,695 km

Astronomická šířka φ'



úhel mezi osou rotace a kolmicí ke místní tíživici

$$\varphi = \varphi' - \Delta\varphi$$

šířka odčtyla

4.2. Hmotnost a gravitační pole Země

- rozložení hmoty v tělese určuje tíhové pole
- jeho studiem se zabývá gravimetrie
- gravitační křivkami \vec{g} ($\vec{g} = \text{grad } V$; V - potenciál)
- velikost - číslo kvadrátových hodin standardních
- při převažení variace g se zeměpisnou šířkou - důsledkem zploštění a rotace.
- studium tíhových odchylek - odhalování nehomogenní rozložení hmoty od kolnice
- x nejsou tak značné, jak by se dalo čekat při číselné řešení
- > kompenzující nehomogeneity: izostáze

o Třív jednotlivých faktorů

a) odstředivá síla

- vzhledem k ideální kulové Zemi

$$\bar{g} = \alpha \frac{M_z}{r^2} = 9,8 \text{ m/s}^2 \quad M_z = 5,976 \cdot 10^{24} \text{ kg}$$

$$\alpha \cdot M_z = 3,986 \cdot 10$$

primo měřitelná veličina

standard $g_0 = 9,80665 \text{ m/s}^2$

$$\omega = 7,2921 \cdot 10^{-5} \text{ rad s}^{-1}$$

odstr. síla na rovníku $3,39 \cdot 10^{-2} \text{ m/s}^2$

$$g/a_{\text{odstr}} = 288,38$$

$$g = 9,80612 - 2,586 \cdot 10^{-2} \cos 2\varphi + 5,8 \cdot 10^{-7} \cos^2 2\varphi - 3,08 \cdot 10^{-6} h \quad [\text{m/s}^2]$$

rozdíl $g_{90} - g_0 = (5,2 \cdot 10^{-2}) \text{ m/s}^2$

2/3 na odstr. sílu, 1/3 na sflačtění

4.3 Rotace Země

Země se otáčí kolem severojižní osy jako kulové těleso \equiv toutéž úhlovou rychlostí

ω \sim více hvězdám - siderická doba

$$\omega_2 = \frac{2\pi}{T} = 7,29211508 \cdot 10^{-5} \text{ rad s}^{-1}$$

Umáňová rychlost bodu na zemském povrchu (kružnice)

$$v_{0\varphi} = \omega_2 R_2 \cdot \cos \varphi \quad - \text{max. na rovníku}$$

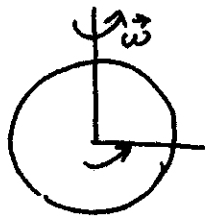
$$465,1 \text{ m s}^{-1}, \text{ a max } 290 \text{ m s}^{-1}$$

nutno brát v úvahu při měření radiálních rychlostí kosm. objektů

projizí se odstr. silou \sim na rov. $3,39 \cdot 10^{-2} \text{ m/s}^2$

- zákon zachování momentu hybnosti
- zákon zachování momentu hybnosti

$$\vec{L} = \vec{r} \times \vec{p} = \vec{r} \times m \vec{v} \quad \vec{v} = \vec{\omega} \times \vec{r}$$



Součet příspěvků od jednotliv. bodů:

$$|\vec{r} \times \vec{v}| = r^2 \omega$$

moment hybnosti:

$$L = \omega \int r^2 dm$$

→ moment setrvačnosti:

$$\int r^2 dm = I$$

$$\vec{L} = \vec{\omega} I$$

osa rotace prochází těžištěm $\int r^2 dm = \int r^2 dm$ místní osa

$$E_{rot} = \frac{1}{2} I \omega^2$$

zákon zach. momentu hybnosti - řádová vnitřní síla nemůže změnit hodnotu \vec{L}
 → těleso se může přemísťovat jen tak, že jeho osa dráha rovnoběžná sama se sebou (gyroskop, rotující tělesa v prostoru)

→ změna rotace (ω) - změna $I = \int r^2 dm$
 - přerozdělení hmoty v tělese (kolečko v rovnoběžné dráze)

! Vnější síly - změna orientace rotační osy (přesec), může dojít i ke změně momentu hybnosti - brzdění (soustava Země-Měsíc)

Důležité změny rotace

- pohyb hmot. těles po obloze - dvojí výhled - rotační je přirozenější
- nepřímé důkazy - a) selhání očekávané rychlosti vzdálených těles, b) shoda oběhů všech těles - nepřirozené, c) pokud pozorujeme

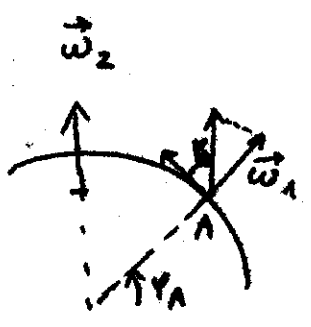
čítava ve st. soustavě, pak se obáží

Přímé důkazy < neinerciální síly - Coriolisova
Foucaultův pokus
oddechlba podajících síles

Coriolisova síla, rychlosti

$\vec{a}_c = 2 \vec{v} \times \vec{\omega}$

síla v neinerciální soustavě - pseudosíla



primět
 $\omega_1 = \omega_2 \sin \varphi$
 $\omega_2 = \omega_2 \cos \varphi$

Foucaultův pokus

relativní stačení

severní pól - kyvadlo si zachováva
rovinnu kyvu - těleso nemůže se pod ním
háci. Pro pozorovatele se
stlou rovina kyvu v opačném směru
úhlovou rychlostí $\vec{\omega}_A$. Při zavěšení
kyvadla v zem. šířce φ_A - pozorovatel
pozoruje stačení roviny kyvu kolem
vertikály daného místa v určité směru
jako na pólu úhlem s rychlostí
 $\omega_2 \cdot \sin \varphi$.

Na rovnici řádové stačení, pod ním
v opačném směru

- 1851 Foucault v pářížském Pantheonu
64 m kyvadlo
1h / 11° 36' u nás
Foucaultovo kyvadlo v ČR - HaP v Hradci Králové

Odchyška padajících těles



$\vec{a}_c = 2 \vec{\omega} \times \vec{v}$

- volný pád $v = gt$

Coriolisova zrychlení zrychluje těleso směrem na vjékol

$a_c = 2 \omega v \cos \varphi = 2gt \omega \cos \varphi$

⇒ zrychlení roste s časem integrací $\ddot{x} = a_c$

⇒ $x = \frac{1}{3} g \omega^2 t^3 \cos \varphi = \frac{2}{3} \omega^2 \left(\frac{2h^3}{g}\right)^{1/2} \cos \varphi$

dosadíme -li pro kulovou Zemi:

$x = 2,195 \cdot 10^{-5} h^{3/2} \cos \varphi$

$\left. \begin{matrix} h = 100 \text{ m} \\ \varphi = 50^\circ \end{matrix} \right\} x = 1,4 \text{ cm} !$

Poproc změřeno 1831 F. Reichem v uhelné šachtě v Freiburgu $h = 158,4 \text{ m} - 28,4 \text{ mm}$


Změny v rotaci Země

- dlouhodobé - sekulární
- nepravidelné - skoky v periodě rotace
- astronomické - periodické

Dlouhodobé - zpomalování rotace - brzdění (0,001 ÷ 0,002) s / století

potvrzení - skamřiky slunečních zatmění paleontologické nálezy - z místa korálu - kolik bylo dní do roka např. ve str. devonu (380 mil. lety) 21,7 ÷ 22,5h 394 ± 7 dní

v důsledku slapového tření přenos momentu hybnosti z rotace Země na oběžný pohyb Měsíce → oběť dába Měsíce se prodlužuje

 Slapová vlna se na Zemi pohybuje více než proti její rotaci

Slabky v periodě rotace ~ několik tisíců s
- snad (?) přesun větších hmot v nitru

Periodické změny - konfrontovány s atomovým časem

- a) roční perioda ~ 0,022 s ampl. - sezónní změny vzdutých lunat, sněhové a ledové pokrývky, vegetace
- b) půlroční perioda ~ 0,010 s - důsledek eliptické dráhy δ - per. grav. působení \odot na δ
- c) perioda ~ ~~10~~ anomalistický měsíc a půlměsíc - výstřednost měs. dráhy

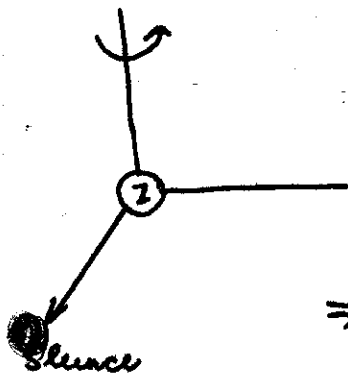
Moderní časové stupnice

- rotace Země nerovnoměrná - nemůže v duštině dobře být základem přesného měření času → čas určený nezávisle "atomový čas" - počet kmitů při určitém přešlaku Cs

TAI - mezinárodní atomový čas rovnoměrně plynoucí - na začátku roku 1958 ≡ světový čas základ pro měření času, tehdy když

nám nejdě o rotaci Země

- UT1 - čas vázaný na rotaci Země
- úhel země vřezolající o 2π se vlastně soustavně rotující rovnoměrně 1 periodou tropického roku více **
 - Země je v počátku a Slunce v průměru stále v ose x



⇒ UT1 zvoleno tak, aby 0 kulminovalo nad mešným poledním během roku v průměru ve 12 h

(UT1 - TAI) - stále klesá - epodřij se rot. rotace ~ rozdíl desetin s / rok

UTC - koordinovaný univerzální čas od TAI se liší o celistvý počet sekund, od UT1 méně než o 0,8 s - stále

Dosahuje se toho vhládaním přestupných minut (61s) přidávaným smluvně 1. ledna; 1. července - tímto časem se řídí hodiny po celém světě, čas. signal

světový čas UT, SC - nejame' $\begin{matrix} \text{UT1} \\ \text{UTC} \end{matrix}$

nenho rozlišit - rozdíl < 0,8 s je-li to kapotřibi

"máš čas" - UTC + 1 SEČ (ne Ho. ročence)
 UTC + 2 SELČ

kolik má den sekund?

86 400
 86 401

Hvězdný čas - vztahuje se jasněji k
resp. náso - bodu - hodinový úhel v

Běží rychleji než UTC na hvězdných
dni do roka o jeden více než slunečních
& porovnání se učuje & toho hv. času
UT1

- byva' uváděn v rocích

Pozn.: V literatuře se můžete setkat
s pojmem efemeridový čas ET

- byl definován několi roci, ale
obtěmž & kolem 0 - byl zjišťován
dodatečně a málo přesně

TT - Terestrický čas - nahradil efeme-
ridový

aproti TAI posunut

$$TT = TAI + 32,184 s$$

ke kromi 20. stáletí

TT - UTC asi o minutu větší
rozdíl narůstá o 1 s / 1,5 roku

- časová tabulka pro výpočty předpově-
di poloh (efemeridy)
malokdy je to však důležitě se
na & rozdíl TT - UTC obličet
(s výjimkou C)

Důsledky rotace Země

- 1. Vychýlování pohyblivých se objektiv
 - sev. polokoule doprava
 - jižní polokoule doleva
 - $a_c = 2 \omega v \sin \varphi$

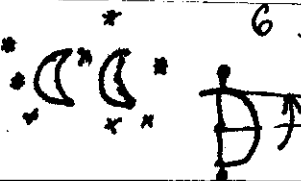
projiz: přemísťování vzduchových a vodních hmot
 ⇒ převládající kápaní proudění
 ~ nábl. směr od rovníku k pólům
 ve výšce



otáčení mořských proudů
 asymetrie měřících koryt (nejvíce u řek
 tekoucích v pol. směru) - Balinův zákon
 pravé břehy řek na sev. polokouli jsou
 strmější než levé - zvýšený eroz. sch.
 řek

- 2. Strídání dne a noci
- 3. Slapové jevy
- 4. Pohyb těles po obloze - výhledy, západy
- 5. Tvar Země - v 1. přiblížení rotační
 elipsoid - odstředivá síla způsobuje zploštění
 - sekulární zplošťování → tendence ke
 kulovitému tvaru ~ mění se úměrně
 ω^2 → zmenšení vzdálení v rovník.
 obloucích, kdekoli polárních
 do bodu na pólech více
 plošiny a na rovníku více
 oceánu

6. Denní paralaxa blízkých těles - Měsíc
 v úhl. velikost poloměru
 rovná se $\pi = \frac{6378}{384400} = 54'$

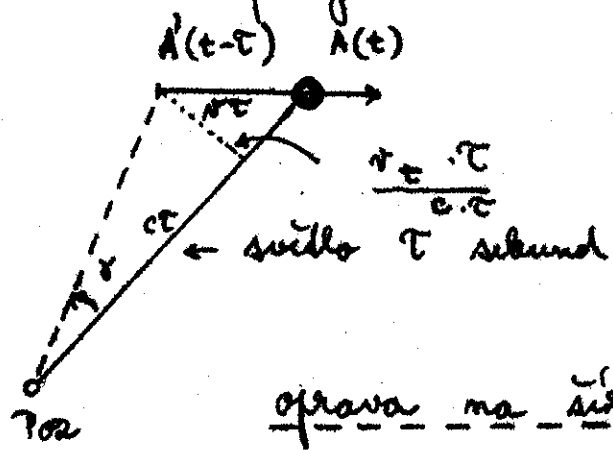


4.4 Oběh Země kolem Slunce. Aberrace. Paralaxa

Podrovnatel na povrchu Země vykonává složitý pohyb - jeho poz. standardně je nelineární soustavou
připocítání - li navíc konečnou rychlost světla → řada efektů, které komplikují lokalizaci objektů v prostoru pozorovaný směr k objektu obecně není stejný se spojnicí obou bodů v prostoru v daném

a) - relativní pohyb

- těleso se v dráze pohybuje, my je vidíme se zpožděním



$\tau = 499,006 \Delta$
 Δ v a.j.

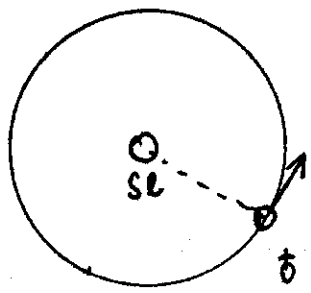
oprava na šířku světla

b) hvězdná aberrace

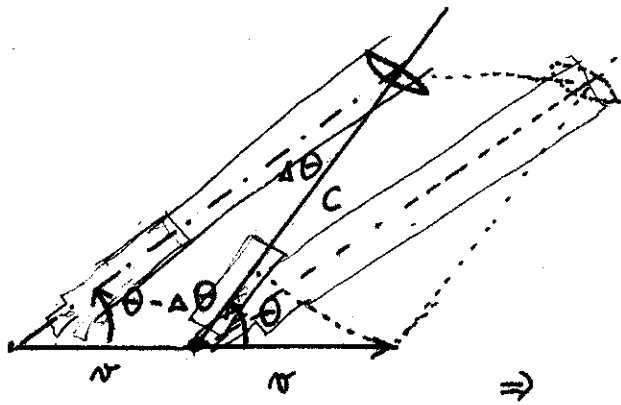
- při pozorování * se projevuje změnou souřadnic během roku - roční během dne - denní

- směr ke vzdálené ** vztahujeme ke Slunci - dostatečně inerciální s. vůči Slunci se pozorovatel pohybuje oba směry rychlosti \vec{v} . Směr = apex pohybu

roční pohyb Země kolem Slunce



apex po eliptice
pri tro. kruhovém pohybu
přivodící $\delta - \odot$ kolmý
na \odot se opovídají δ 90°
*
jak je třeba namířit
dalekohled ke *



$$\frac{\sin \Delta \theta}{v} = \frac{\sin(\theta - \Delta \theta)}{c}$$

$\Delta \theta$ malý

$$\Rightarrow \Delta \theta = \frac{v}{c} \cdot \sin \theta$$

$v \sin \theta = v_c$

maximální $\Delta \theta$ $\theta = 90^\circ$
- případ klasický, ze STR vyplývá kompl.

$$\Delta \theta = \frac{v}{c} \sin \theta + \frac{1}{4} \left(\frac{v}{c}\right)^2 \sin 2\theta$$

↑
jez při vysokých
rychlostech

~~apex~~ všechny pozorované objektivě posunuty směrem od
apexu

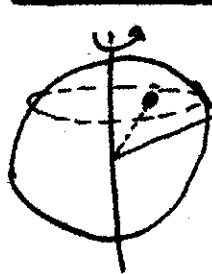
Vektor \vec{v} se mění během času \rightarrow mění se
i velikost a směr aberace - to je na
hlavní kružnici procházející tělesem a apellem

Složky hvězdné aberace - dává složkami
pohybu pozorovatele vůči těžišti sluneční s.

- a) rotace Země - denní aberace $v \sim 0,46 \text{ km s}^{-1}$
- b) orbitální pohyb Země - roční aberace $v \sim 30 \text{ km s}^{-1}$
- c) pohyb těžišti prostorem - sekulární aberace
- d) pohyb Země vůči těžišti slunce $\delta - \odot$ $v \sim 0,01 \text{ km s}^{-1}$
(zanedbnat se)

sekulární aberaci v praxi nelze odlišit od
 opravy za šířku světla - aberaci nerovinné
 - je součástí tzv. střední polohy **

Denní aberace



α, δ
 t, δ

- relativní poloha
 kmeně vůči zvolené
 hvězdě

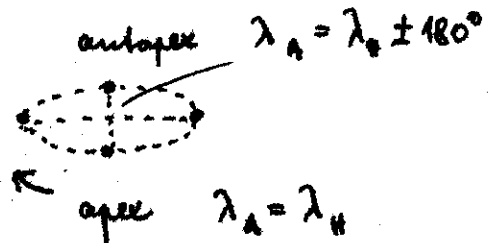
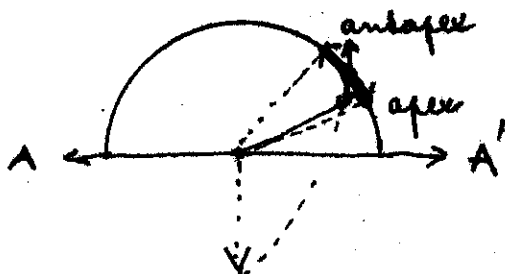
$$\Delta \alpha = 0,0213'' \cos \varphi \cos t \sec \delta$$

$$\Delta \delta = 0,320'' \sin \varphi \sin t \sin \delta$$

maximální posuv \pm $t = 0, 180^\circ$
 $\pm \delta$ $t = \pm 90^\circ$ $\delta = 90^\circ$

Roční aberace

- kde je nutné znát okamžitý vektor
 rychlosti oproti těžišti SS
 lze vypočítat numerickou derivací
 geocentrických pravouhlych souřadnic \odot
 a heliocentrických pravouhlych souřadnic
 planet - nejzávažnější je Jupiter



je-li v_x, v_y, v_z pravouhlé souřadnice
 apexu

$$\frac{V}{c} = 0,0057755 V \quad x_a = \frac{v_x}{V} \quad y_a = \frac{v_y}{V} \quad z_a = \frac{v_z}{V}$$

$$\cos \theta = x x_a + y y_a + z z_a$$

$$\begin{aligned}
 x' &= (x \sin(\theta - \Delta\theta) + x_a \sin \Delta\theta) / \sin \theta \\
 y' &= (y \sin(\theta - \Delta\theta) + y_a \sin \Delta\theta) / \sin \theta \\
 z' &= (z \sin(\theta - \Delta\theta) + z_a \sin \Delta\theta) / \sin \theta
 \end{aligned}$$

pro meně přesné výpočty

$$\begin{aligned}
 (\alpha' - \alpha) \cos \delta &= (\sigma_y \cos \alpha - \sigma_x \sin \alpha) / c \\
 (\delta' - \delta) &= -(\sigma_x \cos \alpha \sin \delta + \sigma_y \sin \alpha \sin \delta - \sigma_z \cos \delta) / c
 \end{aligned}$$

Rocní aberace odhalena již v roce 1725
 - J. Bradley + S. Molyneux, 1728 J. Bradley
 podal výklad

$\frac{v}{c}$ kruhový pohyb $20,496''$ - roční aberace
 \times deklinace $0,32''$ maximálně

*) aberace i v poloze met. roje

Variace radiální rychlosti, heliocentrická korekce

- projeví se tu opět a) neinerciální povaha pohybu pozorovatele vůči hvězdám SS
- b) konečná rychlost světla

→ existuje Dopplerův efekt - radiální rychl.

Pozorujeme - li periodický děj - oběž složka dvojhv.
 konstantní vzdálenosti at.
 rotaci neutr. *
 oběž měsíci J.
 aj.

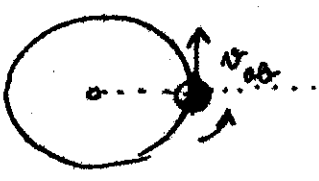
vždy se projeví kolísání frekvence, periody,
 mění-li v_{rad} -

$$\frac{\Delta \nu}{\nu_0} = \frac{v_{rad}}{c} \quad \nu_0 - \text{střední, lab. frekvence}$$

nemusí jít jen o záření
 - frekvence pulsarů, oběž dvojhvězdy

lze určit jen helidy, známe-li v_0 -
frekvenci u spektru \rightarrow v rad

Porovnáni se Země \rightarrow variac radiální
rychlosti - a) rotace Země - maximální
na rovníku, ráno a večer
b) oběh Země po dráze



rychlost
večer v_{rot} v ranní
rychlost v_{orb} v ranní
rychlost v_{orb} v ranní

max. variace u hvězd
na eliptice, u 0 na
pólu eliptiky

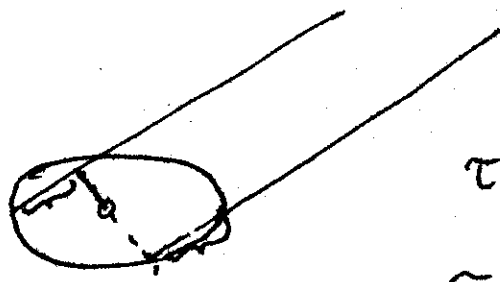
radiální rychlosti hvězd změření se Země
 \rightarrow radiální rychlosti přepočtené na
c) Polohy větší křivosti - třeba dost malý

\rightarrow přepočít na heliocentrickou radiální rychlost

Čas porovnáni - z pozorovacího času na
čas heliocentrický \sim v jádru obzorů
byl ten delší pozorován
 \rightarrow korekce heliocentrická - maximální
 ± 8 min - doba šíření světla
 $t + T_{\text{hel}}$

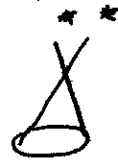
vypočítate
radiální
korekci
pro kruh.
dráhu

vypočítate
heliocent.
korekci
pro kruh.
dráhu



maximální - 0 na
pólu obl.
pro oběžný na obl.
maximální - oběžný
v opozici se Sluncem
 T_{hel}
minimální - oběžný
v konjunkci se Sluncem

Paralaxa



z praktického hlediska lze topocentrické (místo pozorovatele) a geocentrické soustavy považovat za identické

- kde hovoříme o tzv. denní paralaxe vzhledem k tomu že má jednodenní periodu

přechod geocentrická → heliocentrická
roční paralaxa

Denní paralaxa

- kovádi se jím se těles ve SS - u hvězd je nulová k - nadmořská výška

u Měsíce
kvůli i
ve slarovníku

$$c = [(1 - 0,006694 \sin^2 \varphi)^{\frac{1}{2}} + 0,1568 h \cdot 10^{-6}] \cos \varphi$$
$$s = [0,993306 (1 - 0,006694 \sin^2 \varphi)^{-\frac{1}{2}} + 0,1568 h \cdot 10^{-6}] \sin \varphi$$

$$\alpha' - \alpha = -\pi c \sin(S - \alpha) \sec \delta$$
$$\delta' - \delta = \pi [c \cos(S - \alpha) \sin \delta - s \cos \delta]$$

pro S a uv. družice platí jím příplidně
π - rovnoběžná paralaxa

Roční paralaxa

- možný se jím se * - jde o úhel, pod kterým je z dané * viditelný poloměr zemské dráhy (1 aj)

X, Y, Z - pravouhlé geocentrické rovnoběžné souřadnice 0 v a. j.

$$X = \cos L = \cos \delta_0 \cos \alpha_0$$
$$Y = \sin L \cos \epsilon = \cos \delta_0 \sin \alpha_0$$
$$Z = \sin L \sin \epsilon = \sin \delta_0$$

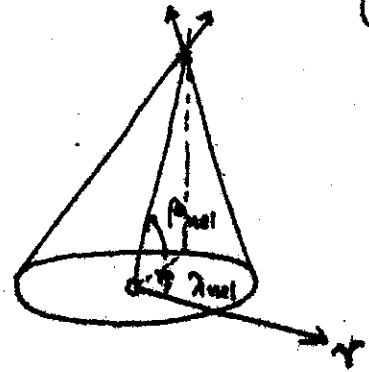
$$\alpha' - \alpha = \pi (Y \cos \alpha - X \sin \alpha) \sec \delta$$

$$\delta' - \delta = \pi (Z \cos \delta - X \cos \alpha \sin \delta - Y \sin \alpha \sin \delta)$$

PŘEHLED - rovnání

π - roční paralaxa

A) Paralaxa

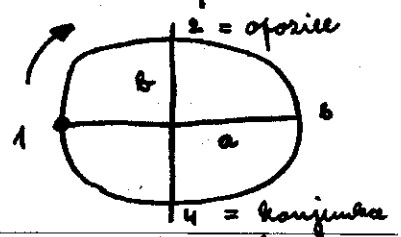


rovnice elipsy, aproximujme-li zemskou trajektorii jako kružnici o poloměru 1 a.j.

Velká poloosa $\pi \rightarrow a = \pi$
 rovnob. a ekliptikou
 Malá poloosa $\pi \sin \beta \rightarrow b = \pi \cdot \sin \beta$

\rightarrow na pólu ekliptiky kružnice, na ekliptice úsečky ~ stejné jako u aberace

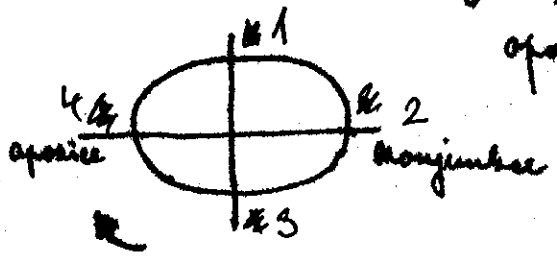
paralaxa



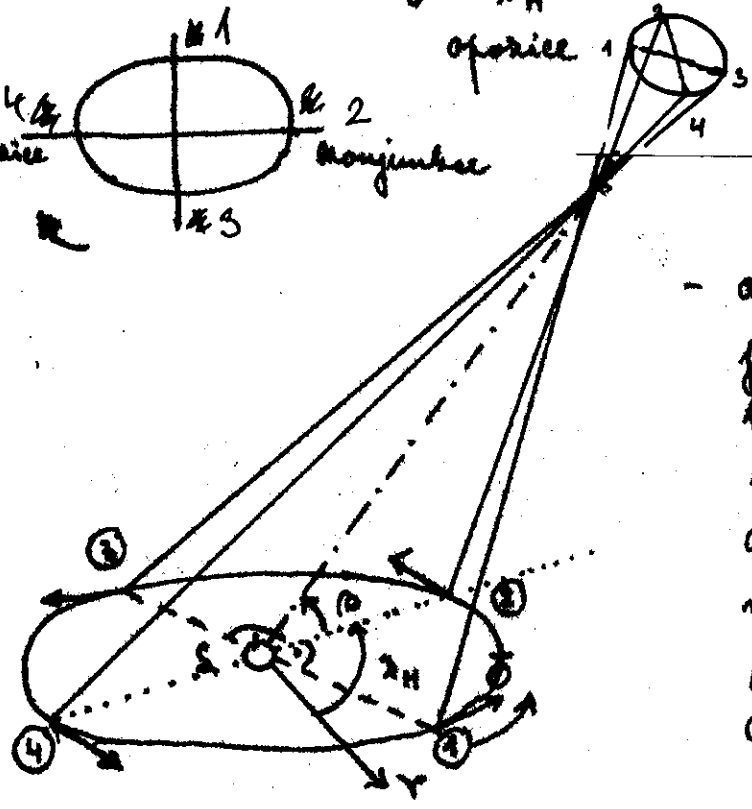
na severní polokouli pohyb ve směru matem. kápaním

Maximální vychylky	$\lambda_0 - \lambda_H = 90^\circ$	3	$\lambda_0 - \lambda_H = 270^\circ$
1	$\lambda_0 - \lambda_H = 180^\circ$	4	$\lambda_0 - \lambda_H = 0^\circ$
2	opozice		konjunkce

aberrace



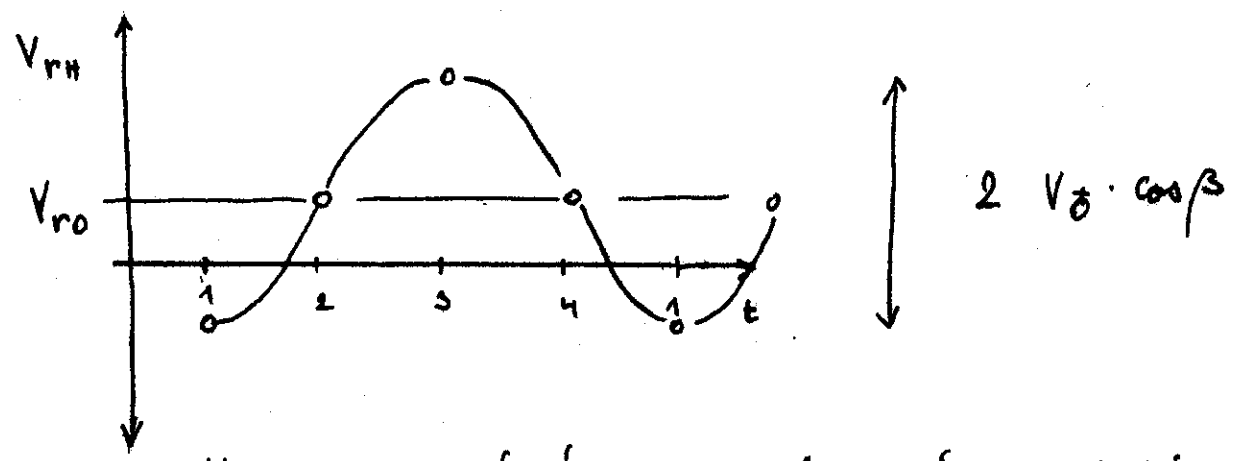
B) Aberace



chod aberace
 - aberace maximální, je-li maximální křivá rychlost tj. v opozici a v konjunkci vte posunuto o $\frac{\pi}{2}$ o čtvrt roku opožďena

Variace radiální rychlosti

- maximální - vektor rychlosti \vec{v} od hvězdy
- ③ $\Delta V_r = V_\delta \cdot \cos \beta$
- minimální
- ① $\Delta V_r = -V_\delta \cdot \cos \beta$
- na pólech elipt
- $\Delta V_r = 0$
- 2, 4 - 0



V_{r0} - radiální rychlost hvězdy heliocentrická

Variace heliocentrické korekce

~~... ..~~

rozdíl času okamžiku, kdy signál z hvězdy dospeje k Zemi a k Slunci

- zde se paralaxa zanedbává

1, 3 - v rovině kolmé k rovině pás eliptiky, ②, ④ - tam je heliocentr. korekce = 0

eliptickými 2, 4

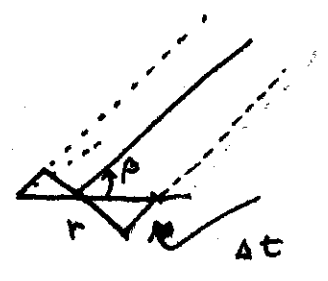
② $t_\delta - t_\odot = -\Delta t = -\tau \cdot \cos \beta$

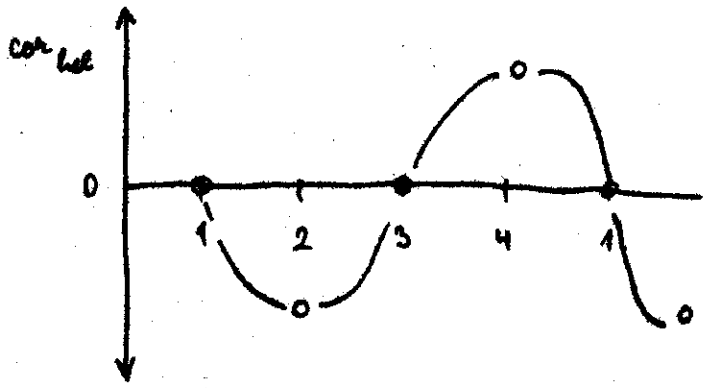
④ $t_\delta - t_\odot = \Delta t = \tau \cdot \cos \beta$

r - poloměr dráhy

$\Delta t = \frac{r \cdot \cos \beta}{c} = \tau \cdot \cos \beta$

$\tau = 499 \text{ s}$





amplituda = $\tau \cdot \cos \beta$

koordinaty u pólu
 eliptický - heliocentr.
 korekce = 0

Pozn. k paralaxi

- hlavní důkaz pro platnost heliocentrického modelu - parabolický pohyb hvězd na obloze

Pokusy o měření selhávaly - nebyla vhodná metoda

- nebyly vhodné podmínky

Tycho Brahe - žádná paralaxa → podpora jeho verze geocentrické soustavy před ním také Koperník - jinové výsledky
 - měření byla absolutně - sčítadnice *

Galileo Galilei + Huyghens

- systematické měření absolutních měření je diskvalifikující → náhrada relativními
 - myšlenka: hvězdy v poradi oporné - bližší hvězdy větší paralaxa - měření polohy řádově menší

* ani pak žádný úspěch ani na počátku 19. stol. nebyla paralaxa měřena, ačkoliv o heliocentr. modelu už nikdo nepochyboval
 příčina: velmi nízké hodnoty paralaxy
 $\pi \ll 1''$

Jako první společně změřil paralaxu Friedrich Bessel u 61 Cygni $\pi = 0,314''$, dnes uváděná hodnota $0,294''$ - roku 1838
souběžně Struve - paralaxa Vega
Henderson - paralaxa Talismanu

Měření hvězd vzdálených obléhá - i když paralaxy velmi malé - společně do 20, 30% - v tom obzoru málo důležitých, aformy by byly hvězdy (by jsou obvykle hodně jasné - z velké vzdálenosti, v prostoru málo zastoupeny) - složitý způsob měření - kinematické paralaxy

* HIPARCOS - družice astronomická
proměření poloh a jasnosti spousty hvězd, výsledky zásadně ovlivní astronomii v přístupu století

Dělení vzpomínané efekty: aberace, paralaxa, variace radiální rychlosti, heliocentrická hodnota + variace v počtu meteorů - vše důležitý o pohybu Země kolem hvězdy SS.

Důsledky oběhu Země kolem Slunce

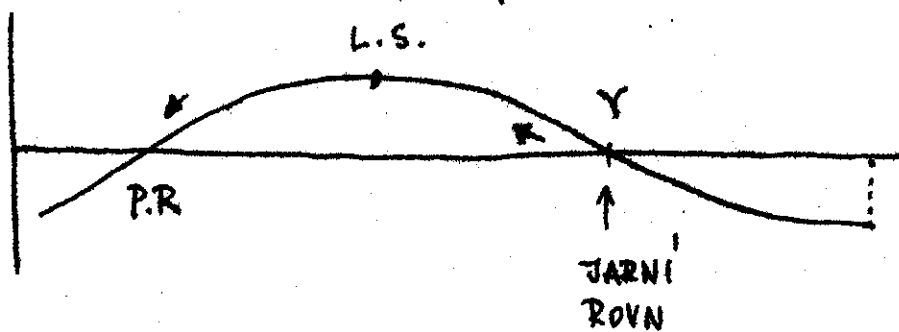
rož: siderický - více hvězdám 365,25636 d
tropický - od rovnodennosti (γ) k níže proti do rovnodennosti (γ) 365,24219 d
γ proti - rož kratoň - kálad kalendáři
ka 26 000 let - 1 ~~kratoň~~
Platonický rož - anomalistický - průběhy per. 365,25964 d
- měření průměry apsid
jeden oběh 110 000 let

Drakonický rok - rok zatmění - od
 příchodu \odot vzhledným úhlem měření dráhy
 346,62006 dní - měsíční uzel putuje
 po elipse proti \odot pohybem Slunce
 - 19,6 roku návrat zpět

Střední roční období

- stálý sklon rotační osy k rovině oběhu
 $\epsilon(t) = 23^\circ 26' 21,4'' - 0,4684(t - 2000)$ t - letopočet

Sluneční paprsky dopadají během roku
 na obě polokoule pod měnícím se úhlem
 - mění se deklinace Slunce jak postupuje
 po elipse zprava doleva

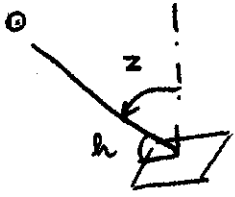


Prům. roční teplota
 klimatických pásem

- ve středních
- rovná délka dne
 - rovná výška \odot nad obzorem během dne
 - střední teplota
 - rovnost země-Slunce

Množství energie / 1 s dopadající na
1 m² plochy na zemském povrchu

$$W = \frac{K}{r^2} \cdot \cos z = \frac{K}{r^2} \sin h$$



K - sluneční konstanta - výkon slunečního
záření procházející 1 m² v vzdálenosti
1 a.j. $K = 1360 \text{ W/m}^2$

(Insolace)

Oslavení - energie, která dopadá na 1 m²
plochy země (horní hranice zem. atmosféry)
 $t = \text{západ } t_0$

$$\Sigma = \int_{t = \text{výhled}}^{-t_0} \frac{K}{r^2} \sin h dt$$

$$\sin h = \sin \varphi \sin \delta + \cos \varphi \cos \delta \cos t$$

$$\cos t_0 = -\lg \varphi \lg \delta$$

$$\Sigma = \frac{K}{r^2} (2t_0 \sin \varphi \sin \delta + 2 \cos \varphi \cos \delta \sin t_0)$$

Astronomická roční období jsou vzhledem
k různé rychlosti země v dráze různé
délky
nejdelší astr. léto, nejkratší astr. zima
zemí přibližně o 7,5 dne delší než zimní
- klimatolog je tak postaven na sev.
polohou mírnější - vlivem přese se
to přibližně za 13 000 let

Úhany celoroční insolace

φ	%/rovnání		
0	100,0	50	68,4
10	98,6	60	56,9
20	94,5	70	47,4
30	87,9	80	42,9
40	79,0	90	41,5

rozdíly nejsou tak nevelké - výhodné je osvětlit i vysoké zeměpisné šířky zejména v období krátkého léta

- Parametry zemské dráhy a jejího směry
 - a) sklon zemské osy k dráze kolísá ϵ 22°04' - 24°34' - perioda 41000 let
 - b) směry délky perihelionu Π - stýje se a perioda 21000 let - nejdelší období slábnutí směru k járnímu bodu - proti se pohybující přírůstek apsid - k tomu perioda se vyměňují role severní a jižní polokoule
 - c) směry vyústění dráhy ω - ϵ - asi 100 000 let $0,0007 \div 0,0658$
 v současnosti 0,0165
 při vysoké excentricitě - větší část oběhu ve větší vzdálenosti při stejném a
 → větší hmotnosti
 - d) délka velké polose \equiv energie Země - se mění zcela nepatrně

4.5. Čas

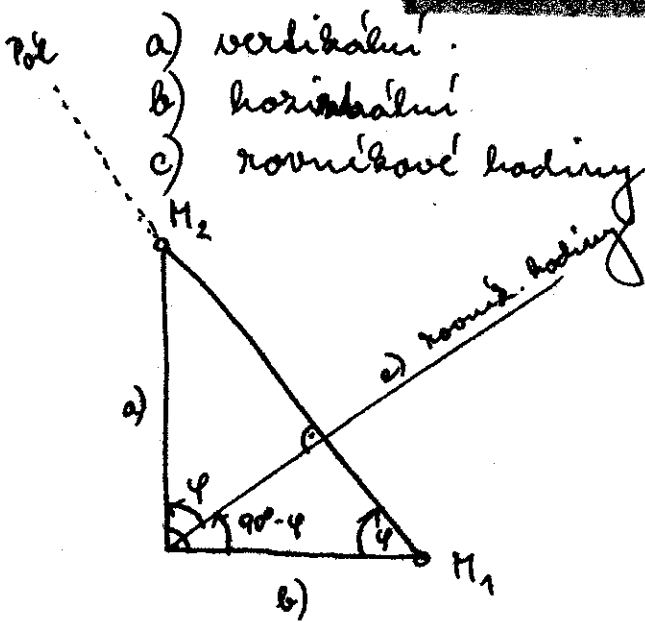
Sluneční čas. Sluneční hodiny

Život člověka rytmizován střídáním dne a noci - určován Sluncem

Slunce se pohybuje po ekliptice (mezi hvězdami) nerovnoměrně → pro Slunce neurčuje rovnoměrný lok čas ~ atomovému

Přístroj na měření pravého slunečního času → sluneční hodiny

Konstrukce slunečních hodin



slůtko + slínová tyč
vždy míří k svět. pólu

rovníkové hodiny - číselně rovnoměrný

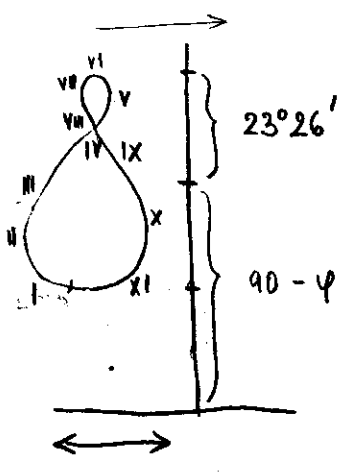
Konstrukce slunečních hodin na jiných stěnách
sluneční hodiny - hvězdárna

Pravý sluneční čas - doba mezi dvěma po sobě následujícími dolními kulminacemi
 $T_{SP} = t_0 + 12h$!

- vztahuje se k místu
 - x střední místní sluneční čas
 - rozdíl
 - pro čas poledne - pravý x střední
- analema

na některých slunečních hodinách - body odp. vchodu lyce

nebo - dráha Slunce po obloze - nýstena' vřady ve 12 h místního středního slunečního času



rozdíl ~ rozdílů pravého a středního sl.

časů
 © uběhne 4^{2a} min za 1°

maximální odchylky ~

Časová rovnice

$$E = T_{ST} - T_{SS}$$

$$E = t_{\odot} \pm 12 h - T_{SS} = \underbrace{\text{M}} - \alpha_{\odot} \pm 12^h - T$$

rozdíl je nezávislý na místě pozorování - v rovine

při kladné E kulminuje pravé slunce dříve 16.5. + 3,8 min	,	3. 11. + 16,4 min
při káporném E kulminuje pravé ☉ později 12. 2 - 14,4 min	,	25. 7 - 6,3 min

⇒ Sluneční hodiny jdou až o 30 minut nepřesně - přičiny

rozdílec ☉ - T roste rovnoměrně - denně o 3 min 56 s
 α_{\odot} - roste nepravidelně

2. přímky

a) Země obíhá po eliptické dráze - za 1 den se proaví anomálie země o různý úhel

1. str. 0

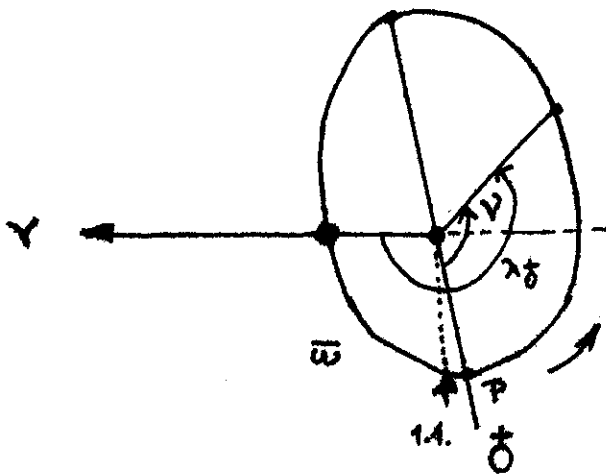
b) 4 body \oplus kolem \odot obíhala po kružnici, byla by země a nerovnoměrná \leftarrow důsledek nerovnoměrného sklonu ekliptiky

\rightarrow pravý sluneční čas - 1. přiblížení 2. harmonické funkce

Oběž Země kolem Slunce

1. přiblížení - elipsa, s jedním ohniskem Slunce - ve skutečnosti křivka SS (neviditelné) $e = 0.0167$

- v dalším bylo 2 body (střed \odot a SS) slobožinné



\downarrow rovina ekliptiky

Země prochází járním bodem, když je \odot v podzimu \equiv v okamžik podzimní rovnodennosti

1.1. Ob - délka Země $\sim \lambda_s - 180^\circ = 280^\circ - 180^\circ = 100^\circ$

délka perihelu $\lambda_2 = 102,5^\circ$

Doba oběhu - siderická 365,2564 dne
Střední vzdálenost $\sim 1 \text{ a. j.} = 149,6 \cdot 10^6 \text{ km}$

Vzdálenost perihélia $a(1-e) = 0,9833 \text{ a.j.}$
 Vzdálenost aphélia $a(1+e) = 1,0167 \text{ a.j.}$

Střední oběžná rychlost $\frac{2\pi a}{P} = 29,79 \text{ km/s}$

Střední úhlový pohyb $\omega = \frac{360^\circ}{P} = 0,9856^\circ/\text{den}$
 \uparrow střední anomalie $M \quad \Delta T$

$M = \frac{360^\circ}{P} (t - T)$ T - příchod perihéliem

2,5 dne po 1.1. 0h UT
 ~ 3.1. kolem poledne

$\lambda = \lambda_{zp} + \nu = 102,5^\circ + \nu$
 λ_{zp} - délka Země v perihéliu
 ν - pravá anomalie

$\lg \frac{\nu}{2} = \left(\frac{1+e}{1-e} \right)^{1/2} \lg \frac{E}{2}$

E - excentrická anomalie

$E - e \sin E = M$ z Keplerovy r.

ν - li D - počet dní, které uplynuly od 1.1. 0h UT

M - střední anomalie ve stupních:

$M = \frac{360^\circ}{365,25} D - 2,5^\circ$

Chceme-li vypočítat $\lambda_\oplus(D)$, musíme najít pravou anomalii ν

Aproximace Keplerovy rovnice

$$E = M + e \sin E$$

$$\Downarrow \sin(E) = \sin(M + e \sin E)$$

$$\sin E = \sin M \cdot \underbrace{\cos(e \sin E)}_{=1} + \cos M \cdot \underbrace{\sin(e \sin E)}_{e \sin M}$$

$$\sin E = \sin M (1 + e \cos M)$$

opětne dosadíme

$$E = M + e \sin M (1 + e \cos M)$$

$$E = M + e \sin M + e^2 \frac{1}{2} \sin 2M$$

Diskuse posledního členu maximálně $\frac{1}{2} e^2$
 $e = 0,0167$ $\frac{1}{2} e^2 = 0,000139 \text{ rad} \approx 29''$
 - lze smíle zanedbat

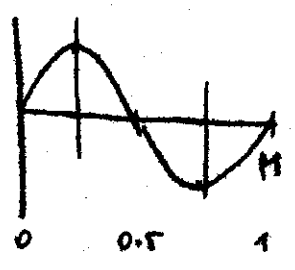
$$E = M + e \sin M$$

$$\Rightarrow \nu = 2 \arctan \left[\left(\frac{1+e}{1-e} \right)^{\frac{1}{2}} \tan \left(\frac{M + e \sin M}{2} \right) \right]$$

fce $(\nu - M) - e \sin M$ - podobá se sinusové
 velmi přesně - MNC

aproximace

$$\nu - M = 1,9136 \sin M + 0,01997 \sin 2M$$



Skutečně \odot se opakuje 1. středním \odot
 může rozjet až o $1,91^\circ \sim 1,95$ středních
 maximální rozdíl $M = \pm 90^\circ$ \uparrow du' na obl.
 duben, říjen $\pm 4,64$ minut

$$\lambda_\odot = 180 + \lambda_\oplus = 282,5 + \nu =$$

$$282,5 + M + 1,91 \sin M + 0,02 \sin 2M$$

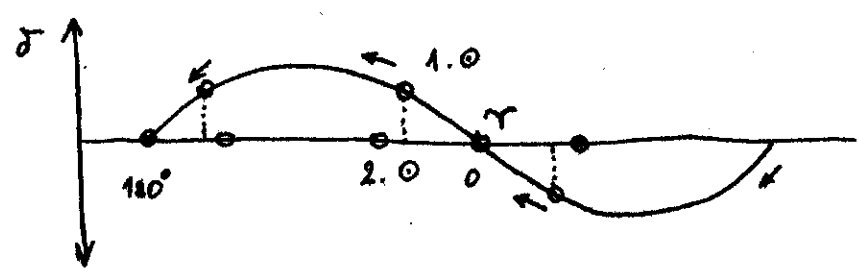
$\rightarrow \lambda$ degree

$$M = 0,9856 D \rightarrow 2,5^\circ$$

Efekt sklonu eliptiky & rovnice

- máš najít α rektascenze, nikoli délka $\odot \rightarrow$ nutno převést
 $\cos \delta \sin \alpha = \sin \lambda_0 \cos \epsilon$
 $\cos \delta \cos \alpha = \cos \lambda_0$

$\lg \alpha = \cos \epsilon \lg \lambda_0$



$(\lambda - \alpha)^\circ = -2,46563^\circ \sin 2\lambda + 0,05305^\circ \sin 4\lambda - 0,00152^\circ \sin 6\lambda$



maximální ~ $\lambda \pm 45^\circ \pm 135^\circ$
 amplituda ± 10 minut

nerovnoměrný & dráze - výraznější efekt než pohyb

$(\lambda - \alpha)^\circ = -2,46563 \sin 2\alpha - 0,05305 \sin 4\alpha - 0,00152 \sin 6\alpha$

Výsledek

$\alpha(D)$ dosazením obou efektů
 aproximace s přesností ~ 0,3 minuty

$\tau = \frac{360^\circ}{365,25} D$ ČASOVÁ ROVNICE

$T_{\text{pravý}} - T_{\text{střední}} = 0,46 \cos \tau - 7,84 \sin \tau - 3,36 \cos 2\tau - 9,83 \sin 2\tau$ v min

PÁSMOVÝ ČAS

- každé místo - vlastní "místní čas"
až do 19. století náhladem časový byl
pravý místní sluneční čas - sluneční hodiny

1820 - místní střední čas - opravený a časovou
rovnici

s rozvojem telegrafie - nevyhodné mít vlastní čas
→ zavedení "telegrafického času" ~ čas
hlavního města země

u nás a v celém Rakousku platil až do
1. 10. 1891 na telegrafické "čas prahý"

i to bylo sledováno jako nepraktické →
mapy v USA 53 zón. časů

1870 - návrh Ch. F. Dowda → zavedení
pásmových časů - země rozdělena do
24 polodruhových pásem a šířce 15°
(sf. dvoanúhelník) - střední poldruhá

- určující čas pro celé pásmo
- vedlejší pásma mají pod čas 1 h
odlišný

1. pásmo - kolem 0. poldruhu ~
určuje tzv. světový čas UTC ← koordinovaný
rovnoměrně plynoucí čas
rovnávaný s rotací
po 1 s rozdíly

Středoevropský čas - náš
SEČ (od roku 1912)

U pravi se hranice pásem přípisalují
státním, resp. adm. hranicám
některé státy mají více časů

Letní čas - změna času o 1 hodinu

na konci března - SEČ → VEČ (SELČ)

na hodinách se údaj o +1 h posune
konci října! - se vrátí do SEČ ~
lépe odpovídá skul. ~ jíme
poblíž 15° poledníku

Brno - rozdíl proti 15° 6 minut -

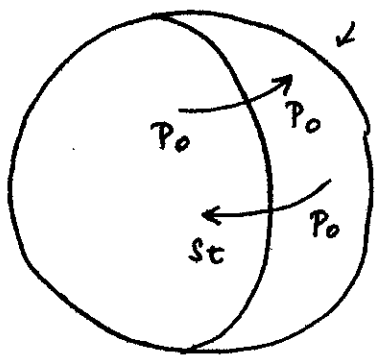
x brněnské noviny by měly uvádět tablo
upravené údaje
výhledy a rápady upřesny

Dátová hranice

- pohybujeme-li se od greenwichského poledníku
na východ - narůstá čas o 1 h / pásmo
z opačného konce hodin ubývá -
dostaneme-li se na totéž místo →
nikne datum

→ nutno odstranit
zavádí se datová mez zhruba ~ 180°
- vede neobvyklými končinami

Pravidlo - postupujeme-li ve směru oběhu ↻



↙ 2 dny po sobě totéž datum
- 1 den přestoupit
- Verne: cesta kolem světa za 80 dní
- navíc 1 den

4.6 KALENDAR

- souhrn pravidel pro počítání dní v roce
vznikly už na počátku civilizace (velké říky
a hierarchizovanými společnostmi)

Másew: latinsky kalendae - 1. den v měsíci
v římském kalendáři - volání lidem (calare) kvesem,
aby vyhlásil nový měsíc a obsvámil je a
počet dní

- kniha dle měřičů - calendarium, ve starém
Římu platili úroky vždy 1. v měsíci

- Zobl. jednotky - sluneční den (všechny 2.)
synodický měsíc
tropický rok (365,2422 dní)

Sladění různě dlouhých period → kalendáře
lunární, solární, lunisolární

Nejstarší - lunární - kulturně nedávno na
středním roc. období (trop, subtrop)
měna měs. fáze - dobrý časovník

Solární - obšírnější, dlouhá doba
- pozorování, výšná stupen pozvání
(na 0 není den v roce napsán)

- Egyptský kalendář
- první ze slunečních kalendářů
~ 4. tisíciletí př.n.l.

Rok nastával, když Sirius měl předjitřím
východ (heliakický) - v té době nastáva-
ly též sivolodatické záplavy Nilem
→ vytvoření slunečního kalendáře
Staroegyptský rok měl 3 období:
záplava, roční, žní - 4 měsíce po 30 dnech

každý měsíc 3 dekadý
 Na konci roku se vhládalo 5 dní (malý rok)
 238 p.n.l. - každý čtvrtý malý rok
 rozšířen o 1 den - přestupný rok
 - k zavedení vlastně nedošlo, ale princip
 převzali r. 46 Římané

Kromě egypt. 3. tisíciletí p.n.l. - staro-
 bablyonský, 2. tisíciletí - egyptský

Římský kalendář - na něj navazuje
 - začátky nejame, epocátku 10 měsíců
 304 dní - jen ocislovány
 7. st. p.n.l. - rozšíření o další
 dva měsíce Januarius a Februarius
 - na závěr roku

Měsíce: Martius³¹, Aprilis²⁹, Maius³¹, Iunius²⁹,
 Quintilis³¹, Sextilis²⁹, September²⁹,
 October³¹, November²⁹, December²⁹, Januarius²⁹,
 Februarius²⁸

Rok lunární! $12 \times 29,5 \text{ dne} = 354$
 355 dní

4 roky tvářily cyklus - difference s trop. r.
 - vhládaly se 2 x měsíce - Mercedonius
 ve 2. roce 23. \ 24.2. 23 dní
 4. roce 23. \ 24.2. 22 dní

=> délka roku 366,25 dne - rozdíl
 se kumuloval - aby se reguloval -
 správce kalendáře: pontifex - nejvyšší muž

x -> chaos - nutno řešit

Julianský kalendář

46. př. n. l. Gaius Julius Caesar (100 - 44)
- seznámil se s egypt. kalendářem -
pověřil alexandrijského astr. Sosigena
vypracování říjnovodměného, závodného

Sluneční kalendář 12 měsíců
365 dní, každý 4. přestupný 366 dní
inor 29 $\frac{1}{2}$ dní - přestupný den
řádkoval se mezi 23. a 24. inor
délka 365,25 dne - byl o 11 min 14 s
delší

Quintilius → Julius (Caesar)
(císař se v něm narodil)

Úmrtí se zavedením - přestupné roky
každý 3. rok! - chyběla odhalena
& př. n. l. - císař Augustus - napravil
to tím, že se do 8 m. l. přestupné
roky neřadily

Sluníky vlnoval Augustovi Sextilis
- odňat den inoru (28 dní) → srpen 31 d
- pak ale 3 měsíce s 31 dnů →
září → říjen s 31 dnů

325 n. l. - 1. ekumenický koncil v Nizozí
→ obecní evropský kalendář, platil až
do konce 16. století, nikde i dále

Gregoriánský kalendář

- nepřesnost v délce kalendáře x prof.
rok => 128 let / 1 den opoždění
jámi rovnodennost se tak přesouvala
do dřívějších dat

vel. neděle mezi 22.3 a 25.4
 Chyba julianského kalendáře odhalena ve
 14. stol. - řešily ji i koncily
 Reforma kalendáře uložena papeži Řehoři III
 (Gregor) - to už rozdíl dosáhl 10 dní
 1576 matematik a lékař Lilius + bratr
 → návrh schválen 1582

kalendář gregoriánský
 Pravidla pro přestupné roky:

- je-li letopočet dělitelný 4 - přestupný 365,2500
- a 366 dní × 365
- je-li dělitelný stem - není přestup 365,24
- je-li dělitelný 400 - přestupný 365,2425
- rok 4840 nebude přestupný 365,2422

Zavedení gregoriánského kalendáře

- komplikace 10 dní 4.10.1582 -
 se zrušilo hned 15.10.1582

Yarní rovnodennost se přeměnila na 21.3.
 - u nás brzy poté 6/17.1.1584 Čechy
 3/14.10.1584 Morava

- Ery letopočty - počátek počítání
 "od založení Říma", "stvoření světa"
 křesťanská éra - od "data narození
 (Dionysius Exiguus 241) Krista"
 - křesťané chybně ~ 6. př. n. l.

KALENDÁRNÍ DATA

Základní kalendářní data tvoří podklad pro výpočet kalendáře. Jsou to:

1. Sluneční kruh (sluneční cyklus) je perioda, po jejímž uplynutí připadají vždy dny v týdnu na stejná data. Obyčejný rok má 52 týdnů po 7 dnech a 1 den. Jestliže v určitém obyčejném roce připadne 1. leden na pondělí, pak v následujícím obyčejném roce připadá 1. leden na úterý, další na středu. Pokud bychom nezaváděli přestupné roky, připadaly by vždy po sedmi letech stejné dny v týdnu na určitá stejná data. V juliánském kalendáři je však každý čtvrtý rok přestupný, proto připadají dny v týdnu na stejná data vždy po $4 \times 7 = 28$ letech. Počátek této periody byl položen do roku 9 před n.l., který byl přestupný a začínal pondělím.

Číslo slunečního kruhu pro určitý rok nabývá tedy hodnot 1 až 28 a zjistíme ho tak, že k letopočtu přičteme 9 a dělíme 28. Zbytek udává hledanou hodnotu. Např. pro letošní rok:

$$(1986 + 9) : 28 = 71,25 ; 0,25 \times 28 = 7.$$

Sluneční cyklus postupuje kalendářem plynule a stejným rokům je přiřazeno stejné číslo jak v juliánském, tak i v gregoriánském kalendáři.

2. Měsíční cyklus, nazývaný také zlatý počet Metonův. Cyklus je 19letá perioda, probíhající plynule kalendářem podobně jako cyklus sluneční. Po 19 letech připadají vždy přibližně tytéž fáze Měsíce na stejná data. Je to proto, že synodický měsíc trvá průměrně 29,530 588 2 dne, 235 synodických měsíců = 6939,688 227 dní. Tato doba je přibližně rovna 6939,75 dne, což je 19 juliánských roků po 365,25 dne. V cyklu však mohou nastat odchylky, protože se mění délka synodického měsíce od 29,25^d do 29,83^d jako následek změn měsíční dráhy. Pořadí roku v měsíčním cyklu se nazývá zlaté číslo. Roku 0 našeho letopočtu je přiřazeno zlaté číslo 1. Pro rok 1986 tedy máme $(1986 + 1) : 19 = 104,5789$; $0,5789 \times 19 = 11$.

3. Římský počet neboli indikce je perioda patnáctiletá. Nevychází z žádných astronomických dějů, v pozdním období římské říše měla význam pouze administrativní. Je však součástí juliánské periody podle J. Scaligera, jenž roku 1583 navrhl počítat v periodách $28 \times 19 \times 15 = 7980$ roků a počítat nepřetržitě dny od určitého počátečního data, bez dělení na roky. Jako počáteční bylo stanoveno datum 1. ledna roku 4713 před n.l. (tzn. rok -4712). Jedna perioda zahrnuje 2 914 695 dní.

Jiné éry a periody

Ročenka uvádí výběr z mnoha kalendářů používaných v občanském životě a pro kultovní účely. Židovský kalendář má tři druhy obyčejných roků s 353, 354 nebo 355 dny a tři druhy přestupných roků s 383, 384 a 385 dny. Střídají se v 19letém cyklu; cykly však mají tři různé počty dnů.

Muslimský kalendář, který uvádíme, je velmi přesný lunární kalendář, neváže se však pochopitelně na roční doby. Muslimských kalendářních soustav je více, existují i sluneční. Lunární muslimský kalendář má roky o 354 dnech a přestupný o 355 dnech. Přestupné roky jsou zařazovány po dvou nebo jednom obyčejném roku v cyklu třiceti let.

Juliánské datování je nezávislé na kalendářních reformách a umožňuje dobře studovat vztahy mezi různými kalendáři. Především však v astronomii umožňuje snadný výpočet časového intervalu mezi dvěma událostmi. Roku 0 je přiřazeno číslo 3 římského počtu, roku 1986 tedy číslo 9.

4. Epakta - tímto termínem se označuje stáří cyklického měsíce 1. ledna daného roku. Cyklický měsíc vychází z církevních kalendářních počtů, kde se délka synodického měsíce zaokrouhluje na 30 dnů. Zatímco juliánský rok je o 10,882 942 dní delší než 12 synodických měsíců, zaokrouhluje se v kalendářních počtech tento rozdíl na 11 dní. Pokud tedy měla epakta 1. ledna určitého roku hodnotu 0 (nov), pak 1. ledna následujícího roku má hodnotu 11; poté 22; $(33 - 30) = 3$; rok nato 14 atd. Aby se vyrovnal rozdíl mezi skutečnou a zaokrouhlenou hodnotou synodického měsíce, přičítáme k začátku nové periody 12 dnů místo jedenácti, takže stáří je opět 0. Toto zvýšení stáří měsíce nazýváme skokem cyklického měsíce; jím se dosáhne shody mezi cyklickým měsícem a slunečním rokem. V juliánském kalendáři je možné ke každému zlatému číslu přiřadit určitou epaktu, v gregoriánském je vztah komplikovanější.

! 5. Nedělní písmeno se používá k určení, jaký den v týdnu připadá na určité datum. Prvnímu lednu přiřadíme písmeno A, 2. lednu B, 3. lednu C atd., až 7. lednu G, 8. lednu opět A atd. Písmeno, které v určitém roce připadá vždy na neděli, nazýváme nedělním písmenem. Pokud je rok přestupný, platí dvě nedělní písmena - od počátku roku do přestupného dne první, od přestupného dne do konce roku druhé. Podle nedělních písmen lze snadno stanovit kalendář pro příslušný rok.

! 6. Datum velikonoce se mění rámcově podle pravidla, že velikonoční neděle je první nedělí po úplňku cyklického měsíce, který nastal 21. března nebo později. Podle velikonoce se určují data ostatních pohyblivých svátků. V juliánském a gregoriánském kalendáři se datum velikonoční neděle vypočítá podle Gaussova pravidla. Označme T leto-počet, a zbytek dělení $T/19$, b zbytek dělení $T/4$, c zbytek dělení $T/7$ a d zbytek dělení $(19a + m)/30$, e zbytek dělení $(2b + 4c + 6d + n)/7$, kde $m = 15$; $n = 6$ jsou konstanty pro juliánský kalendář a $m = 24$; $n = 5$ konstanty pro gregoriánský kalendář, platné pro roky 1900 až 2099. Velikonoční neděle pak bude

$(22 + d + e)$ března nebo $(d + e - 9)$ dubna.

Z tohoto pravidla jsou však výjimky, aby velikonoční neděle nenastala příliš pozdě. Ve 20. století nastaly r. 1954 a 1981.

Julianské datování

- prakticky se zejména v astronomii (per. díj)
- JD_{hel} - heliocentrické datum
- definice v 0h 00min SČ $JD + 0,5$
- výhodou pro noční pozorování

15.5.1997 20h 47min LČ

0.5.1997 0h SČ $JD = 2\ 450\ 568,5$

15.5.97 0h SČ $JD = 2\ 450\ 583,5$

20h 47min LČ \approx 18h 47min SČ
0,7500 0,0326

$\Rightarrow JD = 2\ 450\ 584,2826$

- algoritmus - z obč. data JD
Y - rok, M - měsíc, D - den (+ desítné zlomky dne)

$\lfloor 1801 - 2099$

$$JD = 367Y - \text{Int}((7(Y + \text{Int}((M+9)/12))))/4 +$$

$$+ \text{Int}(245M/9) + D + 1721013,5 -$$

$$- 0,5 \text{ sign}(100Y + M - 190002,5) + 0,5$$

sign(x) = 1 x ≥ 0 pro data po 28.2.1900
 sign(x) = -1 x < 0 lze oba poslední členy vynechat

4.7. PRECESE A NUTACE

- precesi objevil kolem r. 130 p.n.l Hipparchos - porovnání svých pozorování s pozorováními řeckých astronomů
- přikročil ekliptikálních délek - vysvětlení: pohyb jádra vodor. proti

Trinl si ji ja Hipparchos 130 let p.m.l
+ Ptolemaios ~ 36"/rok

Arabové 10.-11. stol 48"-54"/rok

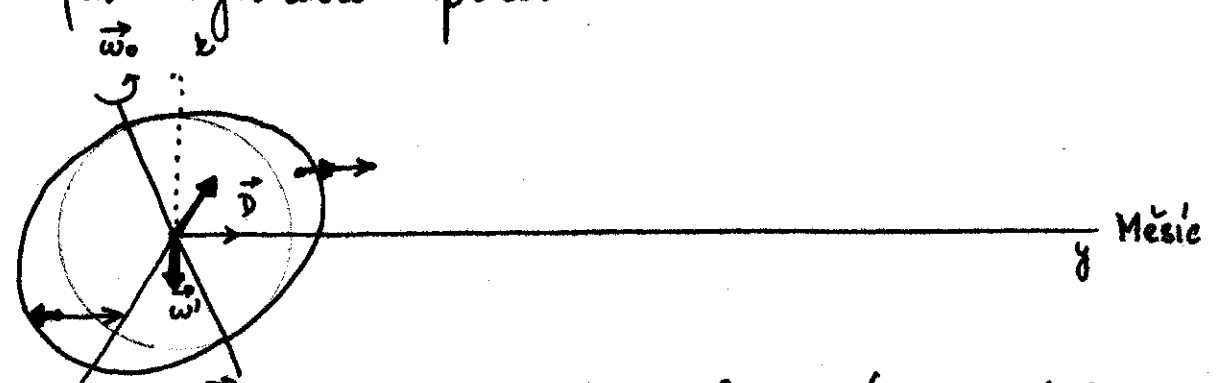
1260 perský hvězdár Nasir Edin 51"/rok

blízké dnešní hodnotě ~ 50,3"/rok

Od dob Hipparcha posun asi o 30°!

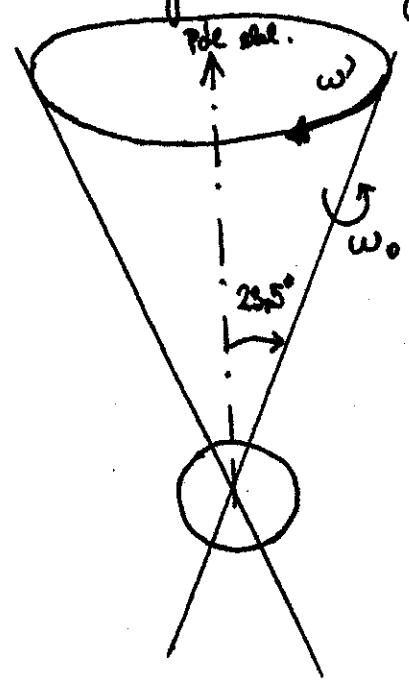
Fyz. vysvětlení precese - Isaac Newton

- chování rotujícího sferického tělesa a osou
na něj působí vnější síla (síly)
pokud má více těles uvnitř moment
pak vyvolává precesi



D - moment sil působících Měsícem
(Sluncem) na křehčící se Zemi chce
osou Zeme uvnitř kolman - směr
v rovině ekliptiky (oběžky)

Výsledkem je pohyb osy ekliptiky



$$\vec{D} = C(\vec{\omega} \times \vec{\omega}_0)$$

→ ω směřuje k jádru
polar ekliptiky
pohyb se děje v opačném
smyslu než rotace Zeme
a obíhá kolem Slunce
⇒ tropický rok kratší

x na obloze



- celý křivkový pohyb vyhovává 1 planárnímu rohu 25 727 let

Osa však ve skutečnosti bývá složitější pohyb
Bradley 1747 - objevil periodickou složku hv. nutace

- vynucené kmity způsobené Měsícem s periodou 18,61 let ~ perioda pohybů vzhledem k Měsíci dráhy - slácní roviny dráhy kolem pólu ekliptiky (5° sklon) i toto slácní je výsledkem precese kopané na Měsíc Sluncem

- síly působící na Zemi (Měsíc + Slunce) -> periodický mění -> periodický nutací člen

Precese, precesní pohyby způsobeny vlnami tělesy SS x vřvaním - Měsíc, Slunce

1. Lunisolární precese - společné působení obou těles 50,41" / rok

2. Planetární precese - gravitační účinky ostatních těles SS - nevyvolávají přímo změnu směru zemské osy, ale přímo zemské dráhy - mění se tak poloha pólu ekliptiky, tj. sklon (pro 2000 23°26'21") -0,47"/rok + slácní proti precesnímu pohybu LS -> -0,12"/rok

kolem osloví přímkou
ekl. d. $\Omega \approx 174^\circ$

3. Celková (generální) precese - složením všech složek vedoucích ke změně směru zemské osy 50,291"/rok

Důsledky precese a nutace

1. Změna polohy světového pólu
→ změna oblohy viditelné z daného místa

Polárka - nejblíže 2103 - 27'
12 000 bude "Polárkou" Vega
8 000 z Cep
- 3 000 z Dra

za několik tisíc let bude z Evropy viditelný jasný Sirius, ale nebude viditelný Sirius a část Orionu

2. Poloha jarního a podzimního bodu
- od dob Hipparchova je posun o 30°
~ na svítku o 1/2 tj. o jedno znamení → diskrpance mezi polohou
o v souhvězdích a označení znamení
o 1! Znamení Berana - o v Rybách

3. Změna souřadnic - ~~největší~~ - opírají se o polohu jarního bodu a ten se pohybuje mezi *

a) Změna ekliptikálních souřadnic - skreca - mění se jin ekliptikální délka o +50,291"/rok - narůstá (rotace kolem pólu ekliptiky) - přesně neplatí - mění se sklon ekliptiky a poloha pólu ekl.

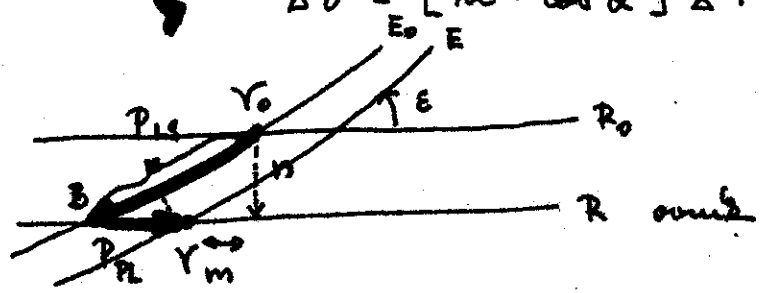
b) změny souřadnic souřadnic - důležitější pro nalezení oblohy - vztahováno k určitému ekvatoriálu

průběhový vektor:



$$\Delta \alpha = [m + m' \tan \delta \sin \alpha] \Delta T$$

$$\Delta \delta = [m' \cos \alpha] \Delta T$$



m - roční změna δ deklinace
 m' - roční změna α rektascenze

Semisolární přese způsobí posun $Y_0 \rightarrow B$
 - pohyb podle po eliptice
 Planetární přese - $B \rightarrow Y$ jako by se
 jární bod posouval podle po rovnici

$$m = \mu_{LS} \sin \epsilon = 20,0''/\text{rok}$$

$$m' = \mu_{LS} \cos \epsilon = \mu_{PL} = 46,1''/\text{rok}$$

Měření se ovšem vztahují k idealizovanému
 sl. pólu - jeho poloha je však proměnlivá
 - kolem středního pólu osciluje v důsledku
 nutace - nutací elipsa
 -> změna polohy járního bodu + změna
 sklonu ~~sl. el.~~ k rovnici
 vše závisí na úhlové vzdálenosti
 výslunného úhlu Ω měření dráhy od
 járního bodu

$$d_\lambda = -17,24'' \sin \Omega$$

$$d_\epsilon = 9,21'' \cos \Omega$$

Měření polohy hvězd -
 1) "zdánlivá" místa (apparent) - tj. polohy

- 2) „prava' miesta“ - opravine' o refrakci' a dnu' aberaci'
- 3) „strednu' miesta“ - opraveny' o vlio' nulace a precese a prevedena' na jiste', vady uvadenie' datum = ekvinoxium (nyu' nejcastiji 2000,0) - v kalabrieh zaradne' uvadena' strednu' miesta

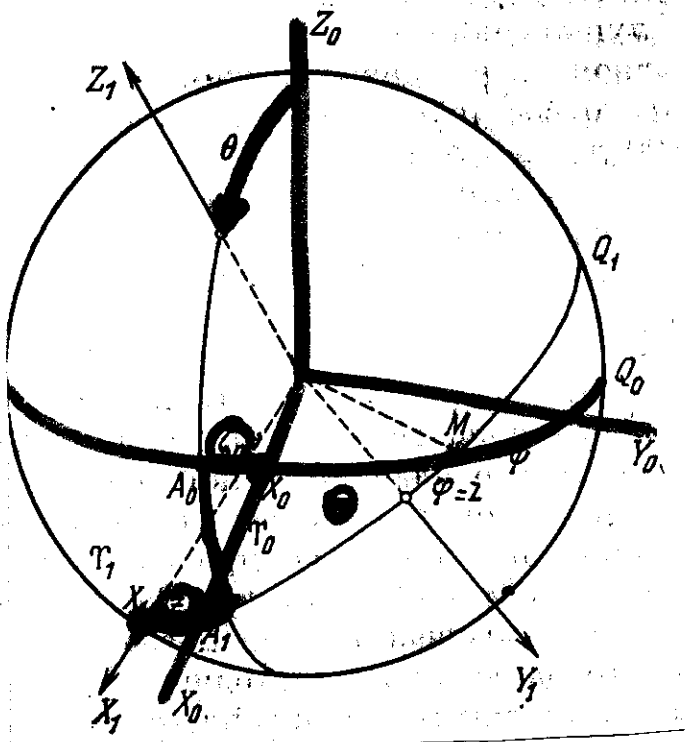
Uplatnost oprav' miesta' pri' uvadeni' polohy neuvazneho objektu, astronomii' nebo' pri' nastavovani' objektu velkyeh dalekohledu'

- 4. Delka roku, na nemu' je kalorien kalenda'r - tropickeho' je, kratsi' nez sidericky', a to asi o 20 min.

Pozn. - uz' v minulém stoleci' se ukázalo, ze' zem. sítka' dobre' směřujeh lodu' jemu' spojily se' zem. povrchem se' mezi' - rozdily ~ vteriny (!)
 zemské' těleso se' vzhledem kose' rotace polybuje (nevhoduj' se' osa rotace a osa symetrie)
 periodička' slozka - 14 mesicu' Chandlerova perioda - rozsah ~ 15 m

Korekce a precesi - přímý postup

navedeme tři tzv. precesní úhly
precese - obáčení kolem tří os



označení a postup podle Newkomba.
přechod od soustavy $X_0Y_0Z_0$ k
 $X_1Y_1Z_1$. M - uzel výst.

$$\zeta = MY_0 = A_0X_0$$

θ = sklon "nového rovníku" ke
starému

$$z = Y_1M = A_1X_1$$

$X_0M = 90^\circ - \zeta$ - rektascenze
výstupního uzlu M rovníku
epochy t_2 k rovníku v t_1

$90^\circ + z$ rektascenze hvězdy počítaná od járního bodu Y_1 k
uzlu rovníku, θ - jižní sklon

ϵ - sklon ekliptiky v daném okamžiku

T - ve stol.

od r. 2000

$$\zeta = (2306,22 + 1,40T)\Delta t + 0,30(\Delta t)^2$$

$$z = (2306,22 + 1,40T)\Delta t + 1,09(\Delta t)^2$$

$\Delta t = t_2 - t_1$
v letech

$$\theta = (2004,31 + 0,85T)\Delta t + 0,43(\Delta t)^2$$

$$\epsilon = 23^\circ 26' 21,45'' - 46,815'' \cdot T - 0,0006 T^2$$

Postup a) obáčení o $-\zeta$ okolo osy z
o θ okolo nové osy y
o $-z$ okolo nové osy z

nebo
→ o $90^\circ - \zeta$ kolem z
o θ okolo osy x
o $90^\circ + z$ kolem nové osy z

$$\begin{pmatrix} x_2 \\ y_2 \\ z_2 \end{pmatrix} = \begin{pmatrix} P_{xx} & P_{xy} & P_{xz} \\ P_{yx} & P_{yy} & P_{yz} \\ P_{zx} & P_{zy} & P_{zz} \end{pmatrix} \begin{pmatrix} x_1 \\ y_1 \\ z_1 \end{pmatrix}$$

prevod $\vec{r}_2 \leftarrow \vec{r}_1$

sm. baziň:

$$P_{xx} = \cos \zeta \cos \Theta \cos z - \sin \zeta \sin z$$

$$P_{xy} = -\sin \zeta \cos \Theta \cos z - \cos \zeta \sin z$$

$$P_{xz} = -\sin \Theta \cos z$$

$$P_{yx} = \cos \zeta \cos \Theta \sin z + \sin \zeta \cos z$$

$$P_{yy} = -\sin \zeta \cos \Theta \sin z + \cos \zeta \cos z$$

$$P_{yz} = -\sin \Theta \sin z$$

$$P_{zx} = \cos \zeta \sin \Theta$$

$$P_{zy} = -\sin \zeta \sin \Theta$$

$$P_{zz} = \cos \Theta$$

P_{yx} - smerový kosinus osy $\vec{x}(t_1)$ ($\vec{i}(t_1)$)
vzhľadom k ose $\vec{y}(t_2)$ ($\vec{j}(t_2)$)

Je-li Δt malé, lze vypočítat s aproximací:

$$m = \frac{d}{dt} (\zeta + z) = 46'' , 124 + 0,028 T$$

$$n = \frac{d\Theta}{dt} = 20'' , 043 - 0,0085 \cdot T$$

$$p = 50,291 + 0,022 T$$

$$\pi = 0,4700'' + 0,0007'' T$$

$$\Pi = 174^\circ 52' 35'' + 3289'' T$$

roční rychlost sláčené
eliptidy
délka dráhy
osy sláčené eliptidy

$$\Delta \alpha = (m + n \sin \alpha \operatorname{tg} \delta) \Delta t$$

$$\Delta \delta = \xi m \Delta t \cos \alpha$$

$$\Delta \lambda = [p - \pi \cos(\lambda + 180^\circ - \Pi) \operatorname{tg} \beta] \Delta t$$

$$\Delta \beta = \pi (t_2 - t_1) \sin(\lambda + 180^\circ - \Pi)$$

m, n, p, π
 Π - vše
vzdáleno z
 $\frac{t_1 + t_2}{2}$